

АЗӘРБАЙЧАН ССР ЕЛМЛӘР АКАДЕМИЈАСЫ  
АКАДЕМИЯ НАУК АЗЕРБАЙДЖАНСКОЙ ССР

---

# МӘРҮЗЭЛӘР ДОКЛАДЫ

ТОМ XXIV ЧИЛД

8

---

АЗӘРБАЙЧАН ССР ЕЛМЛӘР АКАДЕМИЈАСЫ НӘШРИЈАТЫ  
ИЗДАТЕЛЬСТВО АКАДЕМИИ НАУК АЗЕРБАЙДЖАНСКОЙ ССР  
Бакы—1968—Баку

АЗӘРБАЙЧАН ССР ЕЛМЛӘР АКАДЕМИЈАСЫ  
АКАДЕМИЯ НАУК АЗЕРБАЙДЖАНСКОЙ ССР

# МӘРҮЗӘЛӘР ДОКЛАДЫ

ТОМ XXIV ЧИЛД

№ 8

АЗӘРБАЙЧАН ССР ЕЛМЛӘР АКАДЕМИЈАСЫ НӘШРИЈАТЫ  
ИЗДАТЕЛЬСТВО АКАДЕМИИ НАУК АЗЕРБАЙДЖАНСКОЙ ССР  
БАКЫ—1968—БАКУ

М. Г. ДЖАВАДОВ

О ПОЛНОТЕ В ПРОСТРАНСТВЕ  $C(0,1)$  НЕКОТОРОЙ ЧАСТИ  
МНОЖЕСТВА СОБСТВЕННЫХ ФУНКЦИЙ  
НЕСАМОСОПРЯЖЕННОГО ДИФФЕРЕНЦИАЛЬНОГО ОПЕРАТОРА  
ВТОРОГО ПОРЯДКА

(Представлено академиком Академии наук Азербайджанской ССР З. И. Халиловым)

При исследовании многих задач математической физики и механики методом Фурье, функции, которые задаются на границе области, аппроксимируют собственными функциями соответствующих спектральных задач. При этом каждый раз (если это неизвестно) приходится доказывать полноту этих собственных функций. Следовательно, вопрос разрешимости краевой задачи для дифференциальных уравнений в частных производных методом Фурье упирается в исследование спектра и разложение заданной функции по собственным функциям соответствующего дифференциального оператора.

Вопросам полноты и разложения по собственным и присоединенным функциям несамосопряженных операторов с коэффициентами, зависящими от комплексного параметра, посвящено сравнительно мало работ.

В работе [1] М. В. Келдыш, наряду с другими фактами, доказал  $n$ -кратную полноту всех собственных и присоединенных функций обыкновенного дифференциального оператора с коэффициентами, полиномиально зависящими от параметра.

В работе [3] мы доказали полноту в пространстве  $L_2(0,1)$  полновесны совокупности собственных функций следующего несамосопряженного оператора

$$y''(x) + 2A\lambda y'(x) + B\lambda^2 y(x) = 0, \quad (1)$$

$$y'(0) + a\lambda y(0) = 0, \quad (2)$$

$$y'(1) + a\lambda y(1) = 0. \quad (3)$$

где  $A$ ,  $B$  и  $a$  — постоянные, причем  $A^2 - B < 0$ ,  $\lambda$  — параметр.

Применить этот факт к исследованию краевой задачи во многих случаях бывает невозможно. Дело в том, что удовлетворение граничных условий в смысле метрики пространства  $L_2$  часто бывает недостаточным.

РЕДАКЦИОННАЯ КОЛЛЕГИЯ: Р. Г. Исмайлов (главный редактор), Ш. А. Азизбеков, В. Р. Волобуев, Д. М. Гусейнов, И. А. Гусейнов, М. А. Дадашзаде (зам. главного редактора), М. А. Далин, Ч. М. Джуварлы, А. И. Карабев, М. А. Кацхай (зам. главного редактора), С. М. Кулиев, М. Ф. Нагиев, М. А. Топчибашев, З. И. Халилов, Г. Г. Зейналов (ответственный секретарь).

Адрес: г. Баку, Коммунистическая, 10. Редакция «Докладов Академии наук Азербайджанской ССР».

П 58734

Центральная научная  
БИБЛИОТЕКА

Сдано в набор 27.VII.1968 г. Подписано к печати 2/X 1968 г. Формат бумаги 70×108<sup>1/16</sup>. Бум. лист. 3,25. Печ. лист. 8,91. Уч.-изд. лист. 7,55. ФГ 19506.  
Заказ 629. Тираж 925. Цена 40 коп.

Типография «Наука» Комитета по печати при Совете Министров  
Азербайджанской ССР. Баку, Рабочий проспект, 96.

В этой заметке мы докажем полноту половины совокупности собственных функций задачи (1)–(3) в пространстве  $C(0,1)$ , причем ряд, в который разлагается заданная функция, будет суммироваться к данной функции по методу Абеля.

Известно, что собственные числа задачи (1)–(3) имеют вид

$$\lambda_k = \alpha \cdot k, \quad k = 0, \pm 1, \dots,$$

где  $\alpha > 0$ —известное число.

Прежде чем приступить к доказательству нужного нам факта, рассмотрим следующую вспомогательную задачу:

Пусть  $\pi = \{(x, y) / 0 \leq x \leq 1, 0 \leq y < +\infty\}$ —полуполоса. В  $\pi$  ищется решение задачи

$$Lu \equiv \frac{\partial^2 u}{\partial x^2} + 2A \frac{\partial^2 u}{\partial x \partial y} + B \frac{\partial^2 u}{\partial y^2} = 0, \quad (4)$$

$$\frac{\partial u}{\partial x} + a \frac{\partial u}{\partial y} = \begin{cases} 0, & \text{при } x = 1, \\ 0, & \text{при } x = 0, \end{cases} \quad (5)$$

$$u|_{y=0} = f(x) \quad (6)$$

в классе гладких функций, которые на бесконечности растут по  $y$  не быстрее, чем полином.

Здесь  $A, B$  и  $a$  суть постоянные,  $f(x)$ —заданная гладкая функция, причем  $A^2 - B < 0$ . Функциональными методами, применяемыми в работе [2], можно показать, что задача (4)–(6) имеет единственное обобщенное решение в указанном классе.

Здесь отметим, что из известной теоремы [5] о гладкости решения краевой задачи для эллиптических уравнений следует, что внутри области и гладкой части границы решение задачи (4)–(6) есть гладкая функция, быть может, за исключением угловых точек  $(0,0)$  и  $(1,0)$ .

Изучим характер решения и его производных вблизи угловой точки  $(0,0)$ . Для этого путем линейного преобразования задачу (4)–(6) приведем к неоднородному уравнению с однородными граничными условиями. В полученной задаче приведем уравнение к каноническому виду и напишем эту задачу в полярных координатах

$$\frac{\partial^2 u}{\partial \rho^2} + \frac{1}{\rho} \frac{\partial u}{\partial \rho} + \frac{1}{\rho^2} \frac{\partial^2 u}{\partial \varphi^2} = F(\rho, \varphi), \quad (7)$$

$$\left[ b \frac{\partial u}{\partial \rho} + \frac{1}{\rho} \frac{\partial u}{\partial \varphi} \right]_{\varphi=0} = 0, \quad (8)$$

$$u|_{\varphi=0} = 0, \quad (9)$$

где  $b$ —известное число, а  $\theta$ —угол, в который перешел прямой угол после преобразования.

Применив к задаче (7)–(9) преобразование Римана–Меллина, находим, что

$$u(\rho, \varphi) = \int_0^\infty r dr \int_0^\theta G(\rho, \varphi; \tau, \psi) F(r, \psi) d\psi, \quad (10)$$

где

$$G(\rho, \varphi; \tau, \psi) = \frac{1}{2\pi i} \int_{c-i\infty}^{c+i\infty} (r/\rho)^s H(s, \varphi, \psi) ds$$

причем

$$H = \begin{cases} -\frac{\cos S\psi + b \sin S\psi}{\cos S\theta + b \sin S\theta} \frac{\sin(S(\theta - \varphi))}{S}, & \text{при } \psi < \varphi, \\ -\frac{\cos S\varphi + b \sin S\varphi}{\cos S\theta + b \sin S\theta} \frac{\sin(T(\theta - \psi))}{S}, & \text{при } \psi > \varphi. \end{cases}$$

Воспользуясь выражением для  $G(\rho, \varphi; r, \psi)$  и исследуя правую часть (10) при  $\psi < \varphi$  и при  $\psi > \varphi$  в отдельности, можно показать, что функции  $G(\rho, \varphi; r, \psi)$  и  $\rho \frac{\partial G}{\partial \rho}$  непрерывны в угловой точке  $(0,0)$ .

Аналогично исследуется характер решения вблизи угловой точки  $(1,0)$ .

Эти факты показывают, что решение задачи (4)–(6) является непрерывной функцией в рассматриваемой области  $\pi$ , включая границу, а ее первые производные при приближении к угловым точкам могут, вообще говоря, стремиться к бесконечности.

В дальнейших исследованиях нам понадобится убывающее на бесконечности решение задачи (4)–(6). Путем несложных выкладок можно доказать справедливость следующей теоремы.

Теорема 1. Для того, чтобы задача (4)–(6) имела убывающее на бесконечности относительно переменного  $y$  решение необходимо и достаточно, чтобы выполнялось условие  $\int_0^\infty f(x) dx = 0$ .

Пусть  $\psi(x) = \frac{du}{dy}|_{y=0}$ .

Тогда на основе этой теоремы можно показать, что  $\int_0^\infty \psi(x) dx = 0$ .

Обозначим теперь через  $v(x, \lambda)$  преобразование Лапласа от функции  $u(x, y)$ , т. е.

$$v(x, \lambda) = \int_0^\infty e^{-\lambda y} u(x, y) dy. \quad (11)$$

Очевидно,  $v(x, \lambda)$ —аналитическая функция от переменного  $\lambda$  в правой полуплоскости.

Применив преобразование (11) к задаче (4)–(6) получим

$$v'' + 2A\lambda v' + B\lambda^2 v = B\psi + 2Af' + B\lambda f, \quad (12)$$

$$v'(0, \lambda) + a\lambda v(0, \lambda) = 0, \quad (13)$$

$$v'(1, \lambda) + a\lambda v(1, \lambda) = 0. \quad (14)$$

Мы здесь полагали для простоты  $f(0) = 0, f(1) = 0$ . Однако, отсутствие этого условия не создает дополнительных трудностей.

Решение задачи (12)–(14) запишем в следующем виде

$$v(x, \lambda) = \int_0^\infty G(x, \lambda, \xi) F(\xi, \lambda) d\xi, \quad (15)$$

где  $G(x, \lambda, \xi)$ —функция Грина,  $F(\xi, \lambda) = B\psi + 2Af' + B\lambda f$ .

Известно [4], что функция Грина имеет следующее разложение

$$G(x, \lambda, \xi) = \sum_{n=0}^{\infty} \frac{\varphi_n(x)\psi_n(\xi)}{\lambda - \lambda_n},$$

где  $\varphi_n(x)$ —собственные функции задачи (1)–(3), а  $\varphi_n(\xi)$ —собственные функции соответствующей сопряженной задачи.

Пусть

$$W(x, y) = \frac{1}{2\pi i} \int_{c-i\infty}^{c+i\infty} e^{\lambda y} \left\{ \int_0^1 \sum_{n=0}^{\infty} \frac{\varphi_n(x)\varphi_n(\xi)}{\lambda - \lambda_n} F(\xi, \lambda) d\xi \right\} d\lambda. \quad (16)$$

В работе [4] доказано, что в  $\lambda$ -плоскости можно построить контуры  $\Gamma_N$ , обладающие следующими свойствами:

1. Ни один из полюсов  $G(x, \lambda, \xi)$  не лежит на  $\Gamma_N$ .
2.  $\Gamma_N$  целиком заключено внутри  $\Gamma_{N+1}$ .
3. Кратчайшее расстояние  $R_N$  от начала координат до  $\Gamma_N$  стремится к бесконечности при возрастании  $N$ .
4. На контурах  $\Gamma_N$  функция  $G(x, \lambda, \xi)$  имеет оценку

$$|G(x, \lambda, \xi)| \leq \frac{\text{const}}{|\lambda|}.$$

Тогда, заменяя в выражении (16) контур интегрирования на  $\Gamma_N$ , получим

$$\begin{aligned} W(x, y) &= \frac{1}{2\pi i} \lim_{N \rightarrow \infty} \int_{\Gamma_N} e^{\lambda y} \left\{ \int_0^1 \sum_{n=0}^{\infty} \frac{\varphi_n(x)\varphi_n(\xi)}{\lambda - \lambda_n} F(\xi, \lambda) d\xi \right\} d\lambda = \\ &= \sum_{n=1}^{\infty} C_n e^{\lambda_n y} \varphi_n(x), \end{aligned}$$

где

$$C_n = \int_0^1 F(\xi, \lambda) \varphi_n(\xi) d\xi, \quad \lambda_n < 0.$$

Таким образом, имеем

$$W(x, y) = \sum_{n=1}^{\infty} C_n e^{-\lambda_n y} \varphi_n(x).$$

Докажем, что функция  $W(x, y)$ —есть решение задачи (4)–(6). Очевидно,  $W(x, y)$  удовлетворяет уравнению (4) и граничному условию (5). Покажем, что она удовлетворяет и условиям (6). Очевидно, для этого надо доказать, что  $\lim_{x \rightarrow \infty} \lambda v(x, \lambda) = f(x)$ .

Разделив обе части уравнения на  $\lambda$ , обозначив  $\frac{1}{\lambda}$  через  $\varepsilon$ , получим

$$\varepsilon^2 v'' + 2A\varepsilon v' + Bv = \varepsilon^2(B\psi + 2Af') + B\varepsilon f \quad (17)$$

Решение последнего уравнения ищем в виде  $v = v_0 + \varepsilon v_1 + \dots$ . Подставим это выражение для  $v$  в (17) и сравнивая члены при одинаковых степенях по  $\varepsilon$ , получим  $v_0 = 0$ ,  $v_1 = f, \dots$ . Следовательно,  $v =$

$$= \frac{v_1}{\lambda} + \frac{v_2}{\lambda^2} + \dots \text{ или } \lambda v = v_1 + \frac{v_2}{\lambda} + \dots \text{ Отсюда } \lim_{\lambda \rightarrow \infty} \lambda v = v_1 = f.$$

Таким образом, доказана следующая

**Теорема 2.** Система собственных и присоединенных функций задачи (1)–(3), отвечающих неположительным собственным чис-

лам, является полной в пространстве  $C(0,1)$ , причем произвольной функции  $f(x) \in C(0,1)$ , обращающейся на концах в нуль, соответствует ряд вида  $\sum_{n=1}^{\infty} C_n \varphi_n(x)$ , который суммируется к функции  $f(x)$  по методу Абеля.

## ЛИТЕРАТУРА

1. Келдыш М. В. ДАН СССР, т. XXVII, № 1, 1951.
2. Вишник М. И. и Ладыженская О. А. УМН, т. 11, вып. 6, 1956.
3. Джавадов М. Г. ДАН СССР, т. 159, № 4, 1964.
4. Тамаркин Я. Д. О некоторых общих задачах теории обыкновенных дифференциальных уравнений и о разложении произвольных функций в ряд. Пг., 1917.
5. Nirenberg L. Comm. on pure and appl. math., 8, 1955.

Поступило 30. X 1967

Институт математики и механики

М. Н. Чавадов

$C(0,1)$  фәзасында өз-өзүнә гошма олмајан икитәртибли дифференциал операторун мәхсуси функцијаларының бир ниссәсинин тамлығы нағында

## ХУЛАСӘ

Мәгаләдә ашағыдағы спектрал мәсәләjә бахылмышдыры:

$$y'' + 2A\lambda y' + B\lambda y = 0 \quad (1)$$

$$y'(0) + a\lambda y(0) = 0 \quad (2)$$

$$y'(1) + a\lambda y(1) = 0 \quad (3)$$

Бурада  $A, B$  вә  $a$  сабит әдәлләрдир. Белә ки,  $A^2 - B < 0$ . Мәгаләдә исbat олунмушдур ки, (1)–(3) мәсәләсинин мүсбәт олмајан мәхсуси әдәлләрнә уйғун кәлән мәхсуси функцијалар чохлуғы  $C(0,1)$  фәзасында тамдыр. Бундан башга,  $C(0,1)$  фәзасындан көтүрүлмүш сыйыр вә бир негтәләрнәдә сыйра чөврилән иктијари  $f(x)$  функцијасына Абел мә'нада она чәмләнән  $\sum_{n=1}^{\infty} C_n \varphi_n(x)$  сырасы уйғун кәлир.

ТЕПЛОТЕХНИКА

Н. Г. АГАЕВ

ОБ ОДНОЙ ЗАДАЧЕ ВНУТРИПЛАСТОВОГО ПОДВИЖНОГО  
ОЧАГА ГОРЕНЯ

(Представлено академиком АН Азербайджанской ССР З. И. Халиловым)

При рассмотрении вопроса о движении очага горения в пласте с тяжелой нефтью часто пласт считается бесконечным и не учитывается влияние температуры, поддерживаемой на границе пласта [1]. Температура на границе пласта (на „забое“ галерен) вообще говоря может изменяться по некоторому закону. Ниже приводится решение задачи об определении поля температуры пласта при наличии в нем подвижного очага горения и при условии периодического изменения температуры на его границе. При этом температурное поле описывается уравнением

$$K \frac{\partial^2 T}{\partial x^2} + P \delta(x - vt) = \frac{\partial T}{\partial t}, \quad (1)$$

где

$K$  — коэффициент температуропроводности,

$$P = \frac{q_f}{C_n \rho_n}; \quad \delta(\xi) — \text{дельта функции Дирака},$$

$\xi = x - vt$  — расстояние от фронта горения до точки пласта, где определяется температура,

$C_n$  — теплоемкость породы,

$\rho_n$  — плотность породы,

$q_f$  — тепловая мощность, приходящаяся на единицу поверхности фронта горения, где пренебрегаем перетоком тепла в выше- и нижележащие пласти.

Уравнение (1) необходимо решить при условиях

$$T|_{t=0} = T_u = \text{const}; \quad T|_{x=0} = T_0 \cos \omega t; \quad T|_{x \rightarrow \infty} — \text{остается ограниченной}.$$

Функция Грина нашей задачи имеет вид

$$G = \frac{1}{2V\pi k(t-\tau)} \left[ e^{-\frac{(x-x')^2}{4k(t-\tau)}} - e^{-\frac{(x+x')^2}{4k(t-\tau)}} \right]$$

и

$$T = \frac{T_u}{2V\pi k t} \int_0^\infty \left[ e^{-\frac{(x-x')^2}{4kt}} + e^{-\frac{(x+x')^2}{4kt}} \right] dx' +$$

$$+ \frac{T_0 x}{2V\pi k} \int_0^t \frac{e^{-\frac{x^2}{4k(t-\tau)}}}{(t-\tau)^{3/2}} \cos \omega \tau d\tau +$$

$$+ \frac{P}{2V\pi k} \int_0^t \int_0^\infty \left[ e^{-\frac{(x-x')^2}{4k(t-\tau)}} - e^{-\frac{(x+x')^2}{4k(t-\tau)}} \right] \delta(x' - vt) dx' d\tau =$$

$$= T_u \operatorname{erf} \frac{x}{2Vkt} + \frac{T_0 x}{2V\pi k} \int_0^t \frac{e^{-\frac{x^2}{4k(t-\tau)}}}{(t-\tau)^{3/2}} \cos \omega \tau d\tau +$$

$$+ \frac{P}{2V\pi k} \int_0^t \frac{\left[ e^{-\frac{(x-v\tau)^2}{4k(t-\tau)}} - e^{-\frac{(x+v\tau)^2}{4k(t-\tau)}} \right]}{\sqrt{t-\tau}} d\tau$$

т. к.

$$I = \frac{P}{2V\pi k} \int_0^t \frac{\left[ e^{-\frac{(x-v\tau)^2}{4k(t-\tau)}} - e^{-\frac{(x+v\tau)^2}{4k(t-\tau)}} \right]}{\sqrt{t-\tau}} d\tau =$$

$$= \frac{P}{2v} \left\{ e^{\frac{v}{2k} [(x-vt)-(x-v\tau)]} [\operatorname{erf}(\xi_1) - 1] + e^{-\frac{v}{2k} [(x-vt)+(x-v\tau)]} [\operatorname{erf}(\xi_2) + 1] - \right.$$

$$\left. - e^{\frac{v}{2k} [(x+vt)-(x+v\tau)]} [\operatorname{erf}(\xi_3) - 1] - [\operatorname{erf}(\xi_4) + 1], \right.$$

где

$$\operatorname{erf}(\xi) = \frac{2}{\sqrt{\pi}} \int_0^\xi e^{-z^2} dz$$

и

$$\xi_1 = \frac{v\sqrt{t}}{2Vk} \left( 1 + \frac{|x-vt|}{vt} \right),$$

$$\xi_2 = \frac{v\sqrt{t}}{2Vk} \left( 1 - \frac{|x-vt|}{vt} \right),$$

$$\xi_3 = \frac{v\sqrt{t}}{2Vk} \left( 1 + \frac{|x+vt|}{vt} \right),$$

$$\xi_4 = \frac{v\sqrt{t}}{2Vk} \left( 1 - \frac{|x+vt|}{vt} \right),$$

то

$$T = T_u \operatorname{erf} \frac{x}{2Vkt} + \frac{T_0 x}{2V\pi k} \int_0^t \frac{e^{-\frac{x^2}{4k(t-\tau)}}}{(t-\tau)^{3/2}} \cos \omega \tau d\tau +$$

$$+ \frac{P}{2v} \left\{ e^{\frac{v}{2k} [(x-vt)-(x-v\tau)]} [\operatorname{erf}(\xi_1) - 1] + e^{-\frac{v}{2k} [(x-vt)+(x-v\tau)]} [\operatorname{erf}(\xi_2) + 1] - \right.$$

$$-e^{\frac{v}{k}(x+vt)}[erf(\xi_3)-1]-[erf(\xi_4)+1] \quad (2)$$

Как видно из (2), при этом пласт разбивается на две зоны. Для зоны I, где  $x > vt$ .

$$T_1 = T_0 \operatorname{erf} \frac{x}{2\sqrt{kt}} + \frac{T_0 x}{2\sqrt{\pi k}} \int_0^t \frac{e^{-\frac{x^2}{4k(t-\tau)}}}{(t-\tau)^{3/2}} \cos \omega \tau d\tau + \\ + \frac{P}{2v} \left\{ 2 \left[ \operatorname{erf} \frac{x}{2\sqrt{kt}} - 1 \right] + e^{-\frac{v}{k}(x-vt)} \left[ \operatorname{erf} \frac{2vt-x}{2\sqrt{kt}} + 1 \right] - \right. \\ \left. - e^{\frac{v}{k}(x+vt)} \left[ \operatorname{erf} \frac{2vt+x}{2\sqrt{kt}} - 1 \right] \right\},$$

а для зоны II, где  $x < vt$

$$T_2 = T_0 \operatorname{erf} \frac{x}{2\sqrt{kt}} + \frac{T_0 x}{2\sqrt{\pi k}} \int_0^t \frac{e^{-\frac{x^2}{4k(t-\tau)}}}{(t-\tau)^{3/2}} \cos \omega \tau d\tau + \\ + \frac{P}{2v} \left\{ e^{\frac{v}{k}(vt-x)} \left[ \operatorname{erf} \frac{2vt-x}{2\sqrt{kt}} - 1 \right] + 2 \operatorname{erf} \frac{x}{2\sqrt{kt}} - \right. \\ \left. - e^{\frac{v(x+vt)}{k}} \left[ \operatorname{erf} \frac{2vt+x}{2\sqrt{kt}} - 1 \right] \right\}$$

На фронте же горения, когда  $x = vt$

$$T = T_0 \operatorname{erf} \frac{vt}{2\sqrt{kt}} + \frac{T_0 vt}{2\sqrt{\pi k}} \int_0^t \frac{e^{-\frac{v^2 t^2}{4k(t-\tau)}}}{(t-\tau)^{3/2}} \cos \omega \tau d\tau + \\ + \frac{P}{2v} \left\{ 3 \operatorname{erf} \frac{\sqrt{t} \cdot v}{2\sqrt{k}} - e^{\frac{2}{k} v^2 t} \left[ \operatorname{erf} \frac{3\sqrt{t} \cdot v}{2\sqrt{k}} - 1 \right] - 1 \right\}$$

Интересно отметить, что для больших значений времени  $t$  в зоне II решение имеет вид

$$T_2 = T_0 e^{-\sqrt{\frac{v}{2k}} t} \cos \left( \omega t - \sqrt{\frac{v}{2k}} x \right) \quad (3)$$

Из (3) видно, что в зоне II (для  $x < vt$ ) со временем исчезает как влияние начальной температуры, так и влияние подвижного очага горения.

Выражаю глубокую благодарность проф. М. А. Гусейн-заде за постановку задачи и ценные советы.

#### ЛИТЕРАТУРА

- Багиров М. А., Вечхайзер Г. В., Джуварлы Ч. М. Электротермические способы увеличения нефтеотдачи пластов. Азернефт, 1962.
- Thomas G. M. Journal of Petroleum Technology № 10, vol. 15, 1963.
- Карслой Г. С. Теория теплопроводности. Огиз, Гостехиздат, М.-Л., 1947.

Н. Н. Агаев

Лајдахили һәрәкәт едән јанғын мәнбәјинә аид бир  
мәсәлә һаггында

#### ХУЛАСЭ

Ағыр нефт ятагларындан нефтьхарманы артырмаг үчүн чох ваҳт  
лајы гыздырмаг лазын көлир. Бу мүһум мәсәлә илә әлагәдар олараг,  
лајын дахилиндә һәрәкәт едән јанғын чәбіесинин көстәрдиң тә'сир  
гәддиге едилмишдир.

Чыхарылан дүстүр васитәсилә јанғын чәбіесинин өнүндә вә арха-  
сында жаранан истилек мејданы асанлыгыла тә'јин едилтир.

В. Б. АНТОНОВ, Г. Г. ГУСЕЙНОВ, Д. Т. ГУСЕЙНОВ, Р. Х. НАНИ

## ПОЛУЧЕНИЕ И НЕКОТОРЫЕ ИССЛЕДОВАНИЯ МОНОКРИСТАЛЛОВ СОЕДИНЕНИЯ $CdGa_2S_4$

(Представлено академиком АН Азербайджанской ССР Г. Б. Абдуллаевым)

В настоящее время в связи с наметившимися новыми областями практического применения полупроводниковых кристаллов, такими как создание полупроводниковых источников когерентного и некогерентного света, проблема получения новых сложных широкозонных полупроводниковых соединений и выращивания их монокристаллов, обладающих высоким структурным совершенством, приобрела важное значение.

В этом отношении представляет интерес малоисследованный обширный класс тройных полупроводниковых соединений с большой шириной запрещенной зоны, имеющих общую формулу  $A^{II}B_2^{III}C_4^{IV}$ , где  $A = Zn, Cd, Hg; B = In, Ga$  и  $C = S, Se$ .

Настоящая работа посвящена некоторым рентгеновским исследованиям монокристаллов соединения  $CdGa_2S_4$ , на которых также проводились измерения спектрального распределения фотопроводимости и оптического пропускания.

Монокристаллы, использованные для настоящих исследований, были получены методом химической транспортной реакции. При этом в качестве исходного вещества использовалось соединение  $CdGa_2S_4$ , полученное непосредственным сплавлением исходных компонент, в отличие от работы [2], в которой в качестве исходного вещества для химической транспортной реакции применялась смесь порошков бинарных соединений  $CdS$  и  $Ga_2S_3$  в эквимолярном соотношении.

Полученные таким способом монокристаллы соединения  $CdGa_2S_4$  представляли собой светло-желтые образования в виде многогранников призм длиной до 16 мм и эффективным сечением до 9  $mm^2$ , обладающие высокой оптической прозрачностью, что свидетельствует о их структурном совершенстве.

Для определения параметров и симметрии полученных кристаллов было проведено их детальное рентгенографическое исследование. В работе [1] Ханом с сотрудниками были проведены рентгеновские исследования поликристаллических образцов  $CdGa_2S_4$ , полученных спеканием смеси бинарных компонент, определены размеры и симметрия

элементарной ячейки и установлено, что структура  $CdGa_2S_4$  повторяет структуру халькопирита с некоторым отличием.

При сравнении полученных нами параметров тетрагональной ячейки с данными, полученными в работе [1], было обнаружено существенное различие. Параметры исследованных нами образов имели значения  $a = 7,78 \text{ \AA}$ ;  $c = 10,434 \text{ \AA}$ . Причем было замечено, что данные, полученные Ханом и найденные в наших исследованиях, связаны соотношением:

$$a = \sim \sqrt{2}a_1$$

где  $a$  — значение параметра, полученное в настоящей работе,  $a_1$  — значение параметра по Хану.

Таким образом создается впечатление, что при определении размеров элементарной ячейки авторы [1] не измеряли истинный параметр  $a$ , а расстояние между двумя атомами, занимающими положения  $0,1/2 z$  и  $1/2,0 z$ . Плотность  $4,97 - 4,03 \text{ g/cm}^3$  соответствует четырем молекулам  $CdGa_2S_4$ , против двух, найденных авторами [1].

Следует отметить, что аналогичная зависимость между значениями параметра  $a$  по Хану и по нашим исследованиям имеет место и для монокристаллов  $CdGa_2Se_4$ , в то время, как для соединения  $CdIn_2S_4$  получено хорошее совпадение с данными Хана.

Обнаружив столь существенное различие в размерах элементарной ячейки и ее содержании, можно было бы предположить, что при температурах химической транспортной реакции имеют место какие-либо фазовые превращения. Однако дальнейший анализ показал, что состав и симметрия элементарной ячейки соединения  $CdGa_2S_4$ , по-видимому, соответствует полученным нами результатам.

Для определения фазового состава и пространственной группы симметрии была получена порошкограмма от монокристаллов  $CdGa_2S_4$  (рис. 1). После индукции всех рефлексов (52), было установлено,

Рис. 1. Порошкограмма монокристалла  $CdGa_2T_4$

что дебайграмма легко индуцируется параметрами, найденными из рентгенограммы качания на основе тетрагональной ячейки [3]. При этом следует отметить, что рентгенограмма на основе параметров, полученных в работе [1], не индуцируется. Согласно расчета на рентгенограмме не наблюдается закономерное погасание и наиболее вероятной группой симметрии, по-видимому, является  $P4/mmm$  [4].

Экспериментально найденные и рассчитанные теоретически значения межплоскостных расстояний ( $d$ ) приведены в таблице.

Таким образом относительно структуры соединения  $CdGa_2S_4$  можно сказать, что она относится к тетраэдрически координированым структурам типа  $Zn$ . Более детальное обсуждение структуры этого соединения можно сделать лишь после полной расшифровки, о которой мы надеемся сообщить в будущем.

На полученных монокристаллах проводились спектральные исследования фотопроводимости и оптического пропускания. Измерения проводились на образцах, вырезанных в виде пластинок, одна из сто-

№	d <sub>эксп.</sub>	d <sub>теор.</sub>	hKI	J	№	d <sub>эксп.</sub>	d <sub>тер.</sub>	hKI	J
1	4,837	4,840	111	20	27	1,395	1,400	415	10
2	4,710	—	—	50	28	1,378	1,379	335	20
3	3,850	3,855	200	40	29	1,342	1,337	425	10
4	3,482	3,486	003	10	30	1,323	1,322	530	10
5	3,300	3,290	211	60	31	1,311	1,309	008	50
6	3,173	3,180	103	10	32	1,283	1,284	600	10
7	3,050	3,100	202	100	33	1,264	1,264	336	40
8	2,874	2,880	212	20	34	1,249	1,250	602	20
9	2,727	2,730	220	20	35	1,236	1,234	612	30
10	2,442	2,440	310	70	36	1,215	1,214	620	60
11	2,410	2,405	222	20	37	1,201	1,200	541	20
12	2,283	2,290	302	10	38	1,178	1,180	534	10
13	2,150	2,140	320	10	39	1,111	1,110	526	90
14	2,117	2,110	321	20	40	1,100	1,099	605	20
15	2,055	2,070	303	30	41	1,087	1,090	350	10
16	1,975	1,980	322	30	42	1,063	1,056	721	80
17	1,932	1,930	400	80	43	1,051	1,046	0010	10
18	1,876	1,884	224	90	44	1,036	1,037	722	30
19	1,824	1,820	330	20	45	1,005	1,007	417	20
20	1,741	1,743	006	20	46	0,970	0,967	800	4
21	1,707	1,710	420	20	47	0,935	0,935	820	90
22	1,644	1,643	422	100	48	0,915	0,915	735	50
23	1,611	1,615	333	10	49	0,908	0,909	560	30
24	1,547	1,542	430	80	50	0,888	0,887	707	60
25	1,513	1,512	510	10	51	0,881	0,879	805	50
26	1,491	1,492	007	50	52	0,870	0,871	0012	30

рой которой представляла собой естественную грань, а вторая шлифовалась и полировалась искусственно. Фотопроводимость измерялась на образцах размером  $4 \times 2 \times 1 - 0,8$  мм, а для измерения оптического пропускания использовались пластинки размером  $4 \times 4 \times 0,2$  мм. При измерении фотопроводимости излучение фокусировалось на стороне пластинки, представляющей собой естественную грань. Спектральное распределение фотопроводимости проводилось по методике, описанной в работе [5].

На рис. 2 показана спектральная фотопроводимость (кривая 1) и оптическое пропускание (кривая 2) монокристаллов CdGa<sub>2</sub>S<sub>4</sub>.

Как видно из рисунка, кривая спектрального распределения фотопроводимости имеет два максимума: слабый коротковолновый при  $\lambda = 370$  нм и более сильный длинноволновый при  $\lambda = 470$  нм при комнатной температуре. Согласно измерению оптического пропускания (рис. 2, кривая 2) и по данным работы [2] максимум при 370 нм обусловлен собственным поглощением ( $E = 3,3$  эв).

В работе [6] при исследовании спектрального распределения фотопроводимости монокристаллов CdJn<sub>2</sub>S<sub>4</sub> было установлено, что наличие

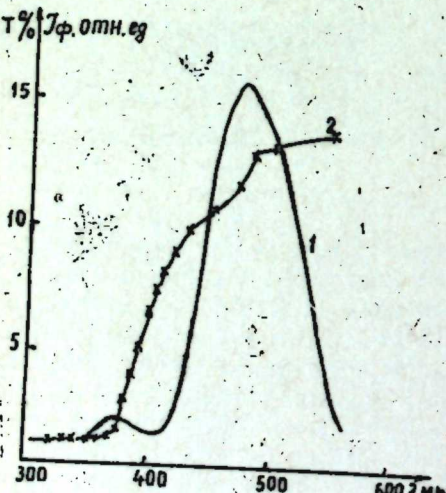


Рис. 2. Спектральное распределение фотопроводимости (кривая 1) и оптического пропускания (кривая 2) монокристаллов CdGa<sub>2</sub>S<sub>4</sub>.

двух максимумов обусловлено отклонением по стехиометрии по сере. При этом делалось предположение, что отклонение от стехиометрии по сере, возможно, приводит не только к образованию примесных уровней, но и обуславливает некоторое изменение зонной структуры соединения CdJn<sub>2</sub>S<sub>4</sub>. По-видимому, аналогичная ситуация имеет место и в случае соединения CdGa<sub>2</sub>S<sub>4</sub>. Проводимые в настоящее время комплексные исследования физических свойств этих соединений позволяют более полно ответить на этот вопрос.

В заключение авторы считают своим приятным долгом принести благодарность академику Г. Б. Абдуллаеву за постоянный интерес к работе и обсуждение результатов.

#### ЛИТЕРАТУРА

1. Hahn H., Frank G., Klinger W., Stoerger A. and Stoerger G., Z. anorg. allg. Chem. 279, 1955, 241.
2. Веип I. A., Nitsche R., Lichtensteiger M., Physica 27, № 5, 1961.
3. Миркин Л. И. Справочник по рентгеноструктурному анализу поликристаллов. М., 1951.
4. Internat. tables for X-ray crystallography, Birmingham, 1952.
5. Антонов В. Б., Керимов Н. М., Нани Р. Х. Изв. АН Азерб. ССР, серия физ.-мат. и техн. наук\*, 1968.
6. Абдуллаев Г. Б., Гусейнов Д. Т., Нани Р. Х., Салаев Э. Ю. Физ. и техн. полупроводников\*, 1968.

Поступило 12. II 1968.

Институт физики

В. Б. Антонов, Ч. Т. Гусейнов, Г. Г. Гусейнов, Р. Н. Нани

CdGa<sub>2</sub>S<sub>4</sub> монокристаллының алымасы вә бә'зи хассасларинин тәдгиги

#### ХУЛАСЭ

Мәгаләдә CdGa<sub>2</sub>S<sub>4</sub> монокристаллының рентген анализинин иәтичәләриндән бәһс едилмишdir. CdGa<sub>2</sub>S<sub>4</sub> монокристалы үчүн гәфәс сабитләринин алышан гијмәтләринин (1) илә үст-үстә дүшмәмәсинин сәбәби айынлаштырылышдыр.

Алынан монокристалда ишығын удуулмасы вә фоточәрәјанын далға узунлуғунун асылылығынан истифадә едиләрәк гадаған олунмуш зонанын ени гијмәтләндирлимишdir ( $\Delta E = 3,3$  эв). Фоточәрәјанын далға узунлуғундан асылылығында әсас максимумдан башга узун далға тәрәфдә (470 нм) иккичи максимум мүшәнидә олунмушdur. Ашқар едилмишdir ки, әлавә максимумун әмәлә кәлмәси CdGa<sub>2</sub>S<sub>4</sub>-дә S-ини стихиометрик мигдардан артыглығы илә әлагәдардыр. Көрүнүр ки, һәмни артыг һиссә гадаған олунмуш зонада әләвә сәвијјәнин мејдана кәлмәсинә шәрант ярадыр. Алынан иәтичәнин дәгигләшдирилмәсү үчүн комплекс тәдгигат иши апарылыр.

ФИЗИЧЕСКАЯ ХИМИЯ

Р. Г. ИСМАЙЛОВ, С. М. АЛИЕВ, Ш. С. ВЕЗИРОВ

ДЕГИДРИРОВАНИЕ ДИЭТИЛТОЛУОЛОВ В „КИПЯЩЕМ“  
СЛОЕ КАТАЛИЗАТОРА „СТИРОЛ-КОНТАКТ“

Ранее [1] было изучено дегидрирование диэтилтолуолов в проточном реакторе с неподвижным слоем таблетированного катализатора „стирол-контакт“. Продолжая работы в этом направлении, нами исследовано дегидрирование смеси изомеров диэтилтолуола в „кипящем“ слое катализатора. Полученные результаты приводятся в настоящей статье.

Экспериментальная часть

Исходный продукт диэтилтолуол (ДЭТ) брался 99%-ной чистоты и имел следующий изомерный состав (по данным хроматографического анализа): 30,7%—1, 3, 5-диэтилтолуола; 41,7%—1, 2, 4-диэтилтолуола; 25,6%—1, 3, 4-диэтилтолуола. Дегидрирование проводилось на лабораторной установке с „кипящим“ слоем катализатора, схема которой дана в [2]. В качестве разбавителя использовался водяной пар. Полученные дегидрогенизаты подвергались хроматографическому анализу на аппарате „Перкин-элмер“ с длинной колонки 2 м. Жидкой фазой служил апиезон на хромосорбе, в качестве газа-носителя использовался гелий, расход которого составлял 4 л/час температура колонки поддерживалась 180°C.

Влияние температуры на дегидрирование изучалось в интервале температур 530—650°C (табл. 1, рис. 1). По мере увеличения температуры выход целевых продуктов: винилэтилтолуола и дивинилтолуола растет, достигая при 630°C соответственно на пропущенное и прореагированное сырье: 13,5; 36,5; 4,2; 11,3%. Дальнейшее увеличение температуры до 630°C, хотя и приводит к некоторому увеличению выхода дивинилтолуола на пропущенное сырье, однако при этом избирательность процесса заметно падает, снижается также и выход винилэтилтолуола. В интервале температур 630—650°C усиливаются побочные реакции крекинга с образованием преимущественно этилтолуола и винилтолуола. Попытка улучшить показатели процесса за счет увеличения времени пребывания продуктов в зоне реакции, а

Показатели	Таблица 1							
	Оп. 1	Оп. 2	Оп. 3	Оп. 4	Оп. 5	Оп. 6	Оп. 7	Оп. 8
<b>Условия:</b>								
Температура, °C	530	560	600	630	650	630	630	630
Скорость подачи сырья, ч <sup>-1</sup>	0,2	0,2	0,2	0,2	0,2	0,1	0,2	0,2
Соотношение диэтилтолуол : H <sub>2</sub> O, вес.	1:2	1:2	1:2	1:2	1:2	1:2	1:1	1:3
<b>Выход, вес, %</b>								
Дегидрогенизат	95,8	92,6	89,5	86,5	81,7	75,4	45,0	77,1
Газ	2,2	5,4	8,5	11,5	16,3	24,6	55,0	22,9
<b>Состав дегидрогенизата, вес. %</b>								
Бензол	1,83	1,05	2,29	1,71	0,73	5,02	0,25	1,00
Толуол	0,40	0,39	1,12	0,42	0,90	0,66	1,76	1,51
Этилбензол + м-, п-ксилол	0,37	0,23	1,05	0,07	1,50	6,92	5,00	1,92
Орто-ксилол (стирол)	0,08	0,26	1,05	0,42	1,32	3,95	3,95	2,28
М-, п-этилтолуол	1,65	1,48	1,3	0,57	4,60	3,78	9,16	6,09
Орто-этилтолуол	0,67	0,46	0,26	0,21	1,22	1,64	2,35	1,66
Винилтолуол	1,02	0,92	0,77	0,63	4,87	7,90	15,29	7,88
Изомер диэтилбензола	0,37	0,33	0,80	0,07	0,63	0,58	0,75	0,66
Изомеры диэтилбензола и этилметаксилола	0,45	0,43	0,54	0,42	1,40	1,64	3,40	2,38
Изомер этилметаксилола	0,11	0,13	0,50	1,21	2,82	3,28	5,50	6,08
Этилвинилбензол, дивинилбензол и инден	1,07	0,99	1,68	0,81	2,34	3,19	7,58	3,39
1, 3, 5-диэтилтолуол	26,16	26,29	24,5	22,68	18,39	11,76	7,35	13,8
1, 2, 4-диэтилтолуол	33,42	35,14	32,1	30,57	24,56	15,14	9,45	16,34
1, 3, 4-диэтилтолуол	23,74	23,76	20,1	19,75	14,89	9,59	4,46	9,30
Винилэтилтолуол	7,30	7,0	9,76	15,6	13,91	16,86	13,35	17,23
Дивинилтолуол	1,36	1,14	2,1	4,86	5,92	7,68	9,9	8,26
Продукты циклизации	—	—	—	Следы	Следы	0,41	0,5	0,22

также изменением соотношения диэтилтолуол : H<sub>2</sub>O в ту или иную сторону отрицательно сказывается на процессе.

В табл. 2 приводятся данные, показывающие влияние температуры, скорости подачи сырья и соотношения диэтилтолуол : H<sub>2</sub>O на конверсию отдельных изомеров диэтилтолуола. Как видно, до температуры 560°C 1, 3, 4-изомер по сравнению с остальными наиболее устойчив, однако при 600°C и выше конверсия всех трех изомеров примерно одинакова. Уменьшение скорости подачи сырья, а также изменение соотношения диэтилтолуол : H<sub>2</sub>O увеличивают конверсию всех изомеров, однако примерное равенство их сохраняется.

С целью более детального изучения высококипящих продуктов превращения диэтилтолуола были проведены опыты на укрупненолабораторной установке при температурах 570—580 и 630—640°C. Полученные дегидрогенизаты в количестве около 300 г от каждого режима подвергались четкой вакуумной ректификации на лабораторной колонке (нихромовая насадка) с эффективностью

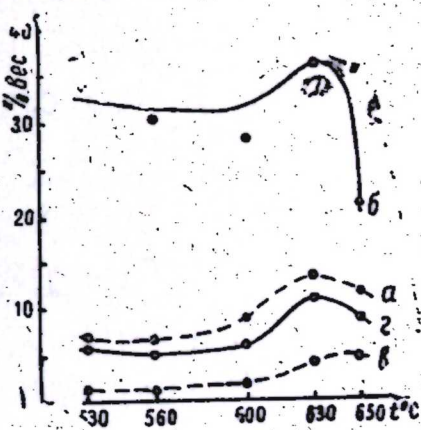


Рис. 1. Выход винилэтилтолуола и дивинилтолуола на пропущенное и прореагированное сырье:  
— выход винилэтилтолуола на пропущенное сырье; — выход винилэтилтолуола на прореагированное сырье; — выход дивинилтолуола на пропущенное сырье; — выход дивинилтолуола на прореагированное сырье.

5873

35–40 т.т. и при кратности орошения 15:1. С целью предотвращения полимеризации мономеров дегидрогенизаторы разбавлялись высококипящими ароматическими соединениями. Таким образом из дегидрогенизаторов были выделены следующие винилэтилтолуольные и дивинилтолуольные фракции (при ост. давлении 15 мм рт. ст.): 93–95°C—выход 20%,  $n_D^{20}$  — 1,5440; 95–105°C—следы; 105–110°C—выход 5%,  $n_D^{20}$  — 1,5600; 110–115°C—выход 1%,  $n_D^{20}$  — 1,5690. Хроматограммы этих фракций представлены на рис. 2.

Таблица 2

Конверсия изомеров диэтилтолуола, %

Изомеры дэт, %	Диэтилтолуол : $H_2O$ — 1 : 2 вес., скорость подачи сырья — 0,2 ч <sup>-1</sup>					Температура 630° дэт : $H_2O$ 1 : 2 вес.	Температура 630°, скорость по- дачи сырья 0,2 ч <sup>-1</sup>	$v = 0,1$ ч <sup>-1</sup>	Дэт : $H_2O$	
	530°	560°	600°	630°	650°				1 : 1 вес.	1 : 3 вес.
1, 3, 5-	19,7	22,3	27,7	35,8	52,6	71,0	89,7	65,2		
1, 2, 4-	24,9	23,0	32,1	36,3	51,5	73,2	90,3	70,8		
1, 3, 4-	11,2	14,3	30,9	33,2	52,5	71,0	93,1	73,4		

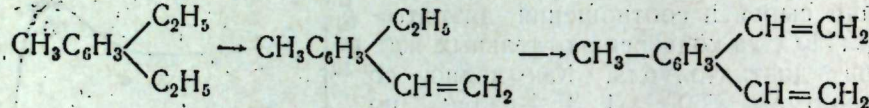
Фракция 93–95°C/15 мм рт. ст. содержит ~ 51% винилэтилтолуола, 36% дивинилтолуола и 13% диэтилтолуола.

Фракция 105–110°C/15 мм рт. ст.—соответственно 19; 75,9 и 1,1, а около 4% приходится на долю продуктов циклизации: индана, индена, нафталина и их производных.

Фракция 110–115°C/15 мм рт. ст. содержит около 89,2% винилэтилтолуола и дивинилтолуола и около 10,8% продуктов циклизации.

Исходя из углеводородного состава полученных дегидрогенизаторов можно предполагать следующую схему превращения диэтилтолуола.

а) дегидрирование



б) деалкилирование исходного диэтилтолуола и полученных винилэтилтолуола и дивинилтолуола

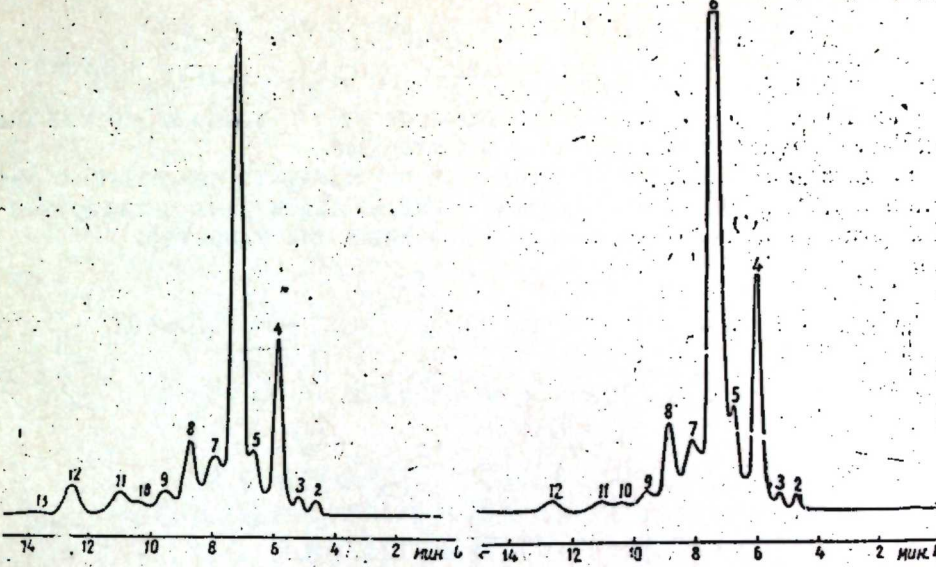
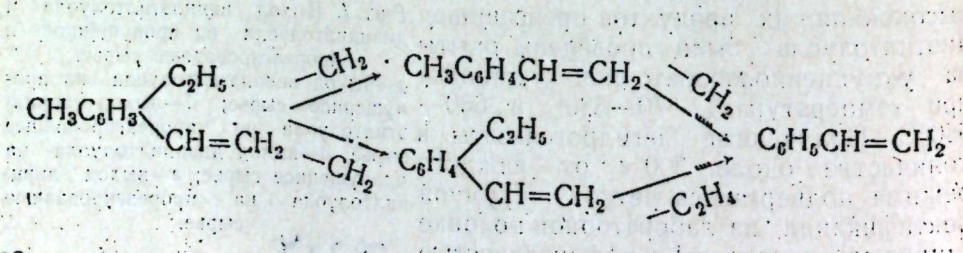
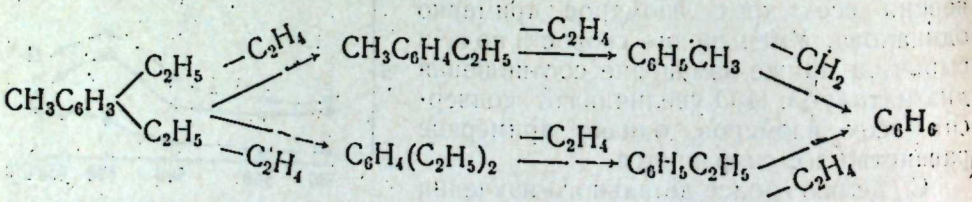
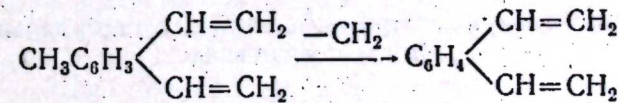
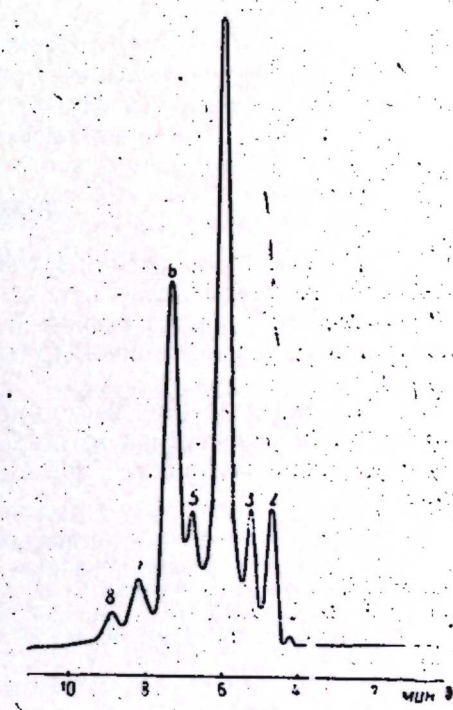


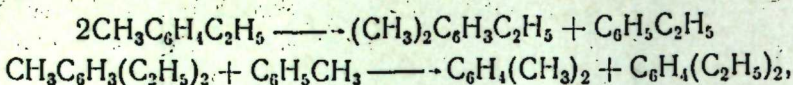
Рис. 2. Хроматограммы винилэтилтолуол-дивинилтолуольных фракций:

1—1, 3, 5 —диэтилтолуол; 2—1, 2, 4 —диэтилтолуол; 3—1, 3, 4 —диэтилтолуол; 4, 5 —изомеры винилэтилтолуола; 6, 7, 8 —изомеры дивинилтолуола; 9, 10, 11, 12 —продукты циклизации; 13—метилнафталин.



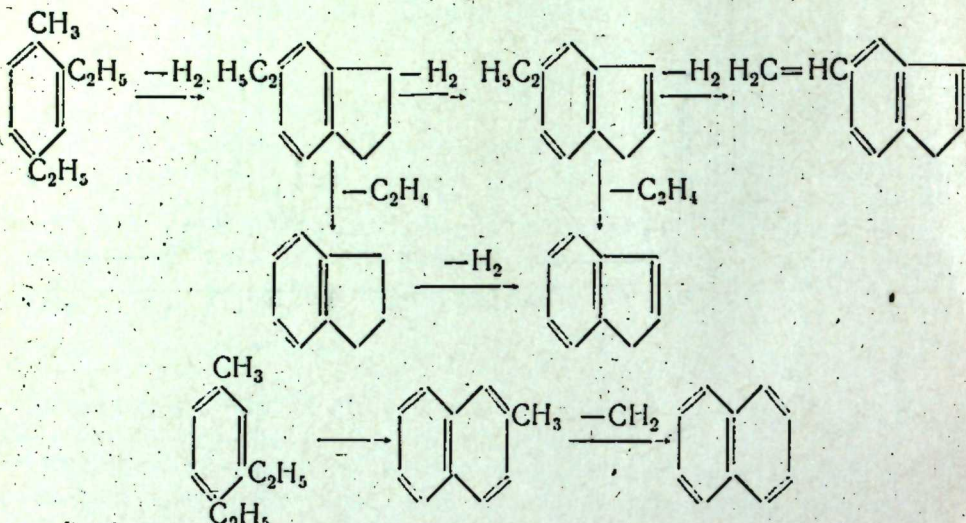
В образовании винилтолуола, стирола, винилэтилбензола и дивинилбензола, пС-видимому, участвует реакция дегидрирования соответствующихmono-, диалкилароматических углеводородов, получающихся при деалкилировании сырья и полученных целевых продуктов.

в) внутри- и межмолекулярное перераспределение алкильных заместителей



не исключено образование этилметаксилола и ксиолола крекингом этильных групп диэтилтолуола и этилтолуола.

г) дегидроциклизация диэтилтолуола, продукта его деалкилирования и дегидрирования в нафталин, индан, инден и их метилированных, этил- и винилзамещенных производных, так например:



### Выводы

1. Изучено влияние различных факторов на дегидрирование диэтилтолуола в "кипящем" слое катализатора.

2. Проведен хроматографический анализ продуктов реакции. На основании полученных данных предложена схема превращения диэтилтолуола.

3. С помощью четкой вакуумной ректификации дегидрогенизаторов в присутствии разбавителя выделены и охарактеризованы винилэтилтолул-дивинилтолуольные фракции, содержащие до 95% мономеров.

### ЛИТЕРАТУРА

1. Исмайлов Р. Г., Алиев С. М., Мамедалиев Г. М., Гусейнов Н. И., Везиров Ш. С. АНХ, № 1, 34, 1967.
2. Мамедалиев Ю. Г., Мамедалиев Г. М., Алиев С. М., Гусейнов Н. И., АХЖ, № 3, 1962.

Поступило 12.XII 1967

Р. Г. Исмаилов, С. М. Алиев, Ш. С. Везиров

Диэтилтолуолун "стирол-контакт" "гајнар" лајында денидрокенләшмәси

### ХУЛАСЭ

Мәгаләдә диэтилтолуолун "стирол-контакт" катализатору үзәриндә ("гајнар" лајда) денидрокенләшмәсінә мұхтәлиф факторларын тә'сир иттін бәйс олуимушдур.

Реаксија мәңсуллары хроматографик анализ едилмишdir.

Р. Г. ИСМАЙЛОВ, С. М. АЛИЕВ, М. А. АГАЕВА, Г. И. ГАЛИЦКАЯ

### СВОБОДНОРАДИКАЛЬНАЯ СОВМЕСТНАЯ ОЛИГОМЕРИЗАЦИЯ НЕКОТОРЫХ АЛКЕНИЛАРОМАТИЧЕСКИХ МОНОМЕРОВ С ИЗОПРЕНОМ

В работах [1, 2] нами показано, что при свободнорадикальной соолигомеризации стирола,  $\alpha$ -метилстирола и их замещенных в ядре метилированных производных образуются ненасыщенные термореактивные олигомеры. Эти олигомеры могут найти применение в производстве теплостойких лаков, красок и армированных пластиков.

В развитии этих работ нами исследована свободнорадикальная совместная олигомеризация вышеуказанных алкенилароматических мономеров с изопреном в среде соответствующих алкилароматических углеводородов. Результаты этих исследований приводятся в настоящем сообщении.

### ЭКСПЕРИМЕНТАЛЬНАЯ ЧАСТЬ

Исходные алкилтолуолы и алкилметаксилолы (растворители) были синтезированы алкилированием толуола и метаксилола этиленом и пропиленом над синтетическими алюмосиликатами. Были также использованы промышленные этилбензол и кумол.

Алкенилтолуолы и алкенилметаксилолы были синтезированы дегидрированием алкилтолуолов и алкилметаксилолов в мягком режиме (температура 580–600°C, скорость подачи сырья 1 ч<sup>-1</sup>) над катализатором "стирол-контакт".

Для соолигомеризации с изопреном использовались очищенные в вакууме дегидрогенизаты, состоящие из алкилароматического углеводорода (растворителя) и соответствующего алкенилароматического мономера.

Как показали хроматографические анализы, использованные в качестве сырья продукты характеризовались высокой степенью чистоты (99% и выше).

Соолигомеризация проводилась в запаянных ампулах в отсутствии воздуха.

Смеси растворителя и незаполимеризовавшихся мономеров после опыта анализировались на хроматографе "Перкин-Элмер" (длина колонки 2 м, скорость газа-носителя—4 л/ч, температура 180°).

Выделение соолигомера из реакционной смеси производилось отгонкой растворителя и непрореагировавшей части мономера в глубоком вакууме (остат. давление 1—2 мм рт. ст.).

Для синтезированных соолигомеров производилось определение наличия в них звеньев изопрена (спектральным анализом), растворимости в различных органических растворителях, структурирование и др.

В табл. 1 приводятся данные, полученные при соолигомеризации стирола с изопреном в этилбензоле. При температуре 135—140°, количестве перекиси трет. бутила 1%, повышение продолжительности с 1

Таблица 1

Соолигомеризация стирола с изопреном в среде этилбензола

Условия: температура—135—140°, количество инициатора перекиси трет. бутила 1% на смесь мономеров, соотношение стирол:изопрен:этилбензол\* 1:1:2 моль (26,5:17,5:56 вес)

Время, ч	Выход соолигомера на исходную смесь, %	Выход соолигомера на смесь мономеров, %	Незаполимеризовавшие углеводороды		
			стирол	изопрен	этилбензол
1	11,0	25,0	26,57	7,12	55,3
2	13,8	31,4	21,5	7,95	56,75
4	27,0	61,4	13,7	3,45	55,85
6	34,0	77,4	8,35	1,57	56,08
8	34,7	78,9	6,6	2,46	56,24
10	36,0	89,0	6,27	1,85	55,88
20	41,5	95,5	2,0	0,5	56,0

\* Исходный этилбензол содержал до 1% бензола и толуола.

до 10 ч увеличивает выход соолигомера с 25 до 89%. Содержание стирола и изопрена в незаполимеризованной части соответственно со-

Таблица 2

Соолигомеризация метилированных в ядре производных стирола и  $\alpha$ -метилстирола с изопреном

Условия: температура—135—140°, количество перекиси трет. бутила 1% на смесь мономеров, продолжительность—10 ч

Алкенилароматические мономеры	Соотношение алкенилароматический мономер: изопрен: алкилароматический углеводород (мол.)	Выход соолигомера на исходную смесь, %	Выход соолигомера на смесь мономеров, %	Незаполимеризовавшие углеводороды
Винилтолуол	1:1:4	20,5	73,5	79,5
Винилметаксилол	1:1:2	24,6	75,0	75,4
$\alpha$ -метилстирол	1:1:2	31,0	71,0	69,0
Изопропенилтолуол	1:1:2	29,6	70,5	70,4
Изопропенилметаксилол	1:1:2	29,0	68,5	71,0
Изопропенилметаксилол	1:1:4	17,0	64,0	83,0

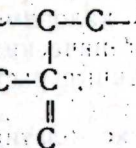
ставляет 6,3 и 1,9%. Дальнейшее увеличение времени соолигомеризации сопровождается еще большей конверсией мономеров и при 20 ч содержание стирола и изопрена в возвратном продукте снижается до 2 и 0,5% соответственно.

Опыты по соолигомеризации метилированных в ядре производных стирола и  $\alpha$ -метилстирола проводились при молярном соотношении алкенилароматический мономер:изопрен:алкилароматический углеводород—1:1:1 (2—4). Полученные данные приводятся в табл. 2.

Как видно из данных табл. 2, при одинаковых условиях соолигомеризации с увеличением числа метильных групп в ароматическом кольце, а также у двойной связи, понижается выход соолигомера, что, по-видимому, связано со стерическими факторами, вызываемыми этими заместителями. Не исключено также отрицательное влияние примесей, содержащихся в бинарных смесях алкенилароматического мономера и алкилароматического углеводорода (хотя и содержатся в незначительном количестве). По-видимому, следует учитывать и изомерный состав использованных алкенилароматических мономеров, а также различие констант передачи цепи растворителей.

Все синтезированные соолигомеры с температурой размягчения не более 40° легко растворяются в ароматических углеводородах и циклических кетонах. 40%-ные растворы их образуют эластичные пленки, обладающие высокой адгезией к стеклу, металлу, дереву, термообработка которых позволяет получить покрытия, выдерживающие температуру 200° и выше.

Спектральные исследования показали, что олигомерная цепь содержит главным образом звенья изопрена в положении 3, 4:



Структурирование соолигомеров стиролом при соотношении соолигомер:стирол—1:1, температуре—130—140° и количестве перекиси трет. бутила 5% в течение 2 ч не происходит. Замедленная скорость структурирования по сравнению с соолигомерами алкенилароматических мономеров и бутадиена, по-видимому, объясняется низким содержанием более реакционноспособных 1,4-звеньев в соолигомерах изопрена.

Выводы

1. Изучена совместная олигомеризация стирола, винилтолуола, винилметаксилола,  $\alpha$ -метилстирола, изопропенилтолуола и изопропенилметаксилола с изопреном в среде растворителей—соответствующих алкилароматических углеводородов в присутствии перекиси трет. бутила.

2. Показана возможность применения синтезированных соолигомеров в качестве лакокрасочных покрытий.

ЛИТЕРАТУРА

1. Азерб. хим. журн., № 1, 1966.
2. ДАН Азерб. ССР, т. 24, № 4, 1967.

ИНХП

Р. Н. Исмаилов, С. М. Элиев, М. А. Агаева, Г. И. Галитская

Бә'зи алкенилароматик мономерләrin изопренлә

сәрбэст радиал механизми үзрә биркә олигомерләшмәсі

ХУЛАСЭ

Мәгаләдә стирол, винилтолуол, винилметаксилол,  $\alpha$ -метилстирол, изопропенилтолуол вә изопропенилметаксилолун һәлледиң мүнитдә изопренлә олигомерләшмәсіндән бәhc едилмишdir.

Поступило 29. XII 1967

## АНАЛИТИЧЕСКАЯ ХИМИЯ

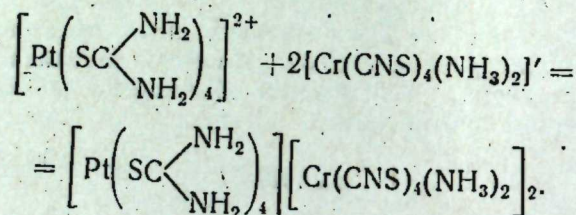
И. Л. БАГБАНЛЫ, А. А. АЛБЕНДОВ

ФОТОКАЛОРИМЕТРИЧЕСКИЙ МЕТОД ОПРЕДЕЛЕНИЯ  
ПЛАТИНЫ В ВИДЕ ДВОЙНОГО КОМПЛЕКСНОГО  
СОЕДИНЕНИЯ

(Представлено академиком АН Азербайджанской ССР М. Ф. Нагиевым)

Рядом авторов предложены калориметрические методы определения платины с применением органических и неорганических реагентов, образующих устойчивые окрашенные растворы, подходящие для калориметрирования [1, 2, 3, 4].

Тетратиомочевинный комплекс платины под действием соли Рейнеке образует труднорастворимый в воде осадок розового цвета по реакции:



На основе этой реакции разработаны гравиметрический [5] и объемный методы определения платины [6]. В настоящей работе приводятся результаты исследований определения платины калориметрическим методом.

Тетратиомочевинплатинорейнекатный осадок растворяется в ацетоне, метилэтилкетоне и этилацетате, образуя раствор розового цвета. В данном случае в качестве растворителя был использован ацетон.

Максимум поглощения ацетонного раствора тетратиомочевинплатинорейнеката установлен при длине волны 400 мкм (рис. 1).

Из рис. 1 видно, что в интервале длины волны от 440 до 540 мкм кривая идет параллельно оси абсцисс, что дает возможность подобрать светофильтр. Наше исследование проводилось при длине волны 540 мкм (светофильтр № 6 — зеленый), так как при этой длине чувствительность прибора выше, чем при  $\lambda_{\text{мак}}$ . Далее изучена зависимость оптической плотности раствора от времени выдерживания (рис. 2). Установлено, что оптическая плотность ацетонного раствора не изменяется в течение двух часов. Однако, стабильность окраски раствора сохраняется долгое время.

В пределах концентрации платины в испытуемом растворе от 300 до 3375 мкг прибавляется 5–6-кратный избыток 1 М растворя тиомочевины и платина медленно осаждается свежеприготовленным и отфильтрованным 2,5%-ным раствором соли Рейнеке. Осадок отфильтровывается через бумажный фильтр с маленьким диаметром при слабом

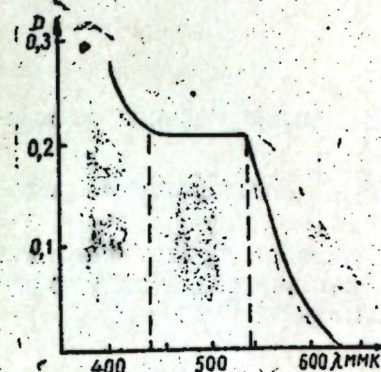


Рис. 1. Зависимость оптической плотности ацетонного раствора тетратиомочевинплатинорейнеката от длины волны.

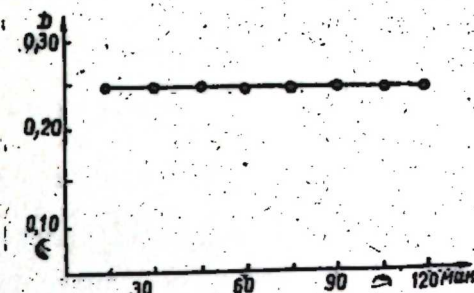


Рис. 2. Зависимость оптической плотности от времени выдерживания.

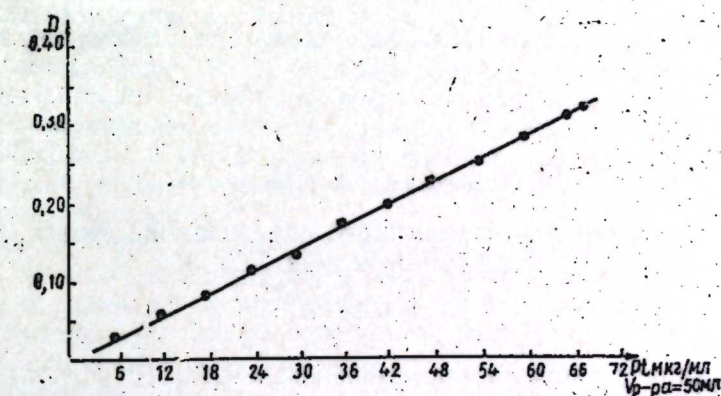


Рис. 3. Калибровочная кривая.

№ пп	Взятое количество пл, мкг	Найденное количество		Относительная ошибка, %
		пл, мкг	%	
1	300	304	101,33	+1,33
2	300	300	100,00	0,0
3	750	745	98,33	-0,67
4		740	98,67	-1,33
5	1500	1500	100,00	0,00
6		1510	100,67	+0,33
7	1875	1875	100,00	0,00
8		1880	100,27	+0,27
9	3375	3370	99,85	-0,15
10		3375	100,00	0,0

отсасывании водоструйным насосом, промывается водой, охлажденной на льду. Фильтр с осадком переносится в стакан, где производилось осаждение, растворяется в ацетоне и переносится в мерную

колбу емкостью 50 мл, доводится до метки и измеряется оптическая плотность на фотокалориметре ФЭК-56, используя кювету  $l = 30$  мм при длине волны 540 мкм. Количество платины в анализируемом растворе находят по калибровочной кривой (рис. 3). Результаты опытов приведены в таблице.

## Выводы

Тетратиомочевинный комплекс платины с солью Рейнеке осаждается в виде  $\left[ \text{Pt} \left( \text{SC} \begin{array}{c} \text{NH}_2 \\ | \\ \text{NH}_2 \end{array} \right)_4 \right] \left[ \text{Cr}(\text{CNS})_4(\text{NH}_3)_2 \right]_2$  розового цвета, растворяясь, в ацетоне, образует окрашенный раствор, подходящий для калориметрирования. На основе данной реакции разработан новый калориметрический метод определения платины.

## ЛИТЕРАТУРА

- Гинзбург С. И., Гладышевская К. А. и др. Руководство по химическому анализу платиновых металлов и золота. Изд-во "Наука", 159, 1965.
- Барковский В. Ф., Кульберг Л. М. Изв. сектора платины, ИОНХ АН ССР, 29, 149, 1955.
- Гинзбург С. И., Сальская Л. Г. Ж. аналит. хим., 17, 492, 1962.
- Шарло Г. Методы аналитической химии. Изд-во "Химия". М.—Л., 1965, 760.
- Багбанлы И. Л., Албандов А. А. Азерб. хим. журн., № 4, 1957.
- Багбанлы И. Л., Албандов А. А. Сб. работ аспирантов и соискателей. ИНФХ АН Азерб. ССР, 1968.

Институт неорг. и физич. химии

Поступило 4.VII 1967

И. Л. Багбанлы, Э. А. Элбандов

## Платинин икигат комплекс бирләшмә шәклиндә фотокалориметрик тә'јини

### ХҮЛАСӘ

Платинин тетратиокарбамид комплексине  $[\text{Pt}(\text{SCN}_2\text{H}_4)_4]\text{Cl}_2$  Рейнеке дузу  $-\text{NH}_2[\text{Cr}(\text{CNS})_4(\text{NH}_3)_2]$  илә тә'сир етдиңдә  $[\text{Pt}(\text{SCN}_2\text{H}_4)_4][\text{Cr}(\text{CNS})_4(\text{NH}_3)_2]_2$  тәркибли күлү-гырымызы рәнкли чөкүнү алышыр. Чөкүнү ацетонда жаңышы нәлл оларaq калориметрләмәјә жааралы күлү-гырымызы рәнкли мәһлүл эмәлә кәтирир. Нәмин мәһлүл платинин 0,3—3,375 мг/50 мл гатылығында бер ганунуна табе олур.

Беләликлә, платин јухарыда көстәрилән бирләшмә шәклиндә чек-дүрүлүр, сүзүлүр, јујулур, ацетонда нәлл едиләрәк 50 мл-лик өлчү колбасына көчүрүлүр, чизкијә гәдәр ацетонла дурулашдырылараг 540 мкм далға узунлуғунда оптикалығы өлчүлүр.

АЗЭРБАЙЧАН ССР ЕЛМЛӘР АКАДЕМИЯСЫНЫН МӘРҮЗӘЛӘРИ

ДОКЛАДЫ АКАДЕМИИ НАУК АЗЕРБАЙДЖАНСКОЙ ССР

ТОМ XXIV

№ 8

1968

## ОРГАНИЧЕСКАЯ ХИМИЯ

М. М. МОВСУМ-ЗАДЕ, С. С. БЕЙБУТОВА, Д. А. ЭФЕНДИЕВА

## БЛОЧНАЯ ПОЛИМЕРИЗАЦИЯ ОКИСИ ТРИМЕТИЛЭТИЛЕНА В ПРИСУТСТВИИ б/в $\text{TiCl}_4$ и б/в $\text{SbCl}_5$

(Представлено академиком АН Азербайджанской ССР А. М. Кулиевым)

В настоящей работе, которая является продолжением ранее проведенных исследований [1, 2] по полимеризации окиси trimetilätilena с помощью кислот Льюиса, сообщаются результаты реакции катализической полимеризации окиси trimetilätilena в присутствии б/в  $\text{TiCl}_4$  и б/в  $\text{SbCl}_5$ . С этими катализаторами были установлены оптимальные условия полимеризации, проводились исследования полученных полимерных продуктов.

Полимеризация проводилась по ранее описанной нами методике [1] при разных температурах и количествах катализаторов. Конец реакции определяли по прекращению нарастания вязкости и по полному исчезновению из реакционной смеси окиси trimetilätilена. Вязкость определялась в вискозиметре Оствальда в растворе бензола при температуре 20°C.

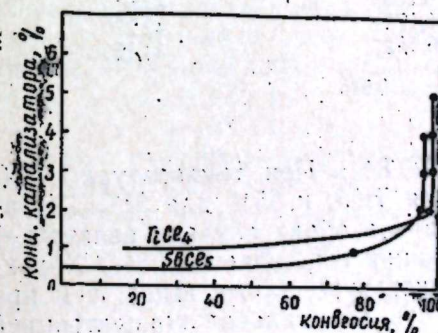


Рис. 1. Зависимость конверсии от количества катализатора.

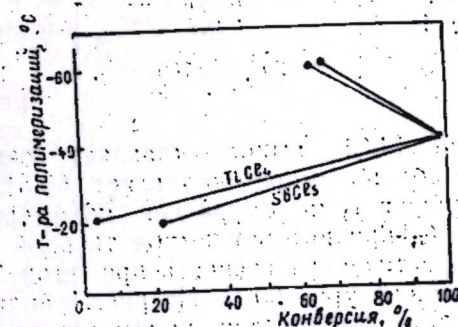


Рис. 2. Зависимость конверсии от температуры реакции полимеризации.

Для выделения полимера в чистом виде он осаждался этиловым спиртом из бензольного раствора.

Полученные полимеры представляют собой белые аморфные порошки.

При выяснении оптимальных условий было установлено, что время полимеризации — 3 ч для обоих катализаторов.

Кроме того, было определено влияние температуры полимеризации на выход полимера и на его молекулярный вес.

Было установлено, что (рис. 2) при температуре  $-20^{\circ}\text{C}$  полимеризация в присутствии  $\text{TiCl}_4$  идет с малым выходом, а в присутст-

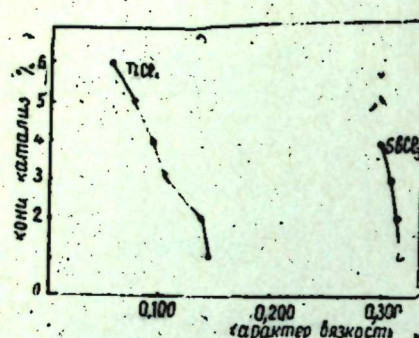


Рис. 3. Зависимость характеристической вязкости полимера от количества катализатора.

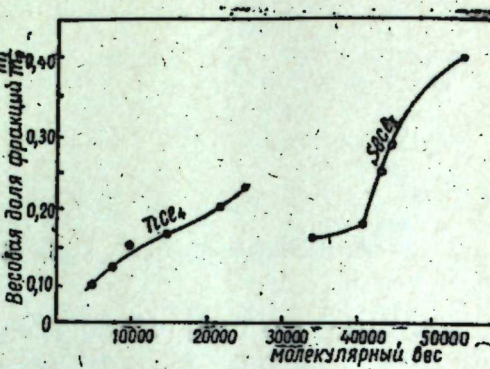


Рис. 4. Интегральная кривая распределения полимергомологов по молекулярному весу.

№ п/п	Вес фракции, г	Весовая доля	Молекулярный вес
Катализатор $\text{TiCl}_4$			
1	2,300	0,230	$m_0 = 10 \text{ г}$
2	2,150	0,215	25700
3	1,650	0,165	22300
4	1,500	0,150	15070
5	1,220	0,122	10320
6	1,010	0,101	7180
	$\Sigma m_i = 9,830$	$\Sigma \frac{m_i}{m_0} = 0,983$	4837
Катализатор $\text{SbCl}_5$			
1	1,110	0,396	$m_0 = 2,800 \text{ г}$
2	0,700	0,250	55 340
3	0,500	0,178	43 650
4	0,450	0,162	42 270
	$\Sigma m_i = 2,760$	$\Sigma \frac{m_i}{m_0} = 0,986$	34 120

вии  $\text{SbCl}_5$  выход составляет всего — 29,8%. При температуре  $-60^{\circ}\text{C}$  выход полимера составляет 60,5% для  $\text{TiCl}_4$  и 65% для  $\text{SbCl}_5$ . Наилучшая температура для полимеризации в обоих случаях является  $-40^{\circ}\text{C}$ , при которой выход твердой фракции составляет 98,5%. Характеристическая вязкость при этой температуре также выше, чем при температуре  $-60^{\circ}\text{C}$ . Из рис. 1 видно, что оптимальной концентрацией катализаторов для полимеризации оксики триметилэтилена является 2%, считая на мономер.

Повышение концентрации не меняет выход, и как видно из рис. 3, падает характеристическая вязкость, что равносильно уменьшению молекулярного веса полимеров.

Для определения полидисперсности, полученные полимеры были фракционированы методом дробного осаждения [3]. В качестве растворителя был использован бензол, в качестве осадителя — этиловый

спирт. Результаты фракционирования полимеров, полученных из оксики триметилэтилена с помощью  $\text{TiCl}_4$  и  $\text{SbCl}_5$ , даются в таблице.

По данным таблицы построены интегральная и дифференциальная кривые распределения полимергомологов по молекулярному весу (рис. 4, 5).

Молекулярные веса фракций определялись по характеристической вязкости. Константы  $K$  и  $\alpha$  определялись из линейной функции.

$\lg[\eta] = \lg K + \alpha \lg M$   
по известной методике (4)

$K = 1,10^{-4}$   $\alpha = 0,75$  для полигексаметилэтиленоксида в растворе бензола при температуре  $20^{\circ}\text{C}$ .

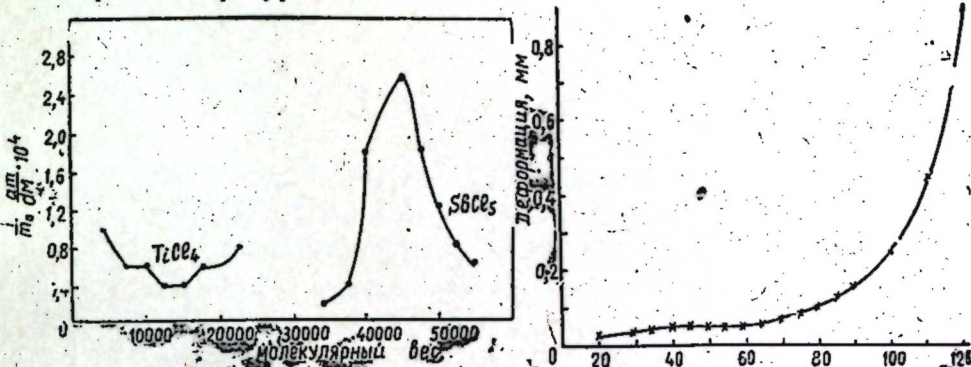


Рис. 5. Дифференциальная кривая распределения полимергомологов по молекулярному весу

Рис. 6. Термомеханическая кривая полигексаметилэтилена.

Для полигексаметилэтилена на катализаторе б/в  $\text{TiCl}_4$  была снята также термомеханическая кривая (рис. 6), характерная для аморфного полимера, т-ра текучести  $\sim 100^{\circ}\text{C}$ .

Сравнение образцов полимеров, полученных в идентичных условиях с помощью  $\text{TiCl}_4$  и  $\text{SbCl}_5$ , показывает, что полимер, полученный в присутствии  $\text{SbCl}_5$ , имеет больший молекулярный вес.

Это объясняется тем, что величина энергии диссоциации связи  $\text{Sb}-\text{Cl}$  меньше, чем у связи  $\text{Ti}-\text{Cl}$ .

Поэтому при катионном механизме полимеризации оксики триметилэтилена в присутствии  $\text{SbCl}_5$ , насыщение карбоний-катиона ионом хлора протекает медленно, т. е. продолжительность жизни карбокатиона больше, вследствие чего и растет молекулярный вес.

## Выводы

1. Исследована полимеризация оксики триметилэтилена в присутствии  $\text{TiCl}_4$  и  $\text{SbCl}_5$ .

Показано, что с помощью этих катализаторов можно получить твердые аморфные полимеры с хорошим выходом.

2. Проведено фракционирование полимеров методом дробного осаждения и определены молекулярные веса полученных фракций.

3. В статье дается термомеханическая кривая полигексаметилэтиленоксида.

## ЛИТЕРАТУРА

- Мовсум-заде М. М., Бейбурова С. С., Эфендиева Д. А., Азерб. хим. журн., 1968.
- Мовсум-заде М. М., Бейбурова С. С., Эфендиева Д. А., Азерб. хим. журн., 1968.
- Аллен П. В. Методы исследования полимеров (пер. с англ.), 1961.
- Рафикова С. Р. Методы определения молекулярных весов и полидисперсности высокомолекулярных соединений, 1963.

АзИНХ

Поступило 10.V 1967

Сусуз  $TiCl_4$  вә  $SbCl_5$ -ин иштиракы илә триметилетилен туршусунун блок полимерләшмәси

ХҮДАСӘ

Мәгаләдә триметилетиленоксидин сусуз  $TiCl_4$  вә  $SbCl_5$ -ин иштиракы илә блок полимерләшмәсіндән бәhc олумышдур. Полимерләшмә реаксијасының оптималь шәрайти, алынан полимерин хассәләри өјрәнилмишdir.

ОРГАНИЧЕСКАЯ ХИМИЯ

А. А. БУНИЯТ-ЗДЕ, Э. Л. БУЛАТНИКОВА, М. А. ДАЛИН

СТЕРЕОСПЕЦИФИЧЕСКАЯ ПОЛИМЕРИЗАЦИЯ  
ПРОПИЛЕНА НА МОДИФИЦИРОВАННЫХ  
ГЕТЕРОГЕННЫХ КАТАЛИЗАТОРАХ

Известно, что в реакции полимеризации пропилена окиснохромовые катализаторы являются нестереоспецифичными, полученный на этих катализаторах полипропилен содержит в основном атактическую структуру.

Вместе с тем в результате наших исследований в области синтеза этилен-пропиленовых сополимеров с большим содержанием пропилена на модифицированных окиснохромовых катализаторах было установлено, что в сополимере, содержащем до 40% пропилена, 14–16% полипропиленовых звеньев находятся в изотактической структуре [1]. Этот факт показался нам весьма интересным и мы поставили себе задачу проверить стереоспецифичность окиснохромового катализатора нового типа в реакции полимеризации пропилена.

В данной статье приводятся первые результаты наших исследований в области стереоспецифической полимеризации пропилена на модифицированных гетерогенных катализаторах.

ЭКСПЕРИМЕНТАЛЬНАЯ ЧАСТЬ

Полимеризацию пропилена на модифицированных окиснохромовых катализаторах проводили в автоклаве из нержавеющей стали объемом 2,5 л, снабженном бессальниковской мешалкой при давлении пропилена равном 30–35 атм. Катализатор в ампулах помещали в специальное устройство внутри автоклава. В качестве растворителя использовали бензин „экстра“. За скорость полимеризации следили по уменьшению давления пропилена в питающей емкости. По окончании опыта содержимое автоклава отделяли от катализатора путем растворения его в *n*-ксилоле с последующей фильтрацией через плотную ткань. После этого полипропилен доводился до постоянного веса и подвергался дальнейшему исследованию.

Стереорегулярность полимеров определяли по Натта—экстракцией кипящим *n*-гептаном. Количество нерастворимого полипропилена принимали за индекс стереоспецифиности каталитической системы. Распределение стереорегулярности определяли фракционированием методом непрерывной экстракции тонкого слоя полимера на усовершенствован-

ванной колонке типа Фрэнсиса системой растворителей с возрастающей способностью растворять полипропилен [2]. Каждая фракция осаждалась из растворителя метанолом, центрифугировалась, отфильтровывалась и доводилась до постоянного веса. После чего определяли вес фракции, характеристическую вязкость и температуру плавления. Зная температуру плавления каждой фракции, вычисляли процентное содержание стереорегулярности отдельных фракций, пользуясь уравнением Флори [3].

$$(-R/\Delta H) \ln(S/100) = (1/T_m) - (1/T_m^0), \quad \text{где}$$

$R$  — газовая постоянная,

$\Delta H$  — энталпия, 2600 кал/моль,

$T_m$  — температура плавления полимера,

$T_m^0 = 170^\circ\text{C}$  (температура плавления изотактического полипропилена).

## ОБСУЖДЕНИЕ РЕЗУЛЬТАТОВ

Полимеризация пропилена при среднем давлении в присутствии хромалюмосиликатных катализаторов приводит к образованию полимера с невысокой степенью изотактичности.

Модификацией окиснохромового катализатора окислами различных металлов удается увеличить молекулярный вес и степень изотактичности полипропилена.

Мы применили для полимеризации пропилена хромалюмомагнийсиликатный катализатор, полученный методом ионнообменной адсорбции [4].

Магнийсиликатный гидрогель, полученный совместным осаждением сульфата магния и жидкого стекла, обрабатывали растворами сернокислого алюминия и хрома. При этом происходит частичное замещение магния магнийсиликатного гидрогеля на алюминий и хром. Затем катализатор активировали в кипящем слое воздухом при температуре 500—550°C. В отличие от обычного хромалюмосиликатного катализатора, полученного пропиткой алюмосиликатного носителя хромовым ангидридом, в хромалюмомагнийсиликатных катализаторах реакция

Катализатор	Соотношение Mg/Cr моль/мол	Скорость полимеризации г/г кат. в 1 ч	Свойства полимера			
			Характеристическая вязкость в декалине при 135°	Тип.	Стереоспецифичность, по Натта	Стереоспецифичность, по Флори
1. Хромалюмосиликат		5	—	—	0	0
2. Хроммагнийсиликат		30	0,43	150	27	36,7
3. Хромалюмомагнийсиликат	0,45	100	0,83	165—168	76	85
4.	0,50	60	0,79	162—165	67	78
5.	0,64	40	0,75	158—161	56	64
6.	0,90	35	0,52	150—154	35	44
7.	1,6	30	0,41	150—152	28	36

восстановления хрома протекает медленно и, следовательно, переходный металл присутствует в одном валентном состоянии в течение более длительного времени, что приводит к высокой степени однородности и стереоспецифичности катализатора. Кроме того, рентгеноструктурными исследованиями хромалюмосиликатных и хромалюмомагнийсиликатных катализаторов установлено, что, если полностью

рентгеноаморфны, то во втором типе катализаторов появляется определенная степень кристалличности.

В таблице приведено сравнение данных по полимеризации пропилена на различных типах окиснохромовых катализаторах.

Как видно из таблицы, обычные хромалюмосиликатные катализаторы менее активны в процессе полимеризации пропилена, чем хромалюмомагнийсиликатные катализаторы, полученные методом ионнообменной адсорбции. Это можно объяснить влиянием окислов металлов, входящих в состав хромокислых катализаторов, что, по нашему мнению, связано с кислотностью катализатора. На таких кислотных катализаторах, как хромалюмосиликатный, происходит реакция полимеризации пропилена и одновременно с ней реакция олигомеризации [5]. Причем олигомеры, являющиеся олефинами, могут сополимеризоваться с пропиленом на тех же активных центрах, образуя каучукоподобный продукт — атактический полипропилен. Кроме того, в связи с кислотной природой алюмосиликатного носителя, способного изомеризовать двойную связь олефинов, возможно образование  $\beta$ -и  $\gamma$ -олефинов. А накопление изомеризованных олефинов, не способных полимеризоваться в данных условиях, ведет к дезактивации катализатора. Введение же окиси магния, обладающей щелочными свойствами, снижает кислотность катализатора, что приводит к уменьшению скоростей побочных реакций, а в результате этого образуется полипропилен в основном стереоспецифической структуры.

На рис. 1 и 2 представлена зависимость стереоспецифичности

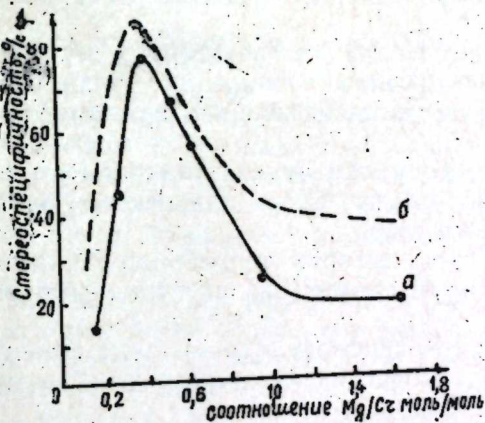


Рис. 1. Зависимость стереоспецифичности хромалюмомагнийсиликатного катализатора от соотношения Mg/Cr, получение: а — экспериментальным путем (по Натта); б — расчетным путем (по Флори).

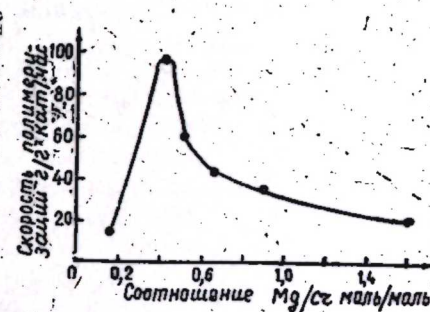


Рис. 2. Зависимость активности хромалюмомагнийсиликатного катализатора от соотношения Mg/Cr.

ти и активности хромалюмомагнийсиликатных катализаторов с различным соотношением Mg/Cr.

Из этих рисунков видно, что максимальный индекс стереоспецифичности и активность катализатора наблюдается при величине соотношения Mg/Cr = 0,45. Причем, следует отметить, что хромовый катализатор, не содержащий окиси алюминия, проявляет незначительную активность и стереоспецифичность действия. Следовательно, активный стереоспецифичный катализатор для полимеризации пропилена должен иметь в своем составе как окись магния, так и окись алюминия.

Интересно отметить, что при сопоставлении результатов, полученных при определении стереоспецифичности отдельных образцов полипропилена по экспериментальному методу Натта и по уравнению Флори, получили хорошую воспроизводимость (см. таблицу, рис. 1).

Расхождения в значениях стереоспецифичности, полученные экспериментальным методом и расчетным путем, с помощью уравнения Флори, нами объясняются как результат экспериментальных ошибок.

#### ЛИТЕРАТУРА

1. Буният-заде А. А., Мехтиев К. М. „Азерб. хим. журн.“, № 4, 1966, 85—88.
2. Буният-заде А. А., Ибрагимова Ф. М., Рапопорт В. О. „Азерб. хим. журн.“, № 6, 1965, 42—45.
3. J. Polymer Sci., 1965, A3, № 7, 2407.
4. Данилова Н. А., Буният-заде А. А. Положительное решение на заявку № 1036 094 от 2 ноября 1965 г.
5. Топчнев А. В., Сметанюк В. И., Перельман А. И., У-Гуэй-Фан. „Пластмассы“, № 9, 1963, 4.

ВНИИолефин

Поступило 20. X 1967

А. Э. Буниядзаде, Е. Л. Булатникова, М. А. Далин

#### Пропиленин модификасија олунмуш һетерокен катализатору үзәринде стериоспецифик полимерләшмәсі

#### ХУЛАСЭ

Мәгалә пропиленин магнезиум оксиди илә модификасија олунмуш хромоксиди үзәринде стериоспецифик полимерләшмәсінә һәср олунмушдур.

Муәјжән едилмишдир. ки, хромоксиди катализаторуны мұхтәлиф металоксидләри илә модификасија етмәклә, пропиленин полимерләшмәсі просесинде активлијини вә стериоспециклијини артырмаг мүмкүндүр.

Мәгаләдә көстәрилән јени тип хромалүминимагнисиликат катализаторун иштиракы илә илк дәфә оларға йүксәк стериоспециклијә малик полипропилен синтез едилмишдир.

Айдаңлашдырылмышыр ки, катализаторун тәркибиндә MgCr иисбәттіни дәжишдирмәкә катализаторун активлијине вә стериоспециклијине тә'сир етмәк мүмкүндүр.

Мәгаләдә полипропиленин стериоспециклијинин экспериментал үсул васитәсилә алынмыш көстәричиләри нәзәри үсулла һесабланмыш көстәричиләр илә мүгајисә едилмишдир.

АЗӘРБАЙЧАН ССР ЕЛМЛӘР АКАДЕМИЈАСЫНЫН МӘРҮЗӘЛӘРИ  
ДОКЛАДЫ АКАДЕМИИ НАУК АЗЕРБАЙДЖАНСКОЙ ССР

ТОМ XXIV

№ 8

1968

#### СТРОИТЕЛЬСТВО

А. ФИГАРОВ, Р. ДАДАШЕВ

#### К ВОПРОСУ ИЗГОТОВЛЕНИЯ КРУПНЫХ СТЕНОВЫХ БЛОКОВ ИЗ ОТХОДОВ КАМЕННЫХ КАРЬЕРОВ, ОБЛИЦОВАННЫХ ПЛИТАМИ „АЗЕРБАЙДЖАН“

(Представлено академиком АН Азербайджанской ССР Р. Г. Исмайловым)

Известно, что на всех без исключения карьерах республики вследствие высокой трещиноватости пород и другим причинам скопилось и продолжает скапливаться от распиловки камня-кубика огромное количество отходов, которые с успехом и большим эффектом могут быть использованы для массового производства крупных стеновых блоков.

Использование карьерных отходов—кусковых камней и штыбов—будет серьезным подспорьем для удовлетворения нужд строительства в новом стеновом материале. Скопившиеся на карьерах отходы загромождают территорию карьера, сокращают фронт работы камнерезных машин и карьерного транспорта.

Поэтому при организации массового производства крупномерных стеновых элементов значительное место должно быть отведено местным строительным материалам для более рационального использования их в народном хозяйстве с максимальным результатом и выигрышем времени.

С этой целью из отходов Гюздекского каменного карьера Лабораторией каменных конструкций АзНИИСМ и С им. С. Дадашева были произведены соответствующие исследования.\*

Технологический процесс изготовления крупных стеновых блоков из отходов каменных карьеров, облицованных плитами „Азербайджан“, состоит в основном из следующих этапов: 1) подготовки составляющих камнебетона; 2) приготовления камнебетонной массы; 3) формовки блоков; 4) твердения стеновых блоков.

\* А. Г. Фигаров. Исследование отходов Гюздекского каменного механизированного карьера для изготовления крупных стеновых блоков. Отчет АзНИИСМ и С им. С. Дадашева, г. Баку, 1965.

## I. ПОДГОТОВКА СОСТАВЛЯЮЩИХ КАМНЕБЕТОНА

В массе скопившихся огромных отходов имеют место штыбы и кусковые камни различных форм и размеров с пределом прочности при сжатии 75—150 кг/см<sup>2</sup>.

Учитывая то обстоятельство, что пустить из общей массы кусковые камни в дело в таком виде, как они есть не представляется возможным, так как они имеют неопределенную форму и размеры, а укладка их вручную с необходимой расколкой и последующей заливкой не отвечает требованиям индустриализации строительства, необходимо получаемую с карьера массу (кусковые камни вместе со штыбом) на шековых дробилках проработать. Указанная работа, во-первых, не требует больших затрат, во-вторых, позволит получить блоки с более однородной структурой, что имеет важное значение для несущих стен и, в-третьих, представляется возможным механизировать в заводских условиях трудоемкие технологические процессы, связанные с производством блоков.

После дробления из общей массы необходимо отделить штыбы, употребляемый при производстве блоков взамен песка. Опыты показали, что из общей массы после дробления кусковых камней вместе с карьерным штыбом около 50% составляет штыб (0—0,5 мм) и около 50% крупный заполнитель (5—80 мм). Для уменьшения количества штыба на заводе представляется возможным отделение штыба произвести непосредственно на карьере, путем применения при разработке и погрузке горной массы в автомашину ковша с сетчатым дном. А при нехватке штыба после дробления кусковых камней и отделения мелкой фракции (штыба) от крупной (5—80 мм) доставка необходимого количества штыба для приготовления камнебетона никаких трудностей не представляет. Дробилку при пуске в эксплуатацию так надо отрегулировать, чтобы фракции размерами более 80 мм, составляли не больше 5% от общего объема крупного заполнителя (5—80 мм). Гранулометрический состав штыба показал, что пылевидные частицы с размерами зерен менее 0,15 мм составляют 4,1%; 0,15—0,3 мм—20,8%, вся же остальная часть от общего объема падает на долю крупных фракций, т. е. 0,3—5 мм.

Поэтому незначительный процент пылевидных частиц с размерами зерен менее 0,15 мм позволяет штыб без дополнительного технологического процесса как просевание, рекомендовать взамен песка. Применение фракции крупностью более 80 мм, исходя из толщины блоков (30—35 см.), по конструктивным соображениям и размеров четвертей (примерно 7×12 см) не представляется возможным, т. к. имели бы место недопустимые каверны в четвертях и теле блока.

Помимо этого прочность исходных материалов больше отражается на прочности бетонов с крупным заполнителем, чем с мелким и соответственно больше оказывается в бетонах, чем в растворах.

С уменьшением размеров зерен заполнителя увеличивается плотность и соответственно прочность их и постепенно уменьшается влияние прочности исходных материалов на прочность бетонов.

Рекомендуемое отношение мелкого и крупного заполнителей следующее: 40%—0—5 мм, 60%—5—80 мм.

## II. ПРИГОТОВЛЕНИЕ КАМНЕБЕТОННОЙ МАССЫ

Состав камнебетона марки „M-100“ и „150“ для стеновых блоков из отходов Гюзденского каменного карьера представлен в таблице (таблица). Однако в связи с тем, что известняки Гюзденского место-

рождения по прочностным показателям незначительно отличаются от известняков Дуванинского и Карадагского месторождений, предлагаемый состав с уточнением в лабораторных или производственных условиях может быть принят и для указанных месторождений.

№ пп.	Измерения	Един. измерен.	Потребное количество материалов на 1 м <sup>3</sup> кам- небетона марок	
			.100*	.150*
1.	Фактический расход материалов:	кг		
	а) цемента марки 400		195,5	302
	б) штыба		676,5	627
	в) щебня		1011,0	944
	г) воды		217,0	213
2.	Объемный вес свежезготовленного камнебетона	кг/м <sup>3</sup>	2097,5	2086
3.	Объемный вес камнебетона в сухом состоянии		1900,0	1910

Приготовление бетонной смеси производится в заводских бетономешалках, типы которых могут быть установлены в зависимости от производительности полигона или завода.

## III. ФОРМОВКА БЛОКОВ

Для формовки камнебетонных блоков рекомендуется стендовый способ в металлических формах.

Укладку плит „Азербайджан“ в формы рекомендуется осуществлять по номенклатуре, утвержденным Государственным комитетом Совета Министров Азербайджанской ССР по делам строительства. Плиты укладываются лицевой поверхностью вниз с заполнением швов известковым раствором.

При необходимости укладки отдельных каркасов, подъемных петель и т. д. правильное расположение их в блоках должно быть обеспечено специальными фиксаторами и упорами; указанные мероприятия должны быть отмечены в рабочих чертежах и учтены в спецификациях.

Заполнение форм бетонной смесью рекомендуется производить при помощи бетоноукладочных приспособлений, обеспечивающих равномерное распределение данной смеси, разравнивание и заглаживание. Уплотнение бетона производится на выгребплощадках частотой 2800—3000 кол/мин с амплитудой 0,5—0,6 мм.

Внутренняя поверхность блоков изготавливается подготовленной под окраску или оклейку обоями в соответствии с требованиями к улучшенной штукатурке.

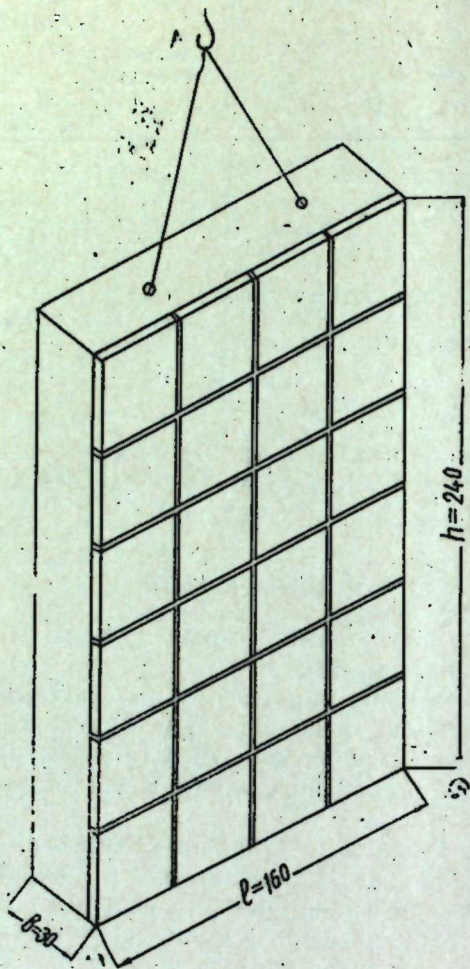
## IV. ТВЕРДЕНИЕ СТЕНОВЫХ БЛОКОВ

Твердение отформованных блоков может осуществляться в естественных условиях и с помощью тепловой обработки пара при атмосферном давлении.

Рекомендуемый процесс пропарки с помощью тепловой обработки может быть подразделен на следующие этапы:

а) предварительное выдерживание отформованных блоков до начала пропаривания—4—6 ч; б) прогрев блоков в камере при подъеме тем-

пературы в ней до принятого наивысшего уровня— $20-25^{\circ}$  в 1 ч; в) изотермический прогрев блоков при наивысшей принятой температуре—7-часовой при  $T=85-90^{\circ}$ , 10-часовой— $60-70^{\circ}$ ; г) выдерживание изделий в камере при снижении в ней температуры— $30-35^{\circ}$  в 1 ч.



Крупный стеновой блок из отходов каменных карьеров, облицованный плитами «Азербайджан».

Изготовление стеновых блоков из отходов каменных карьеров с фактурой заводской готовности плитами типа «Азербайджан» будет серьезным подспорьем для удовлетворения нужд строительства в новом стеновом материале (рисунок).

Институт стройматериалов  
и сооружений

Поступило 29. I 1968

Э. Н. Фигаров, Р. А. Дадашов

Азэрбајчан плитэси илэ үзләшдирилмиш даш карханасынын туллантысындан назырланмыш ири дивар блоклары

#### ХУЛАСЭ

Завод, яхуд полигон шәрәйтіндә ири дивар блокларынын назырланмасы дивар нөркүсүнүн механикләшдирилмәси вә автоматлашдырылмасы просесинә имкан жарадыр.

Даш карханасы туллантыларынын ири дивар блоклары назырланмасы үчүн ишләдилмәси тикинтидән өтүр јени материал олуб, онун тәләбини өдәйир.

Азэрбајчан плитэси илэ үзләшдирилмиш даш карханасынын туллантыларындан назырланмыш ири блокларын назырланма технологиси мүәјжән олунмушдур. „100“ вә „150“ маркалы даш бетон тәркибләри тәклиф едилмишdir. Бу технологијада блоклар заводда үз фактүрлар илэ өртүлмүш шәкилдә верилир.

ЭКОНОМИКА  
СТРОИТЕЛЬСТВА

В. М. ШИРАЛИЕВ, А. К. ГУСЕЙНОВ

МЕТОДЫ ВЫЯВЛЕНИЯ И УЧЕТА БРАКА ОТ НИЗКОГО  
КАЧЕСТВА СТРОИТЕЛЬСТВА

(Представлено академиком АН Азербайджанской ССР Р. Г. Исмайловым)

Количество брака в динамике характеризует качество работы строительных организаций и влияет на себестоимость выпускаемой строительной продукции.

Потери от брака в строительстве составляют ежегодно огромную сумму и наносят большой ущерб государству.

Для повседневной борьбы с браком строительные организации должны располагать сведениями о нем. Для этого следует вести учет и анализ брака с целью своевременного выявления конкретных виновников. Все это будет способствовать повышению ответственности каждого работника за качество строительной продукции.

Переделка и исправление недоброкачественно выполненных работ—одна из причин невыполнения некоторыми строительными организациями установленных государственным планом заданий по снижению себестоимости строительно-монтажных работ.

Разработке первичной документации по учету потерь от брака в строительстве не уделяется должного внимания, в то время как в учете и калькулировании себестоимости промышленной продукции потери от брака выделены отдельной статьей. В „Основных положениях по учету капитальных вложений и себестоимости строительных и монтажных работ“ этот вопрос не получил отражения.

В результате фактические расходы на переделку и исправление недоброкачественно выполненных строительных и монтажных работ большинством строительных организаций учитываются только частично. Работы по переделкам и исправлениям, выполняемые субподрядными организациями, возникающие не по их вине, оформляются также, как и основные строительно-монтажные работы, т. е. по форме № 2—актами приемки, а генподрядчиком отражаются по соответствующему балансовому счету.

Наряду с организационно-техническими мероприятиями, способствующими улучшению качества строительно-монтажных работ, большое значение для борьбы с потерями, связанными с исправлением и переделками работ, имеет улучшение учета этих затрат.

Целесообразно установить в строительстве порядок, по которому

в первичном учете и отчетности потери от брака должны выделяться отдельной статьей с указанием сумм, взысканных с виновных лиц.

Для этой цели необходимо разработать формы первичной документации, фиксирующей все случаи переделок и исправлений, с инструктивными указаниями по методике выявления и учета затрат, связанных с переделками.

Учет, выявление причин и виновников брака требуют четкого определения самого понятия „брак“.

Браком в производстве считается отступление от технических условий, строительных норм и правил сверхдопустимых, ухудшающих качество здания и сооружения и их отдельные элементы. К браку должны относиться также затраты по ремонту отдельных элементов и видов работ, сдаваемые объекты по гарантитным паспортам, если последние вышли из строя ранее установленного для них гарантитного срока. Случается, что брак обнаруживают через некоторое время после сдачи объекта в эксплуатацию. Например, выходят из строя линии канализации, водоснабжения или теплофикации.

В строительстве брак бывает окончательным и исправимым.

Брак окончательный—это материалы, конструкции, дефекты которых исправить технически невозможно или экономически нецелесообразно.

Брак исправимый—это материалы, конструкции или конструктивные элементы и виды работ, дефекты которых исправить технически возможно и экономически целесообразно. В свою очередь, каждый из указанных видов можно подразделить на брак внутренний и внешний.

Брак внутренний—это брак, обнаруженный при производстве строительно-монтажных работ и произошедший по вине строительных организаций.

Брак внешний—это брак, обнаруженный в проектах, строительных материалах, конструкциях и деталях, но произошедший не по вине ее.

Признак брака—краткое название дефекта, служащего причиной браковки строительной продукции.

Характеристика брака—техническое описание дефектов или признаков брака:

Причиной брака—являются условия или обстоятельства, вызвавшие появление дефекта.

Виновником брака—считается юридическое лицо, несущее ответственность за возникновение причин брака.

При анализе материальных отчетов производителей работ и нарядам можно полностью установить перечень и объемы строительных работ, связанных с переделкой и исправлением брака. В настоящее время считается почему-то правомерным, что все потери от брака в строительстве как непроизводительные потери нужно относить не на прямые затраты, а целиком и полностью на накладные расходы себестоимости. По нашему мнению, это нецелесообразно. На исправление и устранение брака расходуются строительные материалы, зарплатная плата, машино-смены, поэтому нет никакой необходимости исключать эти суммы из прямых затрат. Другое дело, если убытки от переделок брака показывать отдельной строкой в отчетах о себестоимости строительно-монтажных работ в разделе „Потери и непроизводительные затраты“, наряду с убытками от штрафов, пени, неустоек и т. д.

В случае, если расходы, связанные с переделками и исправлениями брака, вызваны ошибками в рабочих чертежах, либо отступле-

ниями от технических условий при изготовлении конструкций и деталей в заводских условиях, что влечет за собой исправление указанных изделий, либо порчей качественно выполненных работ субподрядными организациями, то суммы на переделки брака необходимо в установленном порядке взыскивать строительной организацией с проектных организаций, поставщиков и субподрядчиков.

Внесение каких-либо изменений в существующие статьи бухгалтерского баланса, которые давали бы представление о фактических затратах на исправление брака, связано с большими трудностями разнообразного характера.

Между тем, вполне целесообразно, на наш взгляд, разработать дополнительную форму бухгалтерской отчетности, которая предшествовала бы статье "Затраты по переделкам и исправлениям недоброкачественно выполненных строительно-монтажных работ" формы 28-кс.

Предлагаемые формы (табл. 1 и 2) бухгалтерской отчетности будут способствовать своевременному и достоверному отражению затрат на переделку брака в ежемесячных, квартальных и годовых отчетах о себестоимости строительно-монтажных работ соответствующих организаций. Причем, в формах найдут отражение затраты на переделку и исправление брака по отдельным объектам строительства. В табл. 1 отражаются затраты на переделку брака по отдельным объектам. В табл. 2 даны затраты на переделку брака по строительному управлению. Эту форму можно использовать в масштабе треста, Главного строительного управления (Главка) или строительного Министерства (квартальная и годовая с разбивкой по отраслям строительства).

Эти формы мы проверяли в общестроительном управлении СУ-8 и в специализированном управлении отделочных работ СУ-21 треста Бакгорстроя № 1 Главбакстроя.

Для выявления потерь от брака в качестве объекта исследования мы взяли жилой дом ЖСК-64-а, БГИ-1 в квартале 3145—3148.

Данные табл. 1 показывают, что потери от брака составили 1596 руб., из них 31,3% приходятся на долю СУ-8 и 68,7% на СУ-21. Кроме того, выявили потери от брака по СУ-8 за 1967 г. в сумме 12558 руб., а по СУ-21—27179 руб. (табл. 2).

Объем работ за 1967 г., выполненный собственными силами СУ-8 составил 1143,7, а по СУ-11—2110 тыс. руб. Таким образом, потери от брака к объему выполненных работ по СУ-8 составили 1,08, а по СУ-21—2,4%.

Затраты труда на переделку брака по жилому дому ЖСК № 64 а составили 280,5 чел.-дней, по СУ-8 за 1967 г.—1878, по СУ-21—6457 чел.-дней.

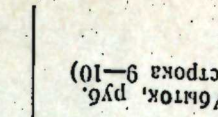
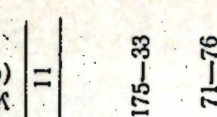
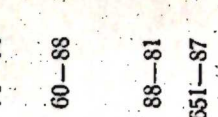
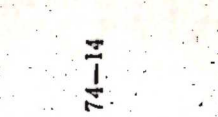
Анализ материалов и личные наблюдения показали, что потери от брака по объектам, выполненным специализированным управлением отделочных работ больше, чем общестроительным, но перед заказчиком за все переделки отвечает общестроительное управление и оно само вынуждено исправлять чужую вину.

Для выявления и подсчета непроизводительных затрат после сдачи объектов в эксплуатацию надо по нарядам или другим документам тщательно изучить характер выполненных работ и причины затрат. Если последние произведены для ликвидации аварий или в связи с жалобами заказчиков на дефекты и недоделки, по наряду с подсчетом ущерба важно выявить конкретных виновников брака.

Нередко в нарядах не фиксируют переделку брака, а затраты на его исправление показывают как другие виды работ. Поэтому для выявления брака и переделок, кроме нарядов, нужно ознакомиться с приказами по строительным организациям, актам о браке, реклама-

Таблица 1

Затраты на переделку брака недоброкачественно выполненных работ по жилому дому ЖСК № 64 а, БГИ-1 в квартале 3145-48

Характеристика производившейся работы на переделку брака	Блок-диаграмма	Затраты на переделку брака в руб.										Сумма затрат, руб.
		1	2	3	4	5	6	7	8	9	10	
Ремонт штукатурки внутренних стен известковым раствором		42	212	33—92	58,3	116—60	—	24—81	175—33	—	—	175—33
Ремонт штукатурки гладких фасадных стен сложным раствором		43	80	12—80	26,0	48—80	—	10—16	71—76	—	—	71—76
Ремонт штукатурки потолков известковым раствором		44	78	9—36	27,7	42—90	—	8—62	60—88	—	—	60—88
Ремонт штукатурки оконных и дверных откосов сложным раствором		45	63	20—79	32,7	55—44	—	12—58	88—81	—	—	88—81
Повторное остекление на замазке		46	310	496—00	17,9	63—55	—	92—32	651—87	—	—	651—87
Разборка стен, сложенных из камня на сложном растворе, очищкой, отсыпкой и штабелировкой камня		47	86	—	44,7	63—64	—	10—50	74—14	—	—	74—14

Окончание табл. 1

1	2	3	4	5	6	7	8	9	10	11
Повторная кладка из камня, полученного от разборки	86	39—56	50,5	109—22	—	24—55	173—33	—	—	173—33
Дополнительная укладка цементного раствора в конструкции для усиления стен	28	163—80	7,8	22—40	12—40	32—64	231—24	—	—	231—24
Разборка перегородок из чингильбетонных плит	29,5	—	1,2	1—77	—	0—30	2—07	—	—	2—07
Устройство перегородок из чингильбетонных плит, полученного от разборки	29,5	2—36	8,3	14—16	—	2—72	19—24	—	—	19—24
Простая масляная окраска по новому двойным оконным переплетам с подоконниками	22	18—04	3,4	5—50	—	3—88	27—42	—	—	27—42
Простая масляная окраска по новому однопольным дверям с наличниками	15,8	14—54	2,0	2—63	—	2—83	20—00	—	—	20—00
Общая сумма		811—17	280—50	546—61	12—40	225—91	1596—09	—	—	1596—09

циями заказчиков, журналами выполненных работ и другими документами.

Для усиления контроля за качеством работ целесообразно в строительных организациях наряды на исправление брака выписывать с цветной полосой и они являлись как бы сигнальными.

Таблица 2

Затраты на переделку брака недоброкачественно выполненных работ по СУ-8 и СУ-21 за 1967 г.

Месяц	Затраты на переделку брака, руб.				
	Материалы	Зарплата		Накладные расходы	Всего
		чел. дн.	сумма		
СУ-8 Январь	915	224	756	89	272—80
Февраль	379	155	223	—	93—31
Март	456	119	202	70	112—84
Итого:	1750	498	1181	159	478—95
Апрель	383	142	294	54	113—30
Май	193	78	202	—	62—00
Июнь	521	143	271	69	133—45
Итого:	1102	363	767	123	308—75
Июль	329	122	331	34	107—57
Август	414	113	233	22	103—69
Сентябрь	676	213	412	77	180—57
Итого:	1419	448	976	133	391—83
Октябрь	609	185	394	62	165—07
Ноябрь	427	182	398	—	127—87
Декабрь	883	202	421	69	212—81
Итого:	1919	569	1213	131	505—75
Всего:	6190	1878	4137	546	1685—28
СУ-21 I квартал	1307	1599	3490	—	863
II квартал	1625	1691	3541	—	930
III квартал	1516	1951	4967	—	1167
IV квартал	2102	1216	4486	—	1185
Всего:	6550	6457	16 484	—	4145
					27 179
					27179
					Убыток, руб. (стр. 7, стр. 8)

С браком настолько свыклись, что нередки еще случаи, когда его считают неизбежным. Возможно, что некоторые руководители строительных организаций по собственной инициативе не будут стремиться внедрять у себя порядки, гарантирующие выявление брака и низкое качество работ. Объясняется это тем, что до сих пор за допущенный брак строго не наказывали. Необходимо поэтому "установить" порядки выявления и борьбы с пограничными от низкого качества в строительстве, повысить материальную ответственность организаций и работников за соблюдение требований качества работ.

Строительно-монтажные работы ведутся, как правило, продолжительное время, в течение которого нередко инженерно-технические

работники либо переводятся вышестоящими организациями на новые объекты, либо увольняются по собственному желанию. В результате нельзя предъявить претензий к лицу, виновному в браке, в отступлении от технических условий и других нарушений. Пришедшие на их место работники занимаются исправлением допущенного брака.

Обезличка в строительстве снижает ответственность работников линейного инженерно-технического персонала за порученное дело, за переделку и исправление выполненных работ. Это очень дорого обходится государству, ибо за подобные работы вторично выплачивается заработка рабочим, осуществляются дополнительные транспортные операции, затраты на материалы, механизацию и пр. Кроме того, срывается выполнение плана и затягиваются сроки ввода объектов в эксплуатацию.

Чтобы повысить ответственность работников линейного инженерно-технического персонала за количество выполняемых строительно-монтажных работ, необходимо специальным указанием возложить персональную ответственность на лиц, непосредственно ведущих технологический процесс.

Увольнение или перевод мастеров, прорабов, старших прорабов следует, по нашему мнению, осуществлять после окончания работ и полной сдачи объекта.

Поскольку оценка долговечности и надежности конструкций не всегда возможна, когда здание готово, поэтажный промежуточный контроль качества должен стать неотъемлемой частью строительного производства. Только при таких условиях может быть установлена личная ответственность исполнителя за качество работ.

Например, при производстве каменной кладки, мастер должен отвечать за правильность планировки квартир, соблюдение геометрических размеров в плане, соответствие их проекту.

Проектные высотные отметки с выносом контрольных отметок на 1,0 м (по высоте) от чистого пола, отметки лестничных площадок, правильность положения дверных и оконных проемов и др. должен проверять производитель работ.

Качество выполненной каменной кладки этажа должен определять старший производитель работ и так далее.

Азерб. политехнический  
институт

Поступило 27. V 1968

В. М. Ширелиев, Э. Г. Һүсеинов

**Кејфијјетсиз тикинтинин һесабына алынан бракын учоту  
вэ ашкар едилмәси методу**

**ХУЛАСЭ**

Тикинти иғисадијаты саңасинде ән аз ишләнән мәсәләләрдән бири тикинти просеси заманы кејфијјетсиз көрүлән ишләрин иәтичесинде алынан бракын мигдарынын ашкар едилмәси методудур.

Тикинтидә бракын һесабына алынан итки һәр ил чох бәյүк мәбләр тәшкүл едир вэ дөвләтә зәрәр верир. Бә'зи тикинти тәшкүлатларынын тикинти-гурашдырма ишләриндә маја дәјәринин ашагы салымасы планыны Іеринә Јетирмәмәснин ән әсас сәбәбләриндән бири дә кејфијјетсиз көрүлән ишләрин дүзәлдилмәснә сәрф олунан әлавә хәрчләри нәзәрә алмамасыдыр. Буна көрә дә мәгаләдә көстәрилир ки,

ишичкарысынын материал һесабаты вэ нарjadларынын тәһлили иәтичесинде бракын дүзәлдилмәси илә әлагәдар олан тикинти ишләринин һәчмини вэ адларыны тә'јин етмәк мүмкүндүр.

Бракын дүзәлдилмәси вэ сәрф олунан фактик хәрчләри тә'јин етмәк учун мүнасиbat һесабатындан өтру әлавә формаларын тәртиби тәклиф едилмишdir. Мәгаләдә бу формалара әсасен тикинтин айрыајры объектләри үзрә вэ тикинти идарәләринин аялыг, кварталлыг, иллик тикинти-гурашдырма ишләринин маја дәјәри һесабатында бракын дүзәлдилмәси учун сәрф олунан хәрчләрин мигдарынын ашкар едилмәси методу көстәрилишdir.

ГЕОЛОГИЯ

Ф. А. АХУНДОВ

**О САНТОНСКИХ ВУЛКАНО-ПЛУТОНИЧЕСКИХ ФОРМАЦИЯХ  
МАРТУНИНСКОГО СИНКЛИНОРИЯ (МАЛЫЙ КАВКАЗ)**

(Представлено академиком АН Азербайджанской ССР Ш. А. Азизбековым)

В геологической литературе последнего времени значительное место уделяется вулкано-плутоническим сообществам горных пород, их пространственно-временным соотношениям и структурно-геологическим условиям формирования.

Сейчас эти вопросы стали особенно актуальными, от их решения зависят многие разделы магматической геологии. Поэтому весьма важное значение приобретают примеры, где установлены генетические связи явлений вулканизма и плутонизма. Сантона вулканические и плутонические образования Мартунинского синклинория Малого Кавказа наделенные структурно-геологическим, минералого-петрографическим, петрохимическим и минералого-геохимическим родством, в этом отношении являются одним из интереснейших районов.

Изучение строения этого сложного по внутреннему строению сантона вулкано-плутонического комплекса пород показало, что вся гамма верхнемеловых магматических пород Мартунинского синклинория возникла из единого магматического очага в результате дифференциации магмы базальтового состава, выраженной в лавовой, вулканокластической и субвулканической фациях и представлены миндалевидными витробазальтами, плагиобазальтами, оливиновыми и безоливиновыми анальцимовыми безанальцимовыми порфировидными базальтами, андезито-базальтами, пироксеновыми андезитовыми порфиритами, пикрито-базальтами и различными базальтовыми мандельштейнами, а также габбро-диабазами и диабазами. Началом вулкано-плутонической деятельности явилось формирование вулканической фации, представленной лавовыми потоками и покровами.

В современном эрозионном срезе породы вулканической фации сохранились на различных гипсометрических уровнях. Встречаются отдельные поля вулканитов, сложенные почти исключительно пирокластическими образованиями.

Общая видимая мощность вулканической серии составляет 20—750 м. Сеть разломов разной глубины заложения и контрастность рельефа приводили к неравномерному распространению вулканитов на площади.

Судя по резко меняющейся мощности, даже в пределах одного поля можно предполагать, что накопление вулканитов происходило в обстановке вулкано-тектонических горстов, характерным признаком которых является разрушение кровли очага на глыбы и частое образование небольших вулканов на сбросовых трещинах, ограничивающие эти глыбы. Происхождение вулкано-тектонических горстов обвязано исключительно интрузивной или эксплозивной деятельности магмы.

В разрезе сантонских вулканических образований, в одних случаях, преобладает лавовая фация, в других,—вулканокластическая. Субвулканическая фация образует разнообразную пеструю группу. В геологическом смысле это тела различных размеров и формы, которые можно отнести к силлам, неккам, дайкам и экструзиям. Условия образования этих различных по своей морфологии тел так же, как их размеры и степень насыщенности ими вмещающих толщ, на отдельных участках весьма разнообразны. Большинство субвулканических тел группируются в ореолах местонахождения древних вулканических очагов или центров и зачастую образуют постепенные переходы с лавовыми подводными излияниями и представляют, по-видимому, корни этих излияний.

Характерным примером субвулканических образований являются экструзивы "Чартаз", а также некк в районе сел. Керт и многочисленные, разнообразные по мощности и протяженности силы габбро-диабазов и диабазов, согласно залегающих в слоистых отложениях вулканогенного сантона.

Геологическое, петрологическое, петрохимическое и минералого-геохимическое изучение габбро-диабазовых силлов, лавовых образований и экструзий показало их явную комагматичность (табл. 1, 2).

Таблица 1

Химический состав моноклинных пироксенов, базальтовых лав, пластовых интрузий и экструзий

	Базальтовая лава обр. 577	Экструзив. чартаз обр. 69	Силл-габбро-диабаз, 10 разр.
SiO <sub>2</sub>	51,26	50,70	50,57
TiO <sub>2</sub>	0,68	0,60	1,02
Al <sub>2</sub> O <sub>3</sub>	2,78	2,57	3,05
Fe <sub>2</sub> O <sub>3</sub>	2,76	2,68	2,77
FeO	4,90	4,82	5,10
MnO	0,05	0,06	0,13
MgO	15,01	15,40	14,84
CaO	22,60	22,56	21,64
Na <sub>2</sub> O	0,22	0,26	0,49
K <sub>2</sub> O	0,14	0,12	0,08
H <sub>2</sub> O+	—	—	0,10
H <sub>2</sub> O-	0,04	0,06	0,02
Сумма	100,44	99,83	99,81

Примечание. Химические анализы произведены в Центральной химической лаборатории Управления СМ Азерб. ССР по геологии, аналитик Зубарева.

Субвулканические образования изученных серий наследуют особенности ассоциаций акцессорных минералов вулканической фации. Преемственность выражается в сохранении характерного комплекса минеральных видов, а также в составе примесей, часто сохраняются также и преобладающие формы кристаллов.

Среди пород вулканокластической фации встречаются брекчевые

лавы, агломератовые лавы, различные туфы базальтов и в меньшей степени встречаются разнообразные по крупности материала туффиты, еще реже вулкано-осадочные образования — туфопесчаники, туфоконгломераты. Такое разнообразие петрографического состава вулкано-глыбических образований, а также тесная их ассоциация с лавовыми и субвулканическими фациями свидетельствует о том, что вулканические извержения характеризовались сложной последовательностью событий и протекали с многократным чередованием эксплозивных и эфузивных фаз, причем неодинаково и неодновременно на различных участках.

Таблица 2

Результаты количественных определений элементов примесей в моноклинико-пироксеновых вулканических породах сантония

Среднее по 10 пробам

№ проб	Содержание, %					Горные породы
	V	Ni	Co	Zn	Cr	
577	0,03	0,029	0,005	0,023	0,009	Базальтов. лава
69	0,028	0,03	0,005	0,023	0,01	Экструз. Чартаз
10 р.	0,03	0,028	0,006	0,022	0,015	Силл, габбро-диабаз

Примечание. Анализы произведены в спектральной лаборатории Управления СМ Азерб. ССР по геологии.

Характерным типом извержений, особенно для ранней фазы вулканической деятельности являлись подводные вулканы центрального типа, деятельность которых сопровождалась мощными эксплозивными процессами.

Последующий период вулканической активности характерен тем, что наряду с центральным изменением возникли подводные относительно спокойные трещинные излияния лав.

Действительное изучение продуктов вулканизма — состав и характер лав, характер твердых вулканических продуктов, формы занимаемого пространства, также определение эксплозивного индекса дало основание считать верхнемеловой вулканизм Мартунинского синклиниория стромболианским типом извержения. Характерен для данного вулканизма тот факт, что он является единственным представителем посторогенного типа вулканизма в развитии всего мезозойского тектономагматического цикла Сомхито-Карабахской зоны, причем наличие покровов и экструзий с повышенной щелочностью указывают на завершенность вулканизма платформенного типа.

Присутствие субщелочных основных пород в сantonских вулкано-плутонических формациях свидетельствует о наличии мелких вулканических очагов, возникающих на небольшой глубине в зоне глубинных разломов. Эти очаги образуются благодаря резкому изменению физического состояния отдельных участков земной коры под влиянием возникших глубинных расколов.

Повышенная щелочность оказывается на образовании анальцима, натролита, гейландита, томсонита, морденита, которые присутствуют в значительных количествах в вулканических породах сантония всех трех описанных фаций.

## ЛИТЕРАТУРА

- Абдуллаев Р. Н. Пётрологические и металлогенические особенности мезозойского вулканизма Малого Кавказа. Изд-во АН Азерб. ССР. 1965.
- Ахундов Ф. А., Мамедов Т. М. Пётрографическая характеристика вулкапогенных пород сантония, содержащих исландский шпат. Уч. зап. АГУ. № 6. 1959.
- Ахундов Ф. А. О сantonских шаровых лавах, содержащих исландский шпат. ДАН Азерб. ССР. № 4. 1961.
- Ахундов Ф. А. О сantonском эфузивном вулканизме Мартунинского синклиниория в Нагорном Карабахе. Уч. зап. АГУ. № 2. 1962.
- Ритма и А. Вулканы и их деятельность. Изд-во «Мир». 1964.

Институт геологии

Ф. А. Ахундов

## Мартуни синклиниоринин Сантон јашлы вулкан-плутоник формасијасы һагында (Кичик Гафгаз)

### ХУЛАСЭ

Сон заманлар вулкан-плутоник формасијалар, онларын қеоложи вә структур вәзијјети, әмәләкәлмәләри қеоложи әдәбијатда әтрафы тәсвир олунур вә вулканизм илә плутонизм арасындакы әлагәнин өјрәнилмәссиә бөյүк әһәмийјэт верилир.

Кичик Гафгазын Сантон јашлы вулкан-плутоник формасијасындан ибарәт Мартуни антиклиниори қеоложи структуру, ону тәшкил едән сүхурларын минераложи-петрографик, петрокимјәви вә минераложи-кеокимјәви хүсусијјәтләринә көрә мараглы саһәләрдән бири һесаб едилә биләр. Сантонун вулканик кәсилишиндә һәрдән базалт тәркибли лава фасијасы, һәрдән исә вулканик-гырынтылы сүхурлар үстүнлүк тәшкил едир.

Вулкан-плутоник формасијанын субвулканик сүхурлары мұхтәлиф тәркибли олуб, морфологи чәһәтдән силләр, неккләр, дајкалар вә еффузијалар јарадыр. Субвулканик сүхурларда, ирси олараг, вулканик формасијанын аксессор минералларына тәсадүф едилir.

Магматик фәалијјэт нәтичәсиндә јарапмыш вулкан-плутоник формасијасы мұхтәлиф тәркибли, үмуми галынлығы 20—750 м олан лава өртүкләринин әмәлә кәлмәси илә сәчијјәләнир. Кичик бир саһәдә лава өртүкләринин галынлығынын белә кәскин дәјишмәси, вулканитләrin хүсуси, һорстларын јарапмасы илә сәчијјәләнән тектоник шәрайтдә әмәлә кәлмәләри барәдә фикир јүрүтмәјә имкан верир.

СТРАТИГРАФИЯ

С. А. КУЛИЕВА

СТРАТИГРАФИЯ АПШЕРОНСКОГО ЯРУСА БАКИНСКОГО  
АРХИПЕЛАГА ПО МИКРОФАУНЕ

(Представлено академиком АН Азербайджанской ССР К. А. Ализаде)

Изучение Бакинского архипелага началось со времен Г. В. Абиха (1859—1963 гг.). В дальнейшем геологией архипелага интересовались многочисленные исследователи: К. П. Калицкий (1916), А. И. Андрусов (1923), С. Ф. Зубер (1921—1923 гг.), В. В. Богачев (1926), С. А. Ковалевский (1940), М. Ф. Мирчиник (1939), И. М. Губкин (1935) и др.

Более детальное и планомерное исследование геологии Бакинского архипелага связано с работами Л. В. Пустовалова и М. В. Кленовой (1945—1948), С. М. Апресова (1953), Д. М. Сулейманова (1953), В. С. Мелик-Пашаева, А. Л. Путкарадзе (1950—1953) и др. В работах А. Л. Путкарадзе (1958) приводится схема стратиграфического расчленения Бакинского архипелага. Этим автором отложения апшеронского яруса делятся на три подъяруса (нижний, средний, верхний).

В пределах территории Бакинского архипелага, согласно данным Д. М. Сулейманова и Н. В. Пашалы (1951), апшеронский ярус также подразделяется на три подъяруса. Широкое применение разведочных работ на морских участках Бакинского архипелага, с целью выяснения геологического строения и поисков структур, требовало произвести детальные биостратиграфические исследования.

С 1950 г. ЦНИЛ треста "Азморнефтразведка" систематически занимается детальным изучением микрофaуны апшеронских отложений Бакинского архипелага.

В результате исследования огромного фактического материала из плиоценовых и постплиоценовых отложений разведочных площадей (о. Булла, Лось, Обливной, Погорелая плита, Б. Головачева) удалось выявить богатейшие коллекции микрофaуны как по разнообразию видов, так и по количеству особей, причем главное место среди них принадлежит остракодовой фауне.

Апшеронские отложения Бакинского архипелага имеют широкое развитие, принимают участие в строении всех антиклинальных поднятий и главным образом вскрыты пробуренными скважинами. Ограниченные и неполные выходы на поверхности моря апшеронских отложений известны лишь на юго-западном крыле складки Хамамдаг-море (о. Пеликаны, Бабури и др.) и на обоих крыльях поднятия Дуван-

ный-море (о. Тбилиси), где они выступают в виде незначительных обнажений известняков-ракушняков и ракушняков-песчаников.

Наиболее полные разрезы были вскрыты скважинами, пробуренными на островах Обливной, Головачева, Булла, Лось, Погорелая плита и др. В настоящей статье мы останавливаемся на микрофаунистической характеристике апшеронского яруса вышеуказанных площадей Бакинского архипелага. Анализ вертикального распространения остракод и сопоставление их с таковыми сопредельной области Апшеронского полуострова, дали нам возможность выделить среди них три комплекса, на основании которых мы получили возможность подразделить апшеронские отложения на три подъяруса: нижний, средний, верхний.

Нижний подъярус выражен глинами, серыми, слоистыми, иногда песчанистыми с тонкими прослойками песков и коричневато-бурых глин. Характерной ассоциацией остракод: *Caspiocyparis candida* (Liv.), *C. lyrata* (Liv.), *Casiolla gracilis* (Liv.), *Leptocythere andrussovi* (Liv.), *L. saljanica* (Liv.), *L. oforta* (Liv.), *L. propinqua* (Liv.), *L. verricousa* Suzin; *Loxoconcha eichwaldii tuberculata* Liv., *Tracheleberis azerbaidjanica* (Liv.).

Средний подъярус литологически представлен глинами, серыми, плотными, слоистыми с прослойками песков и фауной остракод: *Caspiocyparis candida* (Liv.), *C. sinistrolyrata* (Liv.), *Casiolla livliventalina* (Ev.), *C. acronasuta* (Liv.), *Leptocythere camelli* (Liv.), *L. bendovanica* (Liv.), *L. fragilis* (Liv.), *L. multituberculata* (Liv.), *Xestoleberis chanackovi* Liv.

Верхний подъярус литологически охарактеризован глинами, песчанистыми глинами с представителями следующих остракод: *Caspiocyparis candida* (Liv.), *C. rotulata* (Liv.), *C. filosa* (Liv.), *Candonia angulata* Muller, *Leptocythere martha* (Liv.), *L. tipica* (Liv.), *L. multitudinaria* (Liv.).

Верхний контакт изученных отложений с таковыми Бакинского яруса также отбивается на основании микрофaуны. Бакинский ярус исследуемых площадей литологически выражен глинами, серыми, песчанистыми, иногда слоистыми прослойками зеленовато-серых глин с включением сажистого вещества с тонкими прослойками песков с фауной остракод: *Caspiocyparis caramella* Liv., *Casiolla acronasuta* Liv., *Bacuniella dorsoarcuata* Zal., *Candonia albicans* Br., *Leptocythere turquianica* Asl., *L. adulata* (Liv.), *L. quinquetuberculata* Liv., *L. caspia* (Liv.), *Eucypris membrana* Liv., *Loxoconcha birdia* Liv., *L. impressa* (Liv.), *L. gibboida* Liv.

В изученных нами разрезах апшеронский ярус с подстилающим отложением акчагыльского яруса связан постепенным переходом, что также очень заметно в характере фауны, где вместе с появлением апшеронских видов, продолжают свое существование и формы акчагыльского бассейна, к таким можно отнести: *Casiolla gracilis* Liv., *Loxoconcha eichwaldii tuberculata* Liv., *Leptocythe bicornis* (Liv.).

Акчагыльский ярус представлен глинами, темно-серыми, плотными, слоистыми с тонкими прослойками песков и вулканического пепла. Эти отложения охарактеризованы следующим комплексом остракод: *Candonia gracilis* (Liv.), *Casiolla subdecurvis* (Liv.), *Leptocythere andrussovi* (Liv.), *L. picturata* (Liv.), *L. verricousa* Suzin, *Loxoconcha laevata* Liv., *L. eichwaldii tuberculata* (Liv.), *Limnocythere luculenta* Liv.

Из фораминифер: *Cassidulina crassa* d'Orb., *Bolivina* sp. из водоросли: *Ovulites renata* Linné.

Отложения апшеронского яруса Бакинского архипелага хорошо сопоставляются с таковыми Апшеронского полуострова и Прикурин-

ской низменности по комплексу микрофауны. Выделенные комплексы характерных видов остракод ашеронского яруса по изученным площадям имеют большое практическое значение в дробном биостратиграфическом расчленении данных отложений.

## ЛИТЕРАТУРА

1. Агаларова Д. А., Кадырова З. К., Кулиева С. А. Остракоды плиоцен- и постплиоценовых отложений Азербайджана. Азериспир, 1961.
2. Ализаде К. А. Отдельные вопросы биономии Ашеронского бассейна, 1945.
3. Кулиева Х. М. Плиоценовые и постплиоценовые отложения Азербайджана (Ашеронский ярус, разрез Гездекское плато). АН Азерб. ССР, 1957.
4. Ливенталь В. А. Остракоды акач-гильского и ашеронского ярусов по Бабазанскому разрезу. Изд. АГИ, 1929.
5. Путкардзе А. Л. Бакинский архипелаг. Азериспир, 1958.

Институт геологии

С. А. Гулиева

Поступило 24.VIII 1967.

## Микрофауна ясасын Бакы архипелағындакы Ашерон лај дәстәсінин стратиграфијасы

### ХУЛАСЭ

Бакы архипелағындакы Ашерон чөкүнтуләринин дәғиг стратиграфик схемини тәртиб етмәк үчүн һәмин чөкүнтуләрдә тапылан зәнкін остракода галыглары тәдгиг едиләрәк, онлара ясасын һәмин чөкүнтуләри үч јарыммәртәбә бөлмүшшүр.

Үст јарыммәртәбә боз килләр вә килли гумдашылары илә ашағыда көстәрилән остракода нөвләри илә сәчијәләнир: *Caspiocypris candida* (Liv.), *C. rotulata* (Liv.), *C. filosa* (Liv.), *Candonia angulata* Müller, *Leptocythere martha* (Liv.), *L. tipica* (Liv.), *L. multitudinaria* (Liv.).

Орта јарыммәртәбә сәрт, боз килләр, гумлу килләрдән ибәрәт олуб, *Caspiocypris candida* (Liv.), *C. sinistrolyrata* (Liv.), *Caspiolla livenstalina* (Evl), *Cacronasuta* (Liv.), *Leptocythere camelli* (Liv.), *L. benthonica* (Liv.), *L. fragilis* (Liv.), *L. multitudinaria* (Liv.), *xestoleberis chanackovi* формалары илә характеризә олунур.

Алт јарыммәртәбә боз вә гәһвәji-гонур рәңкли, лајлы килләр, ба'зән назик гум тәбәгәләри илә лајланыр. Бурада тапылан остракодлар ашағыдақылардыр: *Caspiocypris caudata* (Liv.), *C. lyrata* (Liv.), *Caspiolla gracilis* (Liv.), *Leptocythere andrussovi* (Liv.), *L. salinica* (Liv.), *L. oforta* (Liv.), *L. prasinata* (Liv.), *L. verriculosa* Suzin, *Loxocouche eichwaldii* tuberculata (Liv.), *Tracheleberis azerbaijanica* (Liv.).

Мүәллиф гејд едир ки, Бакы архипелағы Ашерон чөкүнтуләринин микрофаунасы Ашерон јарымадасы вә Күргабағы дүзәнлијин Ашерон чөкүнтуләринин микрофаунасына уйғын көлир. Дикәр тәрәфдән, аյрылыш характер остракод комплексинин Бакы архипелағы Ашерон чөкүнтуләринин дәғиг биостратиграфик бөлкүсүндә бөյүк әһәмијәти вардыр.

АЗӘРБАЙЧАН ССР ЕЛМЛӘР АКАДЕМИЯСЫНЫН МӘРҮЗӘЛӘРИ

ДОКЛАДЫ АКАДЕМИИ НАУК АЗЕРБАЙДЖАНСКОЙ ССР

ЧИЛД XXIV

№ 8

1968

## МИНЕРАЛОКИЈА

Б. Ч. ӘЛӘСКӘРОВ

## ШӘМКИРЧАЈ ҺӨВЗӘСИНДӘ АНТРОПОКЕН ЧӨКҮНТҮЛӘРИНИН МИНЕРАЛОЖИ ТӘРКИБИНИН ИГЛИМ ШӘРАИТИНДӘН АСЫЛЫЛЫҒЫ

(Азәрбајҹан ССР ЕА академики М. Ә. Гашгај тәгдим етмишадир)

Кеолокијанын башга саһәләри кими, халг тәсәррүфатынын мұхтәлиф саһәләри үчүн әһәмијәтли олан Антropoken чөкүнтуләринин ејрәнилмәси ән башлыча мәсәләләрдән биридир.

Антropoken чөкүнтуләрини тәдгиг едәркән бир сыра методларла (палеонтологи, литологи, қеоморфологи, археологи) йанаши, кечмишдә иглим шәраитинин дәжишмәсін мүәјжән етмәк үчүн минераложи, спор вә тозчуглара әсасланан методлар да тәтбиғ едилир.

Һазырда гранулометрик вә минераложи анализләре әсасын иглим шәраитинин тә'јин едилмәси мүрәккәб мәсәләләрдән биридир. Бу методда Л. В. Зорин [2], Т. Д. Бојарски, А. Н. Варушшенко, Н. И. Глушанков, Л. В. Зорин, У. И. Мешков, Н. Г. Судаков [1], ССРИ-нин Авропа һиссәсиндә Н. В. Ренкартен, Н. А. Константинова [3] вә башгалары мәшгүл олмушлар.

Азәрбајчанда континентал чөкүнтуләри минераложи вә гранулометрик анализләре әсасын тәдгиги, демәк олар ки, илк адымдыр. Бу методун даһа аjdын анлашылмасы үчүн Шәмкирчай һөвзәсінин коррелатив чөкүнтуләринин тәһлилини нәзәрдән кечирәк.

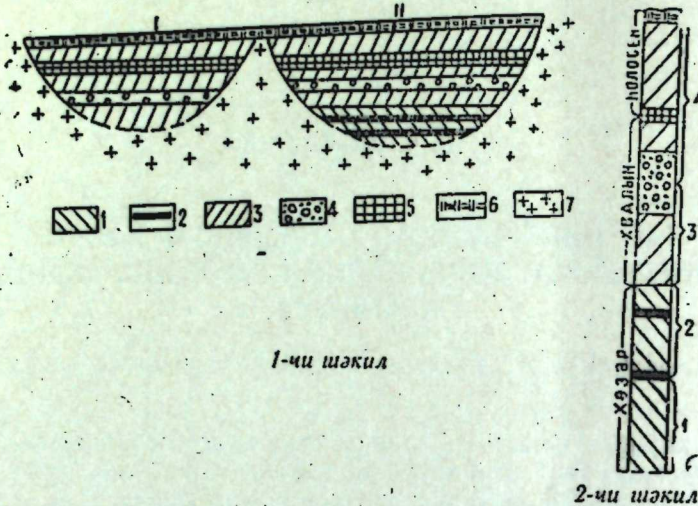
Һөвзәдә коррелатив (овулмуш) Антropoken чөкүнтуләринин нисбәтән кениш яјылдығы саһәләрдән Рүстәм Элиев кәndi әтрафындағы чөкәклиji көстәрмәк олар. Бу чөкәклик Шаһдағ (Кичик Гафгаз) сил-силәсинин шимал-шәрг йамачында (Кәдәбәj гәсәбәсінин 7—8 км гәрбидә) յерләшәрәк мүрәккәб қеоложи гурулуша маликдир.

Чөкәклик релејеф формасына вә чөкүнтуләрин яјылма хүсусијәтләrinә көрә ики һиссәjә айрылыр. Чөкүнтуләр бу һиссәләрдә Юратабашир сүхурларынын јујулмуш сәттәләри үзәринде яјылмышдыр (1-чи шәкил). Бурада чөкүнтуләр минераложи тәркибләринә көрә ашыдан јухары дөрд гата айрылыр:

1. Ачыг боз рәңкли кил гатында ашынмаја давамлы минераллардан (8 кәсилишдә) магнетит-илменит (11,5%), сиркон (1,7%), гранат (0,4%), турмалин (1,8%) вә рутил (0,7%) аз яјылмышдыр. Ашынмаја давамлы минераллардан пироксен (40,9%), епидот (3,4%), базалтик

норибленд (8,7%), биотит (3,9%) вэ барит (3,4%) давамлы минераллара нисбэтэн даха чох јајылмышдыр (чэдвэл).

Төрэмэ минераллардан лимонит (0,7%), хлорит (0,3%), лејкоксен (0,3%), лимонитлэшмиш вэ дэйшилмиш минераллар аз давамлы минераллара нисбэтэн азлыг тэшкүл едир. Бу гат дахилиндэ кипс минералы вэ һэмчинин карбонатлыг мушаңидэ едилмир. Биринчи гат дахилиндэ јајылмыш сэпинти минерал дэнэлэри јахши һамарланыш јуварлаг шэклэ салынышдыр.



1-киллэр; 2—вулкан күлү тэбэгэси; 3—гумлу киллэр; 4—чагылдашылар; 5—басдырылмыш торпаг гаты; 6—мұасир торпаг өртүү; 7—ана сүхурлар.

Белэликлэ, биринчи гатын үмүми минераложи тэһилинндэн (чэдвэл) айдын олур ки, бу гаты тэшкүл едэн чекүнтулэр эмэлэ кэлэркэн сојуг континентал иглим һөкм сүрмүш вэ буунула элагэдэр олар, чекмэ просеси сакит шэрэйтдэ кетмишдир.

Гэjd етмэл лазымдыр ки, биринчи вэ икинчи гатлар арасында мушаңидэ едилэн вулкан күлү тэбэгэсийнин (0,2—0,3 м) минераложи тэрикби магнетит-илменит, турмалин, сиркон, пироксен, норибленд, барит, биотит, лимонит, лејкоксен вэ дэйшилмиш минераллардан ибэртдир.

2. Сарымтыл-боз рэнкли киллэрдэн ибарэт олуб, минераложи тэрикби дэйшишмэснэ кэрэ биринчидэн икинчи тэдричи характер дашишыр. Лакин гатлар арасында бир сырьа фэрглэр нэзэрэ чарпыр. Бурада ашынмаја давамлы минераллардан (4 кэсилишдэ) магнетит-илменит (17,1%), гранат (4,5%), рутил (2,5%), сиркон (2,7%), турмалин (2,7%), төрэмэ минераллардан лимонит (4,3%), хлорит (3,6%), лејкоксен (2,8%), лимонитлэшмиш вэ дэйшилмиш минераллар биринчи гата нисбэтэн чохлуг тэшкүл едир.

Бу гатда ашынмаја аз давамлы минераллардан пироксен (26,3%), норибленд (6,7%), базалтик норибленд (4,3%), епидот (4,7%), биотит (2,4%) вэ барит (2,0%) давамлы минераллара нисбэтэн азлыг тэшкүл едир.

Нээмчинин тэк-тэк нүүнэллэрдэ кипс вэ ажры-ажры дэнэлэр шэклиндэ аз мигдарда глаукофон минералы мушаңидэ едилтир. Бу гатда аз һамарланыш шэкилдэ мушаңидэ едилтир. Бурада мухтэлиф минералларын јајылма мүнасибэтлэриндэн көрүнүр ки, сојуг континентал

иглим тэдричэн сојуг рүтүбэтийг иглим илэ өвэз олунмуш вэ буна кэрэ дэ чекмэ просеси нисбэтэн кэскин шэрэйтдэ кетмишдир.

Икинчи гат дахилиндэ (3 кэсилишдэ) мушаңидэ едилэн вулкан күлү тэбэгэс (2-чи тэбэгэ) минераложи вэ һэмчинин литоложи тэрикби чэ биринчи тэбэгэдэн фэрглэнир. Бурада магнетит-илменит, турмалин, сиркон, рутил, пироксен, норибленд, биотит, лимонит, лејкоксен, хлорит вэ дэйшилмиш минералларын фазы бир гэдэр чохалыр.

Кэстэрилэн эрази дахилиндэ јајылмыш вулкан күлү һаггында даха кениш мэлумат кэлэчэк эсэрлэрдэ верилэчээдир.

#### Чэдвэл

Антропокен чекүнтулэр	Орта минераложи тэрикб. %-лэ															
	терэмэ минераллар			ашынмаја давамлы минераллар			ашынмаја аз давамлы минераллар									
Сүхүруп ады	лејкоксен	лимонит	лимонитлэшмиш минераллар	хлорит	дахишилмиш минераллар	магнетит-илменит	сиркон	гранат	рутил	турмалин	пироксен	епидот	базалтик норибленд	биотит	барит	
	0,30	0,7	0,8	0,2	2,3	11,5	1,7	0,4	0,7	1,8	40,9	8,4	13,7	7,7	3,9	3,4
Кил	Умуми %-и		4,0				16,1					78,0				
Кил	2,8	4,3	6,1	3,6	5,0	13,1	2,7	4,5	2,5	2,7	26,3	4,7	6,7	4,6	2,4	2,0
Умуми %-и	21,8					29,3					46,7					
Гумлу кил	4,9	2,0	11,5	5,1	12,1	20,1	4,3	6,1	3,2	3,4	7,9	1,5	2,1	—	1,3	0,8
Умуми %-и	45,6					37,1					13,6					
Килли гум	3,2	7,1	8,3	2,7	8,7	13,9	2,0	3,8	2,1	2,5	19,1	4,0	6,7	3,5	3,1	1,6
Умуми %-и	30,0					24,3					38,1					

гурву, соју континентал иглим

сојуг рүтүбэтийг иглим

исти рүтүбэтийг иглим

нисбэтэн сојуг рүтүбэтийг иглим

3. Дахилиндэ чагылдаши линзалары мушаңидэ едилэн, бозумтулсыры рэнкли гумлу киллэрдэн ибарэт олуб, литоложи вэ минераложи тэрикби икинчи гатдан кэскин фэрглэнир.

Бурада ашынмаја давамлы олан магнетит-илменит (20,1%), гранат (6,1%), рутил (3,2%), турмалин (3,4%) вэ сиркон (4,3%) минераллары (4 кэсилишдэ) чох, ашынмаја аз давамлы пироксен (7,9%), норибленд (2,1%), епидот (1,5%), биотит (1,3%) вэ барит (1,3%) давамлы минераллара нисбэтэн аз јајылмышдыр. Лакин төрэмэ минераллар (лимонит—12,0%, хлорит—5,1%, лејкоксен—4,8%, лимонитлэшмиш вэ дэйшилмиш минераллар) вэ кипс (2,8%) икинчи гата нисбэтэн даха чохлуг тэшкүл едир.

Үчүнчү гат дахилиндэ ашынмаја давамлы, төрэмэ вэ дэйшилмиш минералларын башга гатлара нисбэтэн даха чох јајылмасы мунасибэтлэриндэн көрүнүр ки, бу заман исти рүтүбэтийг иглим һөкм сүрмүш вэ буна кэрэ дэ һэммин гаты тэшкүл едэн чекүнтулэр даха иридэнили материаллардан тэшкүл олунмушдур.

4. Бу гат кэсилиишэн эн үст һиссэси олуб, дахилиндэ басдырылыш торпаг гаты (0,5 м) мушаңидэ едилэн тутгун боз рэнкли килли гум чекүнтулэриндэн ибарэтдир. Һэммин гат илэ үчүнчү гат арасында

2,0 м галынлыгда чагылдашы лајы јерләшишdir. Бурадан көрүнүр ки, иглим даһа рүтубәтли вә исти олдуғуна көрә чөкмә просеси чох шиддәтли кетмиш, бу просес чөкүнтуләрин минераложи вә литологи тәркибләринин дәјишилмәсindә өз эксини тапмышдыр.

Дөрдүнчү гатда (7 кәсилишдә) ашынмаја давамлы олан магнетит-илменит (18,9%), гранат (3,8%), рутил (2,1%), түрмалин (2,5%) минералларының фаизи јенидән азалыр вә ашынмаја аз давамлы минераллардан пироксен (18,2%), һорнбленд (6,3%), базалтик һорнбленд (3,5%), епидот (4,0%), биотит (3,1%), барит (1,6%) исә чохалыр. Төрәмә минераллар (хлорит, лимонит, лејоксен, лимонитләшмиш вә дәјишилмиш минераллар) вә кипс үчүнчү гата нисбәтән јенидән азалмага башлајыр. Бурада минерал дәнәләри бир гәдәр аз һамарлашыш шәкилдә мүшәнидә едилir.

Беләликлә, минераложи тәһлилдән айдын олур ки, дөрдүнчү гаты тәшкىл едән чөкүнтуләр әмәлә кәләркән сојуг рүтубәтли иглим һөкм сүрмушдүр.

Дөрдүнчү гаты, өзлүйүндә, иглим шәраитинин дәјишилмәсindә көрүч мәрһәләjә аյырмаг олар. Илк мәрһәләдә сојуг рүтубәтли иглим, орта мәрһәләдә исти рүтубәтли иглим давам етмишdir. Буну басдырылмыш торпагларын тәркибиндә чох мигдарда битки чүрүнтуләринин олмасы вә минераложи анализләр тәсдиг едир. Бурада ашынмаја давамлы вә төрәмә минераллар чохалыр, аз давамлы минераллар исә азалыр. Ахырынчы мәрһәләдә исти рүтубәтли иглим сојуг рүтубәтли иглимлә эвээ олунур ки, бу барәдә дөрдүнчү гатын тәһлилиндә верилмишdir.

Гејд етмәк лазымдыр ки, мүәллиф тәрәфиндән Рустэм Элиев чөкәйинин Антропокен чөкүнтуләри үчүн, минераложи вә гранулометrik анализләр әсасында тәртиб едилмиш иглимин дәјишилмәсini схеми 1961-чи илдә проф. Р. Һ. Султановун Славянка Антропокен чөкүнтуләриндән өтру литологи анализләр әсасында тәртиб етдији иглим шәраитинин дәјишилмәсini уйғун кәлир. Бу да һәр ики саңәдә чөкүнтуләрин бир-биринә уйғун шәраитдә әмәлә кәлмәсi илә изаһ олuna биләр.

Беләликлә, фактики материалларын тәһлилиндән ашағыдақы иәтичәләри чыхармаг олар:

1. Исти рүтубәтли иглим шәраитиндә әмәлә кәлмиш чөкүнтуләрин тәркибиндә ашынмаја давамлы минералларын фаизи чохалыр, ашынмаја аз давамлы минералларын фаизи исә азалыр.

2. Чөкүнтуләр исти вә рүтубәтли иглим шәраитиндә әмәлә кәлдикдә төрәмә минераллар чохалыр, сојуг иглим шәраитиндә исә бүнларын мигдары азалыр.

Көстәрилән кәсилишдә (Рустэм Элиев) 1-чи, 2-чи гатларын Јашы Хәзэр (Р. Һ. Султанов, Б. Җ. Эләскәров, 1967), 3-чу вә/4-чу гатларын алт һиссәси Хвалын, 4-чу гатын үст һиссәси исә һолосен кими тә'јин едилмишdir (2-чи шәкил).

#### ЭДӘБИЙЛАТ

1. Боярская Т. Д., Варущенко А. Н., Глушакова Н. И., Зорин Л. В., Мешкова Ю. И., Судакова Н. Г. Причины и факторы изменчивости условий осадконакопления. Палеография четвертичного периода. Изд.-во МГУ, 1965.
2. Зорин Л. В. Отражение роли климата и возраста в минералогических спектрах аллювия. Бюллетень Комиссии по изучению четвертичного периода. Изд.-во АН СССР, М., 1965.
3. Ренгартен Н. В., Константинова Н. А. Роль фациально-минералогического анализа и реконструкции климата антропогена. Изд.-во "Наука", М., 1965.
4. Султанов Р. Г., Гаджиев М. П. О четвертичных отложениях в между-речье Шамхорчай-Дзегамчай. "Уч. зап. АГУ". серия геол.-географ. наук", 1962, № 1.

5. Султанов Р. Г. К вопросу о древнем оледенении северо-восточного склона Малого Кавказа. Труды Тбилисской научно-исслед. гидрометеоролог. ин-та, вып. 3. Гидрометеиздат, Л., 1961.

#### Чоғрафија институту

Б. Д. Алескеров

#### Минералогический состав антропогенных отложений в бассейне Шамкирчая в зависимости от климата

#### РЕЗЮМЕ

На основе минералогических анализов представляется возможным выделить четыре слоя, отвечающие соответствующим этапам в истории формирования четвертичных отложений в котловане Рустама Алиева.

1-й слой (снизу вверх) светло-серых глин характеризуется пониженным составом устойчивых и вторичных минералов при повышенном количестве малоустойчивых компонентов, что свидетельствует о холодных континентальных климатических условиях в этот период осадконакопления.

2-й слой желтовато-серых глин с минералогическим и литологическим составом при постепенном переходе от 1-го слоя ко 2-му отличается пониженными малоустойчивыми минералами, повышенным количеством устойчивых и вторичных минералов. Названные факторы указывают на холодающий влажный климат в этот период 2-го слоя.

3-й слой серовато-желтых песчанистых глин с прослойками и линзами галечников. В минералогическом отношении отличается от 2-го максимальным содержанием устойчивых и вторичных компонентов при пониженных малоустойчивых минералах. Все это указывает на резкую смену климатических условий в сторону потепления.

4-й слой темно-серых глинистых песчаников с включением гальки и валунов. Обладает пониженным количеством устойчивых и вторичных минералов при увеличении доли малоустойчивых минералов, что свидетельствует о похолодании климата в этот период.

ТЕКТОНИКА

С. А. АЛИ-ЗАДЕ

## ПЛИОЦЕНОВАЯ ИСТОРИЯ ГЕОЛОГИЧЕСКОГО РАЗВИТИЯ КУСАРО-ДИВИЧИНСКОЙ НАЛОЖЕННОЙ МУЛЬДЫ

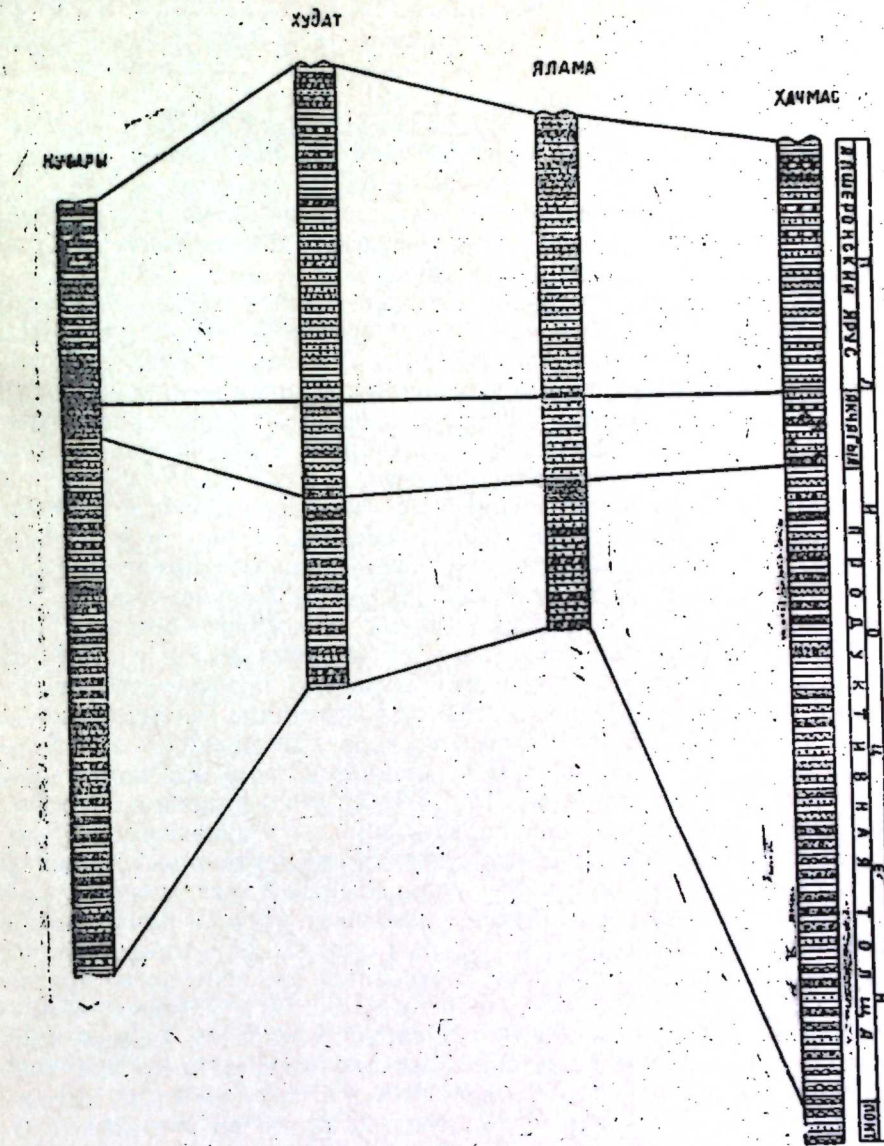
(Представлено академиком АН Азербайджанской ССР А. А. Якубовым)

За последние годы в связи с развитием геологоразведочных работ на нефть и газ в мезозойских отложениях Прикаспийско-Кубинской области получены новые данные, уточняющие существующие представления об истории геологического развития Кусаро-Дивичинской наложенной мульды в плиоценовое время.

Бурение глубоких поисковых скважин на площадях Кусары, Худат, Ялама, Хачмас дало возможность вскрыть разрез плиоценовых отложений на этих площадях и изучить литофауну и мощности осадков (рис. 1).

ОтложенияPontического яруса на площадях Кусары, Худат и Ялама отсутствуют, что доказывает существование в полосе указанных площадей суши, являющейся источником сноса терригенного материала. Только в наиболее погруженной части наложенной мульды, в пределах Хачмасской площади установлено присутствие Pontических отложений, представленных серыми, голубовато-серыми известковистыми глинами с тонкими прослойками мелкозернистого песка. Залегают эти отложения на размытой поверхности сарматских слоев. По материалам предыдущих исследователей [6], залив Pontического моря в Прикаспийско-Кубинской области представлял собой узкую полосу, северная граница которой протягивалась на широте г. Кубы; вся территория севернее этой границы рисовалась в виде суши. Учитывая присутствие Pontических отложений в юго-восточной части Кусаро-Дивичинской наложенной мульды (в районе площади Хачмас), а также наличие этих же отложений в Кайнарджинском предгорном прогибе, можно представить, что залив Pontического моря охватывал значительную юго-восточную часть Кусаро-Дивичинской наложенной мульды. И этот залив широко раскрывался в сторону Pontического моря, имея наиболее суженный участок в районе, заливнее Судура. Дно этого залива неравномерно прогибалось и имело сильно расчлененный рельеф, в связи с чем отмечается резкое изменение условий осадконакопления. Так, мощность Pontических отложений в Кайнарджинском предгорном прогибе превышает 450 м, в то время как в Хачмасской части Кусаро-Дивичинской наложенной

мульды она не превышает 100 м. В прибрежных разрезах залива,Pontические отложения представлены глинами с прослойями известняков и конгломератов, тогда как в направлении на юго-восток разрез Pontических слоев приобретает в основном глинистый характер.



Puc.

В среднеплиоценовое время Кусаро-Дивичинская наложенная мульда представляла собой область аккумуляции мощной толщи терригенных песчано-глинистых и грубообломочных осадков. Ко времени накопления этих осадков в пределах всей Кусаро-Дивичинской наложенной мульды существовало расчлененное дно бассейна, в пределах которого происходило неравномерное накопление осадков. На площади Кусары отложения среднего плиоцена, будучи представлены песчано-глинистыми породами с прослойями галечников и конгломератов, имеют мощность 1100—1200 м. На площади Худат мощ-

ность этих осадков сокращается до 450 м и приобретает в основном глинисто-песчаный характер. В пределах же площади Ялама происходит дальнейшее резкое сокращение мощности осадков до 250 м и в разрезе преобладают глинисто-песчаные разности осадков. А если укажем, что на площади Хачмас мощность среднеплиоценовых отложений достигает 1250 м, то станут ясными те разнообразия условий накопления, которые имели место в Кусаро-Дивичинской наложенной мульде. Эти условия теснейшим образом связаны с геотектонической обстановкой развития мульды в среднеплиоценовое время и на основании анализа имеющихся материалов, нам представляются следующим образом.

В Кусарской зоне отмечается значительное прогибание юго-западной части мульды, что связано с развитием к юго-востоку от Кусаров Кайнарджинского предгорного прогиба.

К северу от Кусаров, в сторону площади Ялама, сокращение мощности осадков связано с тем, что северо-восточная часть Кусаро-Дивичинской наложенной мульды примыкает к склону эпигерценской платформы. Это вызвало субплатформенные условия накопления осадков [3]. Хачмасский участок Кусаро-Дивичинской наложенной мульды в среднеплиоценовое время испытывал резкое прогибание, будучи расположен почти в её центральной части.

Акчагыльская история геологического развития связана с широкой прогрессией, т. е. расширением границ бассейна за счет перетока вод из соседнего Арабо-Каракумского реликта среднего сармата в Балаханский бассейн в акчагыльский век [1]. Акчагыльские воды покрывали всю территорию Кусаро-Дивичинской наложенной мульды. Литофация этих отложений характеризуется разнообразием состава пород — глинистых в центральной части мульды и песчано-глинистых с прослойками конгломератов и известняков в окраинных частях бассейна. За исключением кусарского участка мульды, где мощность акчагыльских отложений не превышает 60 м, мощность акчагыла почти повсеместно колеблется в пределах 150—200 м, что указывает на равномерное прогибание значительной части мульды в акчагыльский век.

С наступлением аштеронского века в геотектонической жизни Кусаро-Дивичинской наложенной мульды происходят значительные изменения. Медленное прогибание, имевшее место в акчагыльский век, сменяется неравномерным и быстрым прогибанием в аштеронское время. Так, например, мощность отложений аштеронского яруса в Кусарах 390 м, в Худате — 670, в Яламе — 550 и в Хачмасе — 440 м. Такое колебание мощности осадков теснейшим образом связано с неравномерным прогибанием дна аштеронского моря в пределах Кусаро-Дивичинской наложенной мульды. Эти же тектонические движения контролировали условия накопления осадков аштеронского периода, литофация которых подвержена сильным изменениям. В Кусарах эти отложения представлены песчано-глинистыми породами с прослойками галечников, конгломератов и брекчий. В Худате, количество грубобломочных осадков несколько сокращается, а в Яламе и Хачмасе они состоят из глинисто-песчаного чередования с редкими прослойками галечников.

Для того, чтобы представить характер колебательных движений в Кусаро-Дивичинской наложенной мульде в плиоценовое время, нами составлен соответствующий график (по А. А. Али-заде) за средневерхнеплиоценовое время (рис. 2). Из данного рисунка видно, что колебательное движение в пределах Кусаро-Дивичинской наложенной мульды имеет волнообразный характер и проявляется весьма сложно и неравномерно, а также, что в среднеплиоценовое время наибольшее

прогибание испытывали Кусарский и Хачмасский участки мульды, тогда как Худат и Яламинский прогибались значительно медленнее, в связи с их субплатформенным характером развития. В акчагыльский век прогибание имело наименьшее значение для всех участков мульды. Вслед за акчагылом, в аштероне сравнительно интенсивному прогибанию подвергается вся территория мульды.

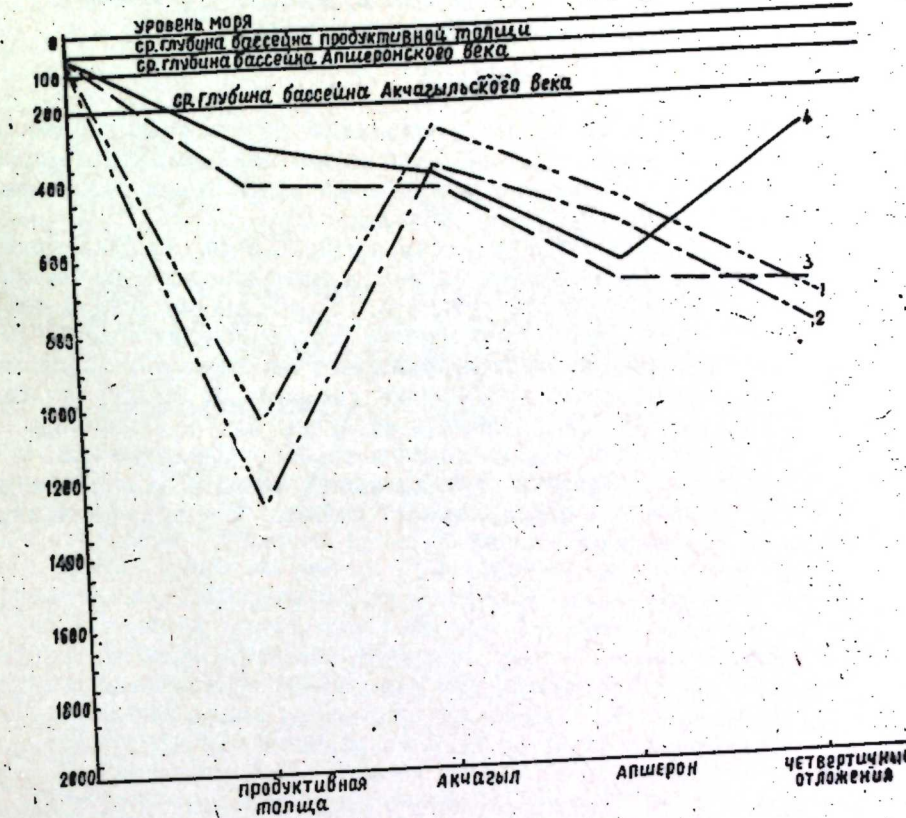


Рис. 2. 1 — Кусары; 2 — Хачмас; 3 — Худат; 4 — Ялама.

О размахе колебательных движений в пределах Прикаспийско-Кубинской области за плиоценовое время, с учетом величины колебательных движений также и за четвертичное время, дают представления следующие факты: залегание понтических слоев на размытой поверхности сармата на высоте 2300 м на склоне г. Шахдаг [2] и вскрытие тех же отложений в скважинах разведочного бурения площади Хачмас на глубине 2650 м.

Таким образом, величина вертикального движения земной коры за указанное время составляет около 5000 м.

В сочетании с этими вертикальными движениями в пределах Прикаспийско-Кубинской области происходило дальнейшее развитие складкообразовательных и разрывных дислокаций.

#### ЛИТЕРАТУРА

1. Али-заде А. А. Акчагыль Туркменистана, т. 1. Госгеолтехиздат, 1961.
2. Али-заде К. А. Понтический ярус. Геология Азербайджана. Изд. АН Азерб. ССР, 1952.
3. Али-заде С. А. Тектоническое районирование Прикаспийско-Кубинской нефтегазоносной области в свете новых данных. АНХ № 3, 1968.
4. Ахмедбейли Ф. С. Геологическая история Кусаро-Дивичинского синклиниория в кайнозое. Изв. АН

С. Э. Элизадэ

Гусар-Дэвэчи үстдэн эмэлэклмэ мулdasынын кеоложи  
инкишафынын плиосен тарихи

ХУЛАСЭ

Мэгалэдэ Гусар-Дэвэчи үстдэн эмэлэклмэ мулdasынын кеоложи инкишафынын тарихи мэсэлэлэри ишыгландырылышдыр. Ејни заманда, Гусар-Дэвэчи үстдэн эмэлэклмэ мулdasынын кеотектоник инкишафы Понт дэврүндэн Абшерона гэдэр өјрэнимшидир.

Хачмаз саһесиндэ Понт чөкүнтүлэри иштиракынын мүэjjэн едилмэси, Хәзәргабагы Губа вилајетинде Понт дәниси һөвзәсинин кенишләнмәси һаггында јени тәсәввүр јарадыр. Гусар-Дэвэчи үстдэн эмэлэклмэ мулdasы шимал-шәрг һиссәсинин епикерсөн платформасы ямачы илә бирләшмәси, субплатформаларда чөкүнтүлэрин җығылма шәрәитиндә мејдана чыхмасы вә Гусарын шималындан Јалама саһесинэ доғру Мәһсүлдар гат галынлыгынын азалмасы илә изаһ едилir.

Ағчакил тарихинин кеоложи инкишафы кениш пергрессија илә, Јәни Ағчакил эсриндэ су һөвзәси сәрһәдләринин кенишләнмәси, гоншу Арал-Гарагум реликтинин Орта Сармат һөвзәси сујунун Балаханы һөвзәсинэ ахмасы илә изаһ едилir.

ГЕОТЕКТОНИКА

Г. С. ШАХСУВАРОВ

О КОЛИЧЕСТВЕННОЙ ХАРАКТЕРИСТИКЕ ПРОГИБАНИЯ  
ДНА И СЕДИМЕНТАЦИИ В БАССЕЙНЕ ПРОДУКТИВНОЙ  
ТОЛЩИ АПШЕРОНСКОЙ ОБЛАСТИ

(Представлено академиком АН Азербайджанской ССР Ш. Ф. Мехтиевым)

Известно, что прогибание дна бассейна продуктивной толщи Апшеронской области превалировало над относительно незначительными тектоническими движениями положительного знака. Это естественно, ибо как-то иначе не могла произойти седimentация продуктивной толщи столь значительной мощности (иногда превышает 3 км).

В настоящей статье нам хотелось бы дать количественную характеристику тектонических движений отрицательного знака по собственной методике, учитывающей предполагаемую максимальную длину, а следовательно и глубину проникновения волн данного бассейна.

Попытаемся определить амплитуды этих движений для времени седimentации каждой свиты.

Для этого мы опираемся на вычисленные [10] и предполагаемые на их базе величины возможных глубин седimentации, а также определенные нами средние истинные мощности всех свит Апшеронского разреза продуктивной толщи. На основании указанных данных можно составить табл. 1.

Если учесть, что глубина проникновения волн не могла превышать в данном случае 40 м [10], то станет очевидным, что „устойчивое“ накопление осадков большинства свит могло иметь место лишь с глубины, превышающей 40 м.

Таким образом, при вычитании указанной величины из глубин седimentаций различных свит рассматриваемого разреза можно установить, что „устойчивая“ седimentация данных свит могла идти до поверхности, расположенной от дна на высоте 10 м для КаС, 0 м для ПК, 10 для КС, 0 для НКП, 20 для НКГ, 0 для свит „перерыва“ и балаханской (ее нижней части)<sup>1</sup>, 10 м для сабунчинской и сурханская свит.

Отсюда ясно, что для определения амплитуды прогибания дна

<sup>1</sup> В данном случае полученная разность имеет отрицательную отметку. (-18 м). что свидетельствует об отсутствии „устойчивой“ седimentации до какой-либо поверхности, расположенной на определенной высоте от дна бассейна.

необходимо из величины средней мощности каждой свиты вычесть приведенные цифры.

Тогда мы получим следующие величины данного параметра для: КаС—126 м, ПК—98, КС—212, НКП—46, НКГ—68, свит "перерыва"—87, балаханской (условно)—415, сабунчинской—328, сурханской—531 м.

Таблица 1

Свита	Вычисленные средние мощности свит, м	Примерные глубины седиментации, м
Сурханская	541	50
Сабунчинская	338	50
Балаханская	415	22 (для нижней части)
Свита "перерыва"	87	22
НКГ	88	60
НКП	46	40
КС	222	50
ПК	98	40
КАС	136	50

Как явствует из приведенного цифрового материала, максимальное прогибание дна имело место во время отложения осадков сурханской, балаханской и сабунчинской свит<sup>2</sup>.

Если учесть, что из 1 мм влажного осадка образуется примерно 0,5—0,6 мм сухого осадка [6], можно вычислить приблизительные величины средних мощностей свит данного разреза и свести их в табл. 2.

Таблица 2

Свита	Вычисленные средние мощности свит, м (с учетом влажности осадков)	Примерные глубины седиментации, м
Сурханская	902	50
Сабунчинская	563	50
Балаханская	692	22 (для нижней части)
Свита "перерыва"	145	22
НКГ	147	60
НКП	77	40
КС	370	50
ПК	163	40
КАС	227	50

Пользуясь описанной выше методикой, можно установить, что "устойчивая" седиментация свит рассматриваемого разреза могла идти до поверхности, расположенной на следующей высоте от дна (для отдельных свит): КаС—10 м, ПК—0, КС—10, НКП—0, НКГ—20, свиты "перерыва"—0, балаханской (ее нижней части)—0, сабунчинской и сурханской свит—10 м. Таким образом, величина прогибания дна составит для: КаС—217 м, ПК—163, КС—360, НКП—77, НКГ—127, свиты "перерыва"—145, балаханской (условно)—692, сабунчинской—553, сурханской—892 м. Иными словами, общая (более реальная) амплитуда прогибания дна данного бассейна будет равна примерно 3226 м.

Для предыдущего случая, не учитывающего меньшую мощность

<sup>2</sup> Из-за ограниченности объема данной статьи здесь не приводятся составленные нами диаграммы прогибания дна.

сухого осадка по сравнению с исходным влажным, данная амплитуда составляет приблизительно 1911 м.

Попытаемся теперь определить среднюю скорость седиментации продуктивной толщи Апшеронской области.

Для этого, как известно, нужно разделить мощность отложений данной толщи на продолжительность периода ее седиментации. Если учесть, что средняя мощность этих осадков (с учетом их влажности) примерно равна 3226 м (округленно 3300 м), время их накопления согласно Н. Н. Форш [3], исчисляется 6 млн. лет, а по данным А. Н. Храмова, Г. Н. Петровой, А. Г. Комарова, В. В. Кочегуры [9], 3 млн. 100 000 лет или в среднем 4,5 млн. лет, станет ясно, что средняя скорость седиментации составляла примерно 0,73 мм в год или 73 см в тысячелетие. Иными словами, этот параметр (если опираться на данные В. Н. Сакса, дополненные Н. М. Страховым [6]) был несколько больше скорости образования влажных осадков Калифорнийского залива—60, центральной части южной котловины Каспийского моря—45—60 и несколько уступал скорости седиментации у Молукских островов—85 и в фьорде Драммен (Норвегия)—81—93 см (за 1000 лет).

Если же оперировать средней мощностью отложений продуктивной толщи Апшеронской области (без учета влажности осадков), т. е. примерно 1971 м (округленно 2000 м), то можно установить, что скорость седиментации составляла 0,44 мм в год, или 44 см за 1000 лет, т. е. (если использовать данные В. Е. Хайна [8]) она превышала таковую при седиментации среднего и верхнего миоцена 5,0—30,0 см, нижней юры Кавказа—3,0—24,0, карбона Донецкого бассейна—28,0—32,0, неогена Центральной и Южной Суматры—20, эоцен-плиоцена Юго-восточного Борнео—21,4 см (за 1000 лет) и т. д.

При сопоставлении вычисленной нами скорости седиментации с данными В. Н. Сакса, дополненными Н. М. Страховым [6], выясняется, что величина указанного параметра превышала скорость образования сухого осадка у Молукских островов—28, в фьорде Драммен (Норвегия)—27—31, в северной части Каспийского моря—30, в западной части Южной котловины последнего—30 см (за 1000 лет) и т. д.

Такова в общем количественная характеристика прогибания дна и осадконакопления в бассейне продуктивной толщи Апшеронской области.

Нет сомнения, что получение новых обоснованных фактических данных, а также дальнейшее совершенствование методики палеогеографических исследований, позволит со временем более тщательно разработать эту сложную и интересную проблему.

#### ЛИТЕРАТУРА

- Агаджев М. Г. Геологическое строение нефтяных месторождений Азербайджана и их формирование. Азернефт, 1962.
- Ализаде А. А. Палеогеография бассейна балаханского яруса. АЗИНТИ, 1960.
- Геодекян А. А., Денисович В. В., Аицферов А. И., Борщевский Г. А., Викторов Д. Н., Николаев В. А., Строганов В. А., Улизло В. М., Ушко К. А. Геологическое строение и нефтегазоносность Прибалханской зоны поднятий. Изд. АН СССР, М., 1960.
- Мехтиев Ш. Ф. Вопросы происхождения нефти и формирования нефтяных залежей Азербайджана. Изд. АН Азерб. ССР, Баку, 1956.
- Мустафаев И. С. Литотерапия и палеогеография среднеплиоценовых нефтегазоносных отложений Каспийской впадины. Азернефт, 1963.
- Страхов Н. М. Основы теории литогенеза, т. I. Изд. АН СССР, 1960.
- Султанов А. Д., Горин В. А. Продуктивная толща западного борта Южно-Каспийской впадины. Азернефт, 1963.
- Хайн В. Е. Геотектоническое развитие Юго-восточного Кавказа. Азнефтэиздат, 1950.
- Храмов А. Н.

Петров Г. Н., Комаров А. Г., Коцегура В. Н. Методика палеомагнитных исследований. Гостоптехиздат, 1960. 10. Шахсуваров Т. С. О рельфе дна и глубинах бассейна продуктивной толщи Апперонской нефтегазоносной области. Уч. зап. АГУ им. С. М. Кирова, серия геолого-географ., № 3, 1964.

АГУ им. С. М. Кирова

Поступило 19. XII 1966

Т. С. Шаһсуваров

Абшерон вилајётинин мәңсүлдар гат. нөвзәси дүбинин әйилмәси -  
вә седиментасијасының кәмијјәт сәчијјәси нағында

ХҮЛАСЭ

Мәгаләдә мүәллифин тәклиф етдиң үсул әсасында Абшерон ви-  
лајәттинин мәһисулдар гат һөвзәси дигинин әјилмә амплитудлары тә-  
җин едилмишdir. Һәмми үсулда далғаларын узуилуғу вә мүәjjән дә-  
ринлијә олан тә'сири нәзәрдә тутулмуш, бунун әсасында да „сабит“  
седиментасија сәвијјәси мүәjjән едилмишdir. Нәһајәт, Абшерон вила-  
јәттинин мәһисулдар гат һөвзәси дигинин әјилмә амплитудлары һесаб-  
ланышдыр. Чөкүнтүләрин нәмлиji нәзәрә алышыгда мә'лум олмуш-  
дур ки, һәмми амплитуд тәгрибән 3300 м-э бәрабәрdir.

Мэхсулдар гатын мөвчүд кэсслишинин эмэлэ кэлмэсү үчүн зэрури олан эжилмэ амплитуду исэ 2000 м-дэн артыг деийлдир. Бунунаа бэрбэр, ejни заманда, hэмийн гатын седиментасија сүр'ети дэ hесаблан-мышьльд.

Бизчэ, нэмийн параметр нэм чөкүнгүүлээрдэн өтгүй илдэ 0,73  $\text{мм}$  олдууваа наалда, гурву чөкүнгүүлээр учун 0,44  $\text{мм}$ -и тэшкил едир.

Нэгийн рэгэмлэр бир сырьа мүасир вэ гэдим нөвзэлээрдэ кедэн сегментација просессийн сур'ети илэ мүгајисэ едилмишдир.

АЗЭРБАЙЧАН ССР ЕЛМЛЭР АКАДЕМИЯСЫНЫН МЭ'РУЗЭЛЭРИ

## ДОКЛАДЫ АКАДЕМИИ НАУК АЗЕРБАЙДЖАНСКОЙ ССР

TOM XXIV

№ 8

1968

ПАЛЕОНОТОЛОГИЯ

Р. А. АЛИЕВ

## АУЦЕЛЛИНЫ АПТСКИХ ОТЛОЖЕНИЙ ЮГО-ВОСТОЧНОГО КАВКАЗА

(Представлено академиком АН Азербайджанской ССР А. Д. Султановым)

Нижнемеловые отложения Юго-Восточного Кавказа содержат богатую фауну ауцеллии. Эти ископаемые характеризуют собой верхнюю часть разреза данных отложений. Особенно много их встречается в верхнем альбе. Это обстоятельство позволило в свое время Н. Б. Васкоевичу [3] выделить в данных отложениях так называемый "ауцеллиновый горизонт". Здесь встречаются: *Aucellina anthulai* Pavl., *A. aptiensis* Orb., *A. gryphaeoides* Sow., *A. nassibianzi* Sok., *A. parva* Sok., *A. pavlowi* Sok., *A. pompeckji* Pavl., *A. renngarteni* Sok. [6].

В среднем альбе Ю-В Кавказа ауцеллины пока не найдены, а в нижнем подъярусе альба они встречаются очень редко (*Aucellina aptiensis* Orb.) [6].

В последнее время ауцеллины выявлены и в отложениях верхнего апта [1, 5], где встречаются также в большом количестве и образуют целый фаунистический горизонт. Здесь встречены: *Aucellina anthulai* Payl., *A. aptiensis* Orb. и *A. caucasica* Bisch.

Это обстоятельство позволяет считать, что в разрезе нижнего мела Юго-Восточного Кавказа мы имеем два горизонта с ауцеллинами, приуроченных к двум различным подъярусам. В связи с этим, естественно, термин „ауцеллиновый горизонт“, предложенный Н. Б. Васкоевичем, утрачивает свое прямое назначение и от него следует в дальнейшем отказаться.

Ауцеллины в разрезах нижнего мела Юго-Восточного Кавказа довольно часто встречаются ассоциациями нескольких видов и с учетом стратиграфических данных могут достаточно уверенно устанавливать возраст отложений.

В настоящей статье приводится описание ауцеллии, найденных автором в аптских отложениях г. Шахдаг и верхнеаптских отложениях р. Атчай.

Тип *MOLLUSCA*

Класс *BIVALVIA*

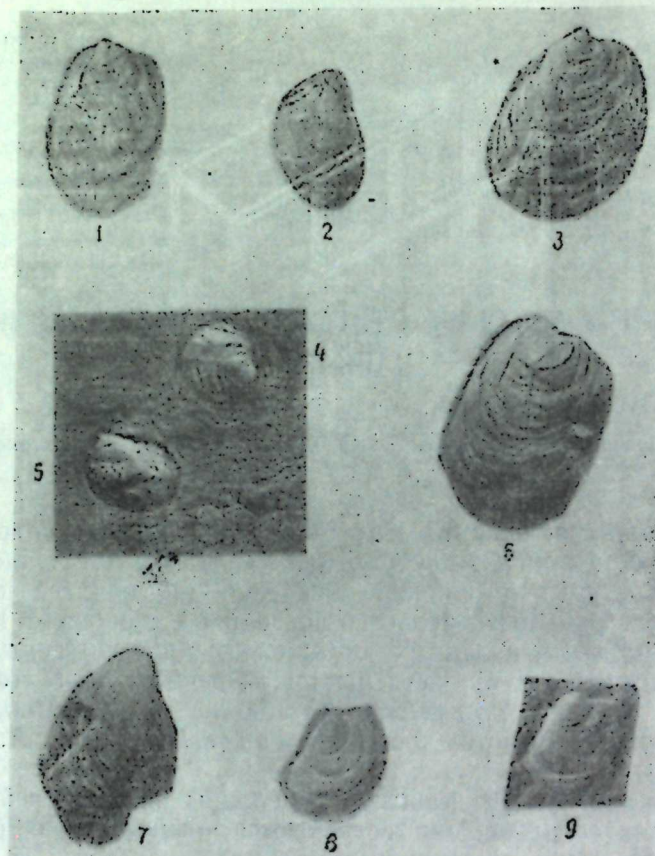
Отряд *ANISOMYARIA*

Сем. *AUCEXLIDAE FISCHER*

Род *Aucellina* Романеск 1911

*Aucellina aptiensis* Orb.

Таблица, рис. 4, 8.



1. *Aucellina anthulai* Pavl. (XI) — правая створка, р. Атчай, верхний апт.
2. *Aucellina anthulai* Pavl. (x1) — левая створка, р. Атчай, верхний апт.
3. *Aucellina caucasica* Busch (x1) — правая створка, р. Атчай, верхний апт.
4. *Aucellina aptiensis* Orb. (x2) — правая створка, р. Атчай, верхний апт.
5. *Aucellina caucasica* Busch (x2) — левая створка, р. Атчай, верхний апт.
6. *Aucellina anthulai* Pavl. (x1) — правая створка, р. Атчай, верхний апт.
7. *Aucellina caucasica* Busch (x3) — левая створка, г. Шахдаг, апт.
8. *Aucellina aptiensis* Orb. (x3) — правая створка, г. Шахдаг, апт.
9. *Aucellina caucasica* Busch (x2) — правая створка, г. Шахдаг, апт.

1960. *Aucellina aptiensis* Муромцева и Янин. В атласе нижнемеловой фауны Сев. Кавказа и Крыма, стр. 180, табл. III, фиг. 7, 8 (синонимика).

Голотип происходит из Ю-В Франции; апт.

Описание. Раковина маленькая, почти равносторонняя, овально-округлого очертания, с коротким замочным краем, образующим с задним краем угол около 50°. Правая створка почти плоская; почти округлая, имеет не выдающуюся смешенную назад макушку и глубокий биссусный вырез. Скульптура состоит из резких концентрических линий нарастания и тонких радиальных штрихов.

Размеры:  $D = 5,5 \dots 4,7 \text{ мм}$

$W = 5,2 \dots 4,0 \text{ мм}$

$W:D = 0,95 \dots 0,85$

Сравнение. К данному виду наиболее близка *A. nassibianzi* Sok. (4, стр. IV, фиг. 8), которая отличается от нее большей неравносторонностью и менее округлой формой раковины, а также меньшим углом между замочным и задним краями.

Местонахождение. г. Шахдаг; апт. р. Атчай; в. апт.

Геологическое и географическое распространение. Верхний апт и нижний альб Сев. Кавказа, Мангышлака, Копет-Дага. Апт и альб Грузии, Ю-В Франции, Сев. Европы.

Материал. Один внутренний отпечаток правой и левой створок.

*Aucellina caucasica* Busch

Таблица, рис. 3, 5, 7, 9

1960. *Aucellina caucasica* Муромцева и Янин. В атласе нижнемеловой фауны Сев. Кавказа и Крыма, стр. 180, табл. III, фиг. 9, 10, 11 (синонимика).

Голотип происходит из Сев. Кавказа; в. апт и нижний альб.

Описание. Раковина маленькая и средних размеров, слегка неравносторонняя, удлиненно-овальная с расширенной задней частью и коротким прямым замочным краем. Правая створка овально-округлая, слабо выпуклая. Левая створка выпуклая. Наибольшая выпуклость расположена в ее примакушечной части. По направлению к задне-нижнему углу створка сглаживается и уплощается. Макушка маленькая, сильно выдающаяся, загнутая внутрь и несколько назад.

Скульптура состоит из широких и резких концентрических линий нарастания и тонких радиальных штрихов.

Размеры:  $D = 25 \dots 6 \dots 8,5 \dots 7 \text{ мм}$

$W = 18 \dots 4,5 \dots 6,0 \dots 5 \text{ мм}$

$W:D = 0,72 \dots 0,75 \dots 0,70 \dots 0,71$

Сравнение. На описанный вид очень похожа *A. anthulai* Pavl. (9, стр. 88, табл. VI, фиг. 24) выпуклостью створок и их скульптурой, но отличающаяся более узкой раковиной, скошенным передним краем правой створки и более выпрямленной макушкой.

Экземпляры с расширенной во взрослом состоянии задней частью раковины приближаются к *A. stuckenbergi* Pavl. (9, стр. 88, табл. VI, фиг. 21).

Местонахождение. г. Шахдаг; апт. р. Атчай; верхний апт.

Геологическое и географическое распространение. Верхний апт и нижний альб Кавказа, Мангышлака, Копет-Дага, Таджикской депрессии. Нижний альб Швейцарии.

Материал. Два внутренних отпечатка левой и девять — правой створок.

*Aucellina anthulai* Pavl.

Таблица, рис. 1, 2, 6

1948. *Aucellina anthulai* Эристави. Среднемеловые ауцеллины Грузии, стр. 105, рис. 5—6 (синонимика).

Голотип происходит из Сев. Кавказа; верхний апт и нижний альб.

**Описание.** Раковина сильно неравносторонняя, довольно узкая, расширенная к заднему краю и суженная к переднему. Макушка маленькая, почти прямая. Левая створка сильно выпуклая, с вздутой макушечной частью. Правая створка слабо выпуклая, имеет склоненный передний край и почти прямую макушку.

Скульптура состоит из концентрических линий нарастания и радиальных штрихов.

Размеры:  $D = 23 \dots 17 \dots 26$  мм  
 $W = 15 \dots 12 \dots 19$  мм  
 $W:D = 0,65 \dots 0,70 \dots 0,70$

**Сравнение.** Описанная форма весьма близка к *A. caucasicus* Buch (8, стр. 31, табл. II, фиг. 1), сравнение с которой приведено при описании этого вида.

От *A. rotresekii* Pavl. (9, стр. 88, табл. VI, фиг. 25—27) описанный вид отличается более вздутой левой створкой, более расширенной в задней части раковиной и менее загнутой макушкой.

**Местонахождение.** р. Атчай: верхний апт.

**Геологическое и географическое распространение.** Верхний апт и нижний альб Сев. Кавказа, Мангышлака, Грузии.

**Материал.** Пять внутренних ядер правой створки и шесть внутренних ядер левой створки.

#### ЛИТЕРАТУРА

- Алиев Р. А., Алиев Х. Ш., Порошина Л. А. О присутствии зоны *Epi-cheloniceras subnodosocostatum* на Юго-Восточном Кавказе. ДАН Азерб. ССР\*, т. XX, № 8, 1964.
- Атлас нижнемеловой фауны Северного Кавказа и Крыма, 1960.
- Вассоевич Н. Б. О присутствии альбских отложений в Северо-Восточном Азербайджане. ДАН Азерб. ССР\*, т. XXII, № 8, 1938.
- Соколов Д. Н. Ауцеллы и ауцеллины с Мангышлака. Труды Геол. Музея им. Петра Великого, т. II, вып. 4, 1908.
- Халил В. Е. Разрез и фауна мезозоя юго-восточного Кавказа по данным новейших исследований. Труды Ин-та геологии АН Азерб. ССР, т. XIII, 1947.
- Халилов А. Г. Stratigraphia нижнемеловых отложений юго-восточного окончания Большого Кавказа, 1965.
- Эристави М. С. Среднемеловые ауцеллины Грузии. Труды геол. Ин-та АН Груз. ССР, т. IV (IX) 1, 2, 1948.
- Abich H. Verzeichniss einer Sammlung von Versteinerungen von Dagestan. Zeitschr. Deutsch. Geol. Gesellsch., Bd. III, 1851.
- Pjatov A. P. Enchainement des Aucelles et Aucellines du Crétacé russe. Nouv. Mém. de la Soc. des Natur. de Moscou, t. XVII, 1907.

Институт геологии

Поступило 25. X 1966

Р. Э. Элиев

Чэнуб-шэрги Гафгазын Алт чөкүнүләриндә тапылан аутсеплиналар  
ХУЛАСЭ

Чэнуб-шэрги Гафгазын Алт Табашир чөкүнүләриндә чохлу мигдарда аутсеплиналар раст көлир. Аутсеплиналара үст апт вә үст алб јашлы сухурлар даңа сәчијјәви олуб, онларын јашыны дәгиг тә'жин етмәјэ имкан верир. Мәгаләдә Шаһдағында вә Атчай һөвзәсіндә тапылмыш аутсеплина фаунасының үч нөвү тәсвир едилмишdir.

Н. Н. ГАСЫМОВ

#### АРАЗБОЮ ГӘНВӘЈИ ВӘ СУБТРОПИК ШАБАЛЫДЫ ТОРПАГЛАРЫНДА ҺУМИН ТУРШУСУНУН ЕЛЕМЕНТАР ТӘРКИБИ

(Азәрбајҹан ССР ЕА академики Ч. М. Һүсејнов тәгдим етмишdir)

Мә’лум олдуғу үзрә, торпагын мүнбітлијини мүәjjән едән онун үзви һиссәси, хүсусен һумусудур. Буна көра дә һумусун фракцион тәркебинин өjrәнилмәси торпагларын мәншәни хүсусијәтләrinin вә онун агрономик дәјәрини мүәjjән етмәкдә бејүк әhәмijjәtә маликдир.

Торпагшұнаслығ әдәбијатында вә торпаг тәсніфатында торпаг типинин кенетик мүстәгиллијини мүәjjән едилмәсіндә һумусун профил үзрә пајланмасы, һумин туршусунун фракцион вә елементар тәркеби әсас көстәричиләрдән бириди.

ССРИ-дә мұхтәлиф торпаг зоналарында һумусун ентијаты вә елементар тәркебинин өjrәнилмәси илә Н. П. Ремезов [8], И. В. Түүрин (1937, 1949), М. М. Кононова (1951, 1956, 1963), Тишенко, Рыдалевская (1936), Н. П. Белчикова [2] вә башгалары мәшгүл олмушлар.

Азәрбајчанда мұхтәлиф торпаг-иглим шәраитидә һумусун ентијаты, фракцион тәркеби вә онун әмәләкәлмә шәраити В. Р. Волобуев, М. Е. Салаев, Ш. К. Һәсәнов, С. Ә. Әлиев, Н. Н. Ядикарова, Л. П. Дектарјева, Ч. М. Җәфарова тәрәфиндән өjrәнилмишdir. Лакин Азәрбајчанда, хүсусен онун дағлығ һиссәсіндә јаýымыш торпагларда һумусун фракцион вә елементар тәркебләри һагында дағ мә’лumat аздыр. Бу мәгсәдә Аразбој раёнларында јаýымыш дағ мешә гәнвәји, дағ боз-гәнвәји вә шабалыды торпагларда тәдгигатлар апарылмышдыр.

Һәмин әрази Аразбој зонаның әсасен ән алчаг дағлығ вә дағәтәжи һиссәсіни әнатә едир. Буранын иглим шәраити јаýын исти вә гурру, гышынын исә мұлајим исти олмасы илә сәчијјәләнир. Иглим дағ мешә гәнвәји торпагларындан бащланмыш гурру бозғыларда, јә’ни дағ шабалыды торпаглара дөгрү гураглашыр. Бу исә өз һөвбәсіндә торпагемәләкәлмә просесинә тә’сир көстәрир.

Дағ мешә гәнвәји торпагларда һумусун мүтләг мигдары 7—14%-э чатыр. Һәмин торпагларда һумин туршусунун мигдары 31—43%,  $C_{\text{H}} : C_{\text{F}}$  һисбәти дар вә ваниддән аздыр. Бу нал гәнвәји торпаглары һумат вә һумат-фулват типли торпаглара иид етмәjә имкан верир. Белә торпагларын үст гатында суда һәлл олан һумус  $C_{\text{H}} : C_{\text{F}} = 0,70\%$ -дир.

Гәһвәји торпагларда натриумун һумат формасы йүксәк оптики сыхлыға маликдир.

Дағ-шабалыды торпаглар гуру бозгыр биткиләр алтында инкишаф едир. Бу торпаглар һумусун аз мигдары (2,5–3,0%), С:N нисбәтийе. Бу торпаглар һумусун аз мигдары (2,5–3,0%), С:N нисбәтийе. Бу торпаглар һумусун аз мигдары (2,5–3,0%), С:N нисбәтийе.

Дағ-шабалыды торпагларда һумусун фраксион тәркиби өзүнәмәх, сус хүсусијәтә маликдир. Һумин туршусунун мигдары (14–26%), С<sub>n</sub>:С<sub>f</sub> нисбәти вәнидән кичикдир. Дағ-шабалыды торпагларда оптики сыхлығы хәсли ашағыдыр. Бу торпагларда сыхлығы белә ашағы олмасы шүбһәсиз ки, фулвотуршусунун үстүнлүк тәшкил етмәси илә әлагәдардыр. Оптики сыхлығын көстәричиләри, һумусун фраксион тәркиби һумин туршусунун элементар тәркиби илә да уңғын кәлир. Дағ-мешә гәһвәји торпагларда һумин туршусунун элементар тәркиби чәдвәлдә верилмишидир. Җәдвәлдән көрүндүү кими, дағ-мешә гәһвәји торпаглар карбонун мигдарынын хәсли йүксәклиji илә сәчијәләнир, О:N нисбәти дардыр (3,2–6,4). Уст гатда карбонун мигдары 63,5–52,7% арасында дәжишир, оксикенин мигдары исә 37,4, ашағы гатларда 29–38%-э чатыр. Бу да һумин туршусунун рәнкинин ачылмасы вә фулвотуршуларын үстүнлүк тәшкил етмәси илә изаһ олуунур.

#### Чәдвәл

Һумин туршусунун элементар тәркиби (мүтләг гуру вә күлсүз маддәје көрә һесабланышыр)

Кәсимләрни жері вә №-си	Дәррин- лик, см-лә	C, %-лә	H, %-лә	O, %-лә	N, %-лә	C:H	O:N
Дағ-мешә гәһвәји торпаглар							
362. Губадлы району (Ф. М. Исмаїловая)	1–5	63,86	7,11	22,03	6,40	8,98	3,18
	5–21	58,36	6,93	37,14	4,05	7,48	5,35
734. Лачын ра- йону (М. Э. Са- лаев)	3–15	52,74	7,21	34,64	5,41	6,60	4,80
	15–30	50,61	6,93	37,90	4,60	7,31	5,46
Дағ боз-гәһвәји торпаглар							
1312. Чәбрајыл району (Ш. К. Һәсәнов)	0–24	56,16	6,21	32,29	5,34	9,04	5,18
	24–32	55,02	6,40	35,32	3,26	8,59	5,51
2540. Фүзүли району (Ш. К. Һәсәнов)	0–22	52,08	5,43	36,32	6,84	9,59	5,31
	22–49	53,60	5,23	35,57	6,21	10,24	6,80
Дағ-шабалыды торпаглар							
923. Чәбрајыл району (Ш. К. Һәсәнов)	A 0–20	54,66	6,13	34,73	4,48	8,91	5,66
	A 20–35	50,75	6,71	38,66	3,88	7,50	5,76
2466. Фүзүли району (Ш. К. Һәсәнов)	A 0–20	52,00	5,89	36,93	5,13	8,82	6,27
	A 20–43	52,04	4,85	38,58	5,13	10,73	7,95
2482. Фүзүли району (Ш. К. Һәсәнов)	A 0–22	54,51	6,57	33,60	5,32	8,29	5,11
	A 22–41	52,41	7,20	36,55	3,84	7,27	5,07

Гәјд: кәсимләрни анализи мүәллиф тәрәфиндән апарылышыр.

Дағ-шабалыды торпагларын һумин туршусунун элементар тәркибиндә карбонун мигдары 52,0–54,7%, оксикен үст гатда 32–37, ашағы гатларда исә артараг 35–39%-э чатыр.

Дағ боз-гәһвәји торпагларда карбон 52–58, һидрокен 5,7–6,5, оксикен 29–35% арасында дәжишир. Бу торпагларын элементар тәркиби илә гәһвәји торпагларын элементар тәркиби арасында фәрг чүзидир. Бу фәргин азлығы һәмин торпагларын мәншәчә бир-биринә жаҳын олмасыны бир даһа тәсдиг едир.

Һумин туршусунун элементар тәркибинин белә нисбәти көстәрир ки, гәһвәји мешә торпагларында вә мешә мәншәли боз-гәһвәји торпагларда карбон вә һидрокен шабалыды торпаглара көрә бир гәдәр йүксәк, оксикен исә азлыг тәшкил едир. Белә бир фәрги бириңи һалда үзви галыгларын нормал чүрүмә шәранти вә зәнкүнлији илә, иккинчи һалда, јә'ни шабалыды торпагларда аерасијанын вә оксидләшмә просесинин йүксәклиji илә изаһ етмәк олар.

Гәјд етдијимиз торпагларын һумусунун элементар тәркибиндә С:N вә O:N кәмијәтләр нисбәтләри дә мараглыдыр. Гәһвәји вә боз-гәһвәји торпагларда С:N нисбәти хәсли дардыр (6,8–9,7) ки, бу да һумусун йүксәк дәрәчәдә гатылығыны көстәрир. Шабалыды торпагларда исә С:N вә O:N нисбәтләринин јухарыда гәјд етдијимиз торпаглара көрә кениш (7,2–10,7) олмасы һумин туршусунун йүксәк дәрәчәдә оксидләшмәсини сәчијәләндирир.

Аразбоју зонанын шабалыды торпагларында һумусун элементар тәркибиндә олан белә хүсусијәтләр чох күман ки, Шәрги Загағазијанын гуру субтропик бозгыр торпаглары үчүн сәчијәви олуб, үзви галыгларын парчаланмасы вә һумуслашмасы шәранти илә әлагәдардыр.

#### ЭДӘБИЙЛАТ

- С. А. Алиев. Условия накопления и природа органического вещества почв. Баку, 1966.
- Белчикова Н. П. Некоторые закономерности содержания, состав и свойства гумусовых веществ в главнейших группах почв СССР. Тр. Почвенного Ин-та АН СССР, т. 38. 1951.
- Волобуев В. Р. Почвы и климат. Баку, 1953.
- Гасапов Ш. Г. Некоторые закономерности в распределении карбонатов и гумуса в почвах Приарканская полосы. Тр. АН Азерб. ССР (серия биол. и мед. наук), № 1, 1962.
- Дегерярова А. П. Состав гумуса горно-луговых и горно-лугостепенных почв Кедабекского района Азерб. ССР. Изв. АН Азерб. ССР, серия биол. и мед. наук\*, № 6, 1960.
- Едигарова Н. Н. Органические вещества почв западной части Ширванской степи. Труды Ин-та почв. и агрохимии, т. VII, 1955.
- Коновалов М. М. Органическое вещество почвы, его природа, свойства и методы изучения. Изд. АН СССР, 1963.
- Ремезов Н. П. О качественном составе органического вещества почв СССР. "Почвоведение", № 5, 1933.
- Салаев М. Э. Почвы Малого Кавказа. Баку, 1966.
- Тюрик И. В. Органические вещества почв. Сельхозгиз, 1937.
- Джадарова Ч. М. Фракционирование гуминовых кислот горно-лесных и горно-степных почв южного склона Большого Кавказа путем хроматографирования. "ДАН Азерб. ССР" № 11, 1967.

Торпагшұнаслығын агрохимия институту

Алынмышыр 22. III. 1968

ГЕОБОТАНИКА

Ш. Х. ОМАРОВ

К ВОПРОСУ БОТАНИКО-ГЕОГРАФИЧЕСКОГО  
РАСПРОСТРАНЕНИЯ *EUONYMUS LATIFOLIA* MILL.  
В СЕВЕРНОЙ ИЗВЕСТНИКОВОЙ ЧАСТИ ГОРНОГО ДАГЕСТАНА

(Представлено академиком АН Азербайджанской ССР И. К. Абдуллаевым)

По литературным данным, *Euonymus latifolia* Mill. считается элементом типичных широколиственных лесов с условиями достаточного увлажнения. По флоре СССР, т. XIV (566, 569) *Euonymus latifolia* Mill. приводится в тенистых горных лесах (особенно буковых и еловых) и в зарослях кустарников, по склонам, долинам и ущельям. Ареал распространения: Крым, Кавказ, Предкавк., Дагестан. Вост. и Южн. Закавказье, Талыш. А. А. Гроссгейм [2] отмечал этот кустарник в подлеске буковых лесов предгорий Дагестана, а также и для грабовых лесов; Л. Н. Чиликина [7] для предгорного Дагестана в подлеске дубовых лесов А. А. Гроссгейм [3] указывал на редкое распространение данного кустарника в лесах Северного Кавказа, считая его наиболее обычным для лесов Колхида, Талыша и южного Карабаха.

Никто из упомянутых исследователей, в частности А. А. Гроссгейм [1], который посвятил специальную работу типам растительности Северной части Нагорного Дагестана, не указывает на присутствие и распространение бересклета широколистного вообще в этой части Дагестана.

Нами в окрестностях с. Могох Гергебильского района на высоте 800—1600 м над ур. моря и на больших высотах описан широколиственный лесной участок, в подлеске которого и встречается бересклет широколистный.

Для большей наглядности считаем целесообразным привести описание с местонахождения бересклета широколистенного, сделанное нами в период маршрутных исследований лесов Горного Дагестана (2.VII 1965 г.).

Описание сделано на юго-восточном известняковом склоне.

Почва известняково-карбонатная с незначительным гумусовым слоем.

Полог леса составлен грабово-дубовым молодняком, к которому приурочен бересклет широколистный.

Основные породы—*Carpinus caucasica* A. Grossh. имеют средний диаметр—10—15 см, среднюю высоту—5—6 м; *Quercus robur* L. соответственно 5—10 см—4—5 м.

В ярусе кустарников, сомкнутость которого 0,2—0,3 отмечены: *Euonymus latifolia* Mill., *Euonymus verrucosus* Scop., *Viburnum lantana* L., а по опушкам—*Cotoneaster melanocarpa* Lodd., *Juniperus oblonga* M. B.

Из травянистых растений отмечены следующие виды: *Carex humilis* Leyss., *Laser trilobium* Iad (Borkh.), *Asperula taurina*, *Viola silverstris* Lam., *Polygonatum multilorum* (L.) All., *Salvia glutinosa* L., *Polygala anatolica* Besser. et Hebr.

Из мхов здесь довольно обильны\* *Thuidium abietinum* (Brid) B. S. g., *Tissidens cristatus* единично, *Tortella tortuosa* (Turp) Limpr., *Rhytidium rugosum* (Hedw) Kindb.

Еще в 1938 г. Е. М. Лавренко отмечал, что распространение древесно-кустарниковых пород и установление границы их ареалов дает нам возможность восстановить историю растительности в общем и в отдельности—историю видов. Распространение бересклета широколистного на известниках Северного Дагестана вызывает определенный ботанико-географический интерес.

И. И. Тумаджанов [5] пишет, что существует не мало фактов, говорящих в пользу сохранения в современной лесной флоре Нагорного Дагестана реликтов более древней лесной растительности. Возможно, именно этим и объясняется нахождение ряда элементов широколиственных лесов в пределах Северной части Горного Дагестана.

Бересклет широколистный отмечен нами также и в пограничных районах Внутреннего и Предгорного Дагестана в подлеске широколиственных лесов вблизи населенных пунктов Мекеги и Ая-лакаб Левашинского района. Прерывистый характер распространения бересклета широколистного объясняется естественно-географическими условиями района, а также активным вмешательством человека (рубки, пожары, земледелие, животноводство и. т. п.).

Этими и другими косвенными факторами можно объяснить полное уничтожение лесов в верховьях Казикумхское и Кара-Койсу, а в некоторых местах и по ущельям долины Аварское Койсу, где они в недалеком прошлом занимали большие площади.

ЛИТЕРАТУРА

1. Гроссгейм А. А. Типы растительности Северной части Нагорного Дагестана. Тифлис, 1925.
2. Гроссгейм А. А. Растительный покров Кавказа. Монн, 1952.
3. Гроссгейм А. А. Растительные богатства Кавказа. Монн, 1952.
4. Лавренко Е. М. История флоры и растительности СССР. Растительность СССР, т. 1. М.—Л., 1938.
5. Тумаджанов И. И. Бук и буковые леса в Нагорном Дагестане. Труды Тбилисск. ин-та, т. VII, 1940.
6. Флора СССР, т. XIV, М., 1949.
7. Чиликина Л. Н. Очерк растительности Дагестана. Труды Отдела растительных ресурсов, т. II, ДАГ ФАН СССР. Махачкала, 1960.

Институт генетики и селекции

Поступило 8. II 1967

\* Мхи распределены ТБИН АН Грузинской ССР.

Дағлыг Дағыстанын шимал әһәнкдашылы һиссәсендә  
*Euonymus latifolia* Mill биткисинин ботаники-чографи  
 нәгтєи-нәзәрдән язылмасына даир

## ХУЛАСЭ

Мәгаләдә Дағыстанын әһәнкдашылы шимал һиссәсендә енилијарпаглы мешәләрин өјрәнилмәсендән бәһс едилүр. Бундан башга, мәгаләдә енилијарпаглы көрмәшовларының язылмасы да гејд олунур. Бунун ботаники-чографи нәгтєи-нәзәрдән хүсуси әһәмијәти вардыр. Беләки, бу вахта гәдәр өјрәндіјимиз саһәдә енилијарпаглы мешәләрин вә элементләрин олдуғуну бир чох алимләр инкар едиrlәр. Мәгаләдә исә енилијарпаглы мешәләрин язылдығы саһәнин, орада раст кәлән башта нөв биткиләрин, от нөвләринин вә сармашыгларының характеристикасы верилмишdir. Бундан әlavә, енилијарпаглы мешәләрин башта саһәләрдә язылмасының тәбии сәбәбинин өјрәнилмәсінә чәһд едилишишdir.

ВЕТЕРИНАРИЯ

Ю. Б. САФАРОВ, Р. А. КАДЫМОВ

**ВЛИЯНИЕ ТКАНЕВОГО БИОСТИМУЛЯТОРА НА ИММУНОБИОЛОГИЧЕСКУЮ РЕАКТИВНОСТЬ ЖИВОТНЫХ, ВАКЦИНИРОВАННЫХ ПРОТИВ БРУЦЕЛЛЕЗА**

(Представлено академиком АН Аз.рбайджанской ССР М. К. Ганиевым)

В литературе имеются многочисленные указания о возможности повышения иммунологической реактивности организма различными методами воздействия, в частности под влиянием неспецифических раздражений.

В медицинской и ветеринарной практике широко применяются тканевые биостимуляторы, приготовленные по методу акад. В. П. Филатова как неспецифические раздражители для усиления реактивности организма.

Исходя из этого, мы решили изучить влияние тканевого биостимулятора, приготовленного по методу В. П. Филатова на иммунобиологическую реактивность овец, вакцинированных против бруцеллеза сухой живой вакциной из штамма № 19.

Опыты проводились на 21 овце в (каждой группе по 3 головы) и 70 морских свинках (в каждой группе по 10 свинок).

У подопытных животных с целью установления иммунобиологических изменений изучались следующие показатели:

а) клинические данные (общее состояние, температура, пульс, дыхание, местные реакции на введение вакцины и т. д.) изучались как до вакцинации, так и после введения вакцины.

б) в крови овец определялось содержание гемоглобина, число эритроцитов и лейкоцитов, изучалась лейкоцитарная формула. Исследования проводились по общепринятой методике.

в) фагоцитарная активность лейкоцитов изучалась опасно-фагоцитарной реакцией у овец и морских свинок;

г) динамика изменения общего белка и белковых фракций в сыворотке крови изучалась на овцах и морских свинках.

д) исследование сыворотки крови на наличие бруцеллезных агглютининов (РА) проводилось также на овцах и морских свинках.

е) напряженность иммунитета у животных определяли путем инфицирования овец и морских свинок вирулентной культурой *Br. melitensis* с последующим бактериологическим исследованием.

После установления исходного статуса и исключения бруцеллеза у подопытных животных, они вакцинировались по следующей схеме: Животным первой группы тканевой биостимулятор вводили в смеси с бруцеллезной вакциной.

Животным второй группы тканевой биостимулятор и бруцеллезная вакцина вводились раздельно.

Животным третьей группы тканевой биостимулятор вводили через 7 дней после бруцеллезной вакцины.

Животным четвертой группы тканевой биостимулятор вводили за 7 дней до применения бруцеллезной вакцины.

Животные пятой группы вакцинировались против бруцеллеза.

Животные шестой группы обрабатывались биостимулятором.

Животные седьмой группы—контрольные.

У овец бруцеллезная вакцина применялись по наставлению. Бруцеллезная вакцина морским свинкам вводилась в дозе 1 млрд. м. т. (по оптическому стандарту) в правую паховую область, подкожно.

Тканевой биостимулятор у овец и морских свинок применяли в дозе 0,1 мл на 1 кг живого веса подкожно.

### Результаты исследования морских свинок

После вакцинации в сочетании с биостимулятором морские свинки имели бодрый вид, хорошо поедали корм. На месте введения вакцины появлялся отек, который рассасывался в различные сроки.

При изучении ОФР нами было установлено, что у морских свинок показатель фагоцитоза, увеличиваясь со 2 дня, на 30-й день в первой группе равен 31 против 2, во второй—33 против 5, в третьей—30 против 5, в четвертой—28 против 4, в пятой группе 22 против 4. После чего наблюдается постепенное снижение показателя фагоцитоза во всех группах. Обобщая приведенные данные, приходим к выводу, что при применении биостимулятора в смеси, а также одновременно с вакциной фагоцитарная активность была более выражена, чем вакцинация без биостимулятора.

При изучении агглютинационного титра у иммунизированных морских свинок было установлено, что в динамике нарастания агглютининов имеется существенная разница. В первой группе агглютинины в сыворотке крови животных, увеличиваясь на 12-й день до 1: 320, на 20-й день достигли 1: 640, в то же время в контрольной группе титр агглютининов равен 1: 250.

Во второй группе, где биостимулятор применяли одновременно с введением антигена, титр агглютининов по сравнению с контрольной группой резко увеличился и на 12-й день был равен 1: 320.

Дальнейшими исследованиями было установлено, что титр агглютининов по сравнению с другими группами на высоком уровне держится в первой и второй группах. Это доказывает, что под влиянием тканевых биостимуляторов, введенных в сочетании с антигеном, происходит значительное повышение титра специфических антител.

В третьей группе, где тканевой биостимулятор вводили после бруцеллезной вакцины, резко увеличивался титр агглютининов в сыворотке крови животных и до 30-го дня был в титре 1: 320, в дальнейшем, постепенно снижаясь, находился все время в более высоких концентрациях в сыворотке крови, чем у животных из контрольной группы.

При применении биостимулятора до вакцинации агглютинационный титр изменяется в основном в той же последовательности, что и у животных контрольной группы.

Установлено, что противобруцеллезная вакцинация сопровождается иммунобиологической перестройкой организма вакцинированного животного и что при этом в крови и в других органах животного происходят глубокие изменения биохимического характера.

При изучении белковой картины сыворотки крови было установлено, что общий белок после некоторого снижения в первые дни, в дальнейшем, увеличиваясь, остается на данном уровне до конца опыта.

Содержание альбуминов во всех группах снижается после вакцинации к 20-му дню (в 1 группе с 50,4 до 40,5%, во 2—с 52,3 до 40,3%, в третьей—с 55,9 до 42,8%, в четвертой—с 51,6 до 41,5%, в пятой с 53,4 до 40,1%).

Альфа-глобулины, после некоторого увеличения к 12-му дню в дальнейшем снижаются и колеблются в пределах исходного уровня.

Заметное изменение после иммунизации претерпевают бета+гамма-глобулины, где их концентрация в сыворотке крови увеличиваясь к 30-му дню в первой группе равно 42,1 против 31,0%, во второй—39,6 против 27,3%, а в контрольной группе 38,1 против 29,4%.

В дальнейшем было установлено, что в первой группе во всех случаях бета+гамма-глобулины были выше, чем в других группах.

По истечении 60-ти дней морские свинки после установления заражающей дозы культуры *Brg. melitensis* были заражены. После 30-ти дней заражения морских свинок убивали для бактериологического исследования. Посевы на дифференциальной среде делали из паренхиматозных органов и девяти лимфатических узлов, мочи, крови, костного мозга.

При бактериологическом исследовании изучали культурно-морфологические и биохимические свойства полученных культур.

Результаты бактериологического исследования показали, что в первой группе оказалось 80% иммунных животных. Во второй и третьей группах было 70%, а в четвертой и пятой—60%.

В контрольной группе у всех животных установлена генерализованная инфекция.

### Результаты исследования овец

При изучении морфологического состава крови было установлено, что применение биостимулятора в сочетании с вакциной способствует повышению реактивности организма. Об этом свидетельствует выраженный лейкоцитоз, лимфоцитоз, усиление фагоцитарной активности лейкоцитов, а также увеличение бета+гамма-глобулинов в сыворотке крови.

Наибольшее увеличение данных фракций наблюдается в первой группе. Так, увеличиваясь, бета+гамма-глобулина на 60-й день доходит до 59,6 против 43,7% и держится на высоком уровне до 120-го дня.

В пятой группе количество бета+гамма-глобулинов увеличивается и к 90-му дню равно 49,5 против 39,7%.

Во второй группе количество бета+гамма-глобулинов на 60-й день равно 54,9 против 42,6%.

При изучении агглютинационного титра было отмечено, что у овец первой группы титр агглютининов, повышаясь, достигал титра 1: 3200, в то же время титр агглютининов у овец, вакцинированных только бруцеллезной вакциной, доходил до максимума—1: 1066.

Во второй группе титр агглютининов, увеличиваясь после вакцинации, доходит до максимума на 20-й день—1: 3200 и до конца ис-

следования находится на более высоком уровне, чем у животных из контрольной группы.

Характерное изменение титра агглютининов наблюдается при применении тканевого биостимулятора после введения антигена.

Так, если на 12-й день титр агглютининов у овец этой группы равен 1:933, то к 30-му дню он резко увеличивается и доходит до 1:3200. В дальнейшем титр агглютининов снижается и к концу 60-го дня равен 1:800.

Проведенные исследования показали, что при применении бруцеллезной вакцины в смеси с биостимулятором агглютиционный титр был выше, чем у овец, вакцинированных только бруцеллезной вакциной.

Снижение титра агглютининов у овец, вакцинированных смесью вакцины и биостимулятора, наступало позже по сравнению с овцами, вакцинированными только вакциной.

Тканевой биостимулятор после вакцинации способствует резкому увеличению титра агглютининов. Данное явление, т. е. применение биостимуляторов после введения штамма 19 может быть широко использовано и является достаточно эффективным стимулятором иммунобиологической реактивности организма при бруцеллезной инфекции.

Через определенное время овец заражали установленной заражающей дозой культуры *Vg. melitensis*.

Через 30—35 дней после заражения подопытных овец убивали, из паренхиматозных органов и лимфатических узлов делали посевы на дифференциальные питательные среды. Кроме того супензии из внутренних органов и лимфатических узлов заражали морских свинок (под кожу). В результате было установлено, что от овец первой группы не было получено культуры бруцелл, в то время, как у овец контрольной группы в двух случаях выделена культура.

С целью подтверждения полученных данных, была проведена вторая серия опытов в хозяйственных условиях. В овцеводческом хозяйстве „Дружба народов“ Ждановского района Азербайджанской ССР на ягнятах применяли сухую живую бруцеллезную вакцину из штампа 19, серии 1229, контроль 131, в сочетании с биостимулятором. Через определенные сроки после вакцинации из вариантов одновременного (раздельного) и совместного (в смеси) введения биостимулятора с вакциной, а также из контрольной группы ягненка по 5 голов подвергались лабораторным исследованиям по вышеуказанным иммунобиологическим показателям.

### Выводы

1. Применение тканевого биостимулятора в дозе 0,1 мл на 1 кг живого веса после введения вакцины повышает иммунобиологическую реактивность организма животного, что приводит к усилению специфического иммунитета, вызываемого бруцеллезной вакциной из штамма 19.

2. При одновременном (раздельно) и совместном (в смеси) введении тканевого биостимулятора с сухой живой бруцеллезной вакциной из штамма 19 более активно усиливается иммунитет у овец, которым сделали прививки против бруцеллеза.

Азерб. СХИ

Поступило 28. IX 1967

Ж. Б. Сәфәров, Р. А. Гәдимов

Тохума биостимулјаторунун бруслјоза гаршы ваксинасија едилмиш һевланларда иммунобиологи реактивлијэ тә'сири

### ХУЛАСЭ

Сон илләрдә бајтарлыг тәчрүбәси В. П. Филатовун тәклиф етдији методла һазырланмыш тохума биостимулјаторлары кенинг сурәтдә тәтбиғ олунмагдадыр.

Кәнд тәсәррүфаты һевланларының хәстәликләrinә гаршы кечирилән спесифик профилактика үчүн тохума биостимулјаторунун башга биопрепаратларла әлагәләндирilmиш һалда тәтбиғ олунмасының хусуси елми-тәчрүби әһәмијәти вардыр. Бүнү һәзәрә алараг, тохума биостимулјаторунун бруслјоза гаршы ваксинасија олунмуш гојунларда иммунобиологи реактивлијэ тә'сирини өјрәнимәк гәрарына кәлдик.

Тәдгигатлар гојун вә лабораторија һевланлары үзәринде апарылышадыр.

Беләликлә, мүәјјән едилди ки, тохума биостимулјатору аյрылыгда вә бирликдә 19 №-ли штаммла вурулдугда, организмни иммунобиологи и реактивлијини вә иммунитетин кәркинлијини, һәмин ваксинин стимулјаторсуз тәтбиғ едилмәсинә иисбәтән, даһа фәл сурәтдә стимулә едир.

МЕДИЦИНА

Н. С. ДЖЕБРАИЛБЕЙЛИ, Р. А. ПИРВЕРДИЕВА

РЕАКЦИЯ СВЕРТЫВАЮЩЕЙ И ПРОТИВОСВЕРТЫВАЮЩЕЙ СИСТЕМЫ КРОВИ НА ЭКСПЕРИМЕНТАЛЬНЫЙ ТРАВМАТИЧЕСКИЙ (ЭЛЕКТРИЧЕСКИЙ) ШОК

(Представлено академиком АН Азербайджанской ССР М. А. Топчибашевым)

Изучение травматического шока в течение полутораста лет остается проблемой большого теоретического и практического значения.

Имеющиеся данные нередко противоречивы, что объясняется односторонним подходом исследователей к их решению, которые исходили из различных теорий патогенеза шока, из-за использования разных моделей шока и проведения экспериментов на многочисленных видах животных.

По данным Weidner, неанестезированные собаки являются наиболее подходящими животными для воспроизведения модели шока, что подтверждают исследования И. Р. Петрова и Г. Ш. Васадзе.

За последние годы возраст интерес к изучению изменения в системе свертывания крови при различных видах шока. По данному вопросу как в отечественной, так и в зарубежной литературе единого мнения нет. Часть исследователей считает замедление свертываемости крови характерной чертой травматического шока. Г. И. Цобкалло [9] и Г. М. Голублева [6] при более сильных болевых эффектах, вызывающих у животных шок, наблюдали замедление свертывания крови. С. С. Брюхоненко, И. П. Кречетова и др. расценивают это замедление как защитную реакцию организма.

По данным Г. М. Голублевой [6] и Э. А. Асратаина [1] время свертывания крови при травматическом шоке имеет двухфазное течение: в начальной стадии шока (стадия возбуждения и первичного шока) кровь свертывается быстрее, а в поздней (стадии вторичного шока) медленнее, чем в норме.

Другие исследователи не могли отметить большую или меньшую закономерность в изменении скорости свертывания крови при травматическом шоке.

Хардаэй и Джонсон [13] даже разработана новая теория патогенеза шока вообще. По их мнению, закупорка тромбами прекапилляров и венул является ведущим фактором патогенеза шока:

При различных видах шока наблюдается внутрисосудистое свертывание крови (Робб, 1963).

Многие авторы изучали только отдельные тесты коагулограммы: время свертывания (Н. М. Штырова, Г. Н. Голублева), протромбиновый индекс, фибриноген, толерантность плазмы к гепарину (Н. С. Джавадян и др.).

Для выяснения механизма изменений в системе свертывания крови нам показалось необходимым проведение более углубленных исследований с охватом не только показателей свертывающего звена, но и противосвертывающего, наименее изученного при шоке. Опыты были проведены на 25 здоровых неанестезированных собаках обоего пола со средним весом 10—12 кг. Шок вызывался раздражением седалищного нерва в сочетании с кровопусканием. Электрические раздражения осуществлялись генератором импульсного тока ЭИ-1. Частота 200—400 гц, сила тока колебалась от 20 до 50 мА. Длительность раздражения и сила тока зависела от индивидуальной реактивности животного.

Регистрация артериального давления осуществлялась прямым способом, посредством электроманометра ЭМ-2-01, ЕМ-4541, производство ВНР, с последующей фотозаписью гемодинамических показателей осциллографом типа Н-700 до и в различные периоды шока.

Из показателей системы свертывания крови изучались: время свертывания по Ли и Уайту, протромбиновый индекс по Квику в модификации Б. А. Кудряшова, толерантность плазмы к гепарину, по Марбе и Винтерштейну, фибрин-стабилизирующий фактор по В. П. Балуда, ретракция кровяного сгустка по Левит и Шульман, антиплазминовая активность по Нордо в модификации Г. В. Андреенко, фибриноген "Б" по В. П. Балуда, количество фибриногена и фибринолитическая активность по Бидвелл в модификации Г. В. Андреенко.

Кровь бралась на исследования до и в торpidной фазе шока. Время свертывания определялось каждые 15 мин от начала раздражения до наступления шока, который характеризовался стойким падением артериального давления, учащением ослабленного наполнения пульса, учащенным поверхностным дыханием, исчезновением реакции на покалывание и звук.

По средним арифметическим данным по всем тестам наблюдалась гиперкоагуляция.

Тесты	Исходные данные	Торpidная фаза
Время свертывания	5,22	2,78
Протромб. индекс	126,9	133,2 %
Тол. плазмы к гепарину	2,45	2,17
Фактор XIII	1,52	1,85
Антитромбин. активн.	3,01	3,68
Ретракция сгустка	0,29	0,32
Фибриноген "Б"	(+)	(+++)
Фибриноген	452 мг %	448 мг %
Фибринолитич. активность	15,5 %	10 %

Как видно из таблицы, время свертывания во время шока резко укорачивается, у всех 25 животных.

Протромбиновый индекс со 126,9 повышается до 133,3%. В 6 случаях из 25 протромбиновый индекс или не изменялся, или же несколько понижался. В остальных случаях повышался.

В 22 случаях толерантность плазмы к гепарину повышалась, в 3—понижалась или же не изменялась.

Антiplазмовая активность и ретракция кровяного сгустка во всех случаях повышались.

В торпидной фазе шока резко возрастало количество фибриногена "Б". Количество фибриногена не претерпевало особых изменений. Как видно из таблицы, если до раздражения количество фибриногена составляло 452, то во время шока стало 448 мг%. Фибринолитическая активность несколько понижается.

Время свертывания, которое исследовалось через каждые 15 мин, постепенно укорачивалось.

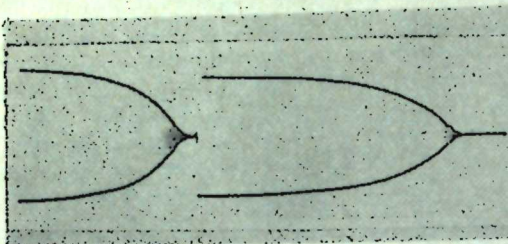


Рис. 1.

Свёртываемость тромба "Е" заметно повышается с 92 до 110. Время тромбообразования "К" укорачивается.

Приводится протокол одного опыта.

Опыт 22. Собака "Чернушка", вес 11 кг. Под местной анестезией обнажены бедренная вена, артерия, седалищный нерв. Канюлирована артерия для записи давления. Для отягощения шокового состояния произведено кровопускание в количестве 150 мл. Через 2 ч 45 мин наступил шок. Давление резко упало, зрачки сильно расширены, учащенное поверхностное дыхание, исчезновение реакции на покалывание. Через 20 мин взята кровь на исследование. Анализ полученных результатов не оставляет сомнения в том, что в торпидной фазе шока наступает выраженная гиперкоагуляция, которая отражается как на показателях свертывающей, так и противосвертывающей систем крови.

Более отчетливые изменения отмечались со стороны антиплазминовой активности, фибриногена "Б", фактора XIII и фибринолиза. В предварительных исследованиях, убедившись в том, что факторы протромбинового комплекса (V и VII факторы) не претерпевают значительных изменений, мы из числа тестов, характеризующих тромбин-тромбопластинообразование оставили только протромбиновый индекс.

Показатели противосвертывающей системы крови обнаружили более достоверные изменения.

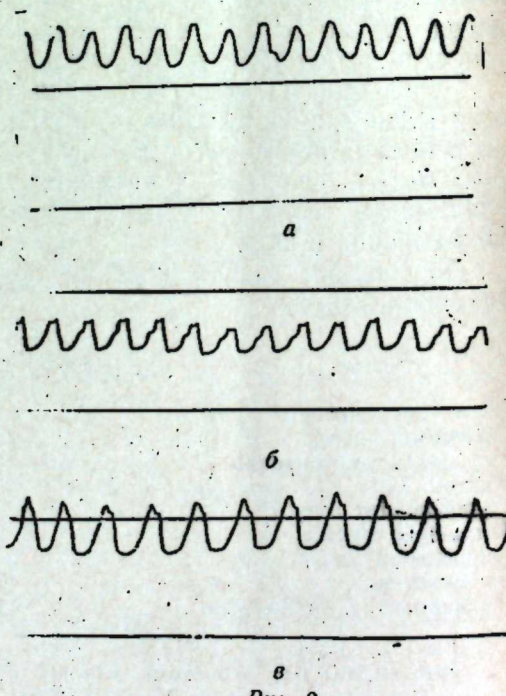


Рис. 2

Результаты пробирочных исследований позволили нам сделать предварительное заключение, что гиперкоагуляция, наблюдающаяся при шоке, возникает вследствие подавления антикоагулянтной активности и фибринолитических свойств крови, т. е. наступает депрессия противосвертывающей системы крови.

Результаты тромбиновой пробы, хорошо иллюстрирующей функциональное состояние свертывающей системы крови, подтвердили наше предположение.

Доза тромбина, вызывающая у здоровых животных отчетливую гипокоагуляцию, у животных, находящихся в шоковом состоянии, усиливала гиперкоагуляцию.

Из работ Б. А. Кудряшова и сотрудников, а также Н. М. Рзаева, Н. К. Казиевой, Д. Д. Закирджева, проведенных в нашей лаборатории известно, что во всех случаях депрессии противосвертывающей системы крови тромбиновая пробы выпадает отрицательной, то есть не вызывает характерной гипокоагулятивной реакции.

Функция противосвертывающей системы крови регулируется быстродействующим нейрогуморальным рефлекторным механизмом.

Надо полагать, что при травматическом шоке наступают глубокие нарушения в рефлекторной деятельности организма, что и обуславливает депрессию противосвертывающей системы крови.

Установленные факты могут иметь значение в разработке профилактических мероприятий по борьбе с последствиями шока.

## Выводы

1. Травматический шок сопровождается гиперкоагуляцией, выражающейся на коагулограмме укорочением времени свертывания, увеличением протромбинового индекса, повышением толерантности плазмы к гепарину и активности фибриназы, повышением антиплазминовой активности и понижением фибринолитической активности крови. Ретракция сгустка повышается, в плазме появляется большое количество фибриногена "Б".

2. Причиной этой гиперкоагуляции является депрессия функции противосвертывающей системы и крови вследствие нарушения рефлекторной деятельности организма при шоке.

## ЛИТЕРАТУРА

1. Асратян Э. А. В кн. Очерки по этиологии, патологии и терапии травматического шока. М., 1945, стр. 7—62.
2. Брюхоненко С. С. В кн. Труды 2-й Всесоюз. конференции филиала Центрального ин-та переливания крови. М.—Л., 1963, стр. 202—219.
3. Джавадян Н. С. Бюлл. эвсп. биол. и мед., 1951, 11 стр. 383—393.
4. Джавадян Н. С. Бюлл. эксп. биол. и мед. 1952, 1, стр. 31—36.
5. Джавадян Н. С. Бюлл. эксп. биол. и мед. 1955, 5, стр. 20—26.
6. Голублева Г. М. Клини. мед., 1950, 7, стр. 7—9.
7. Петров И. Р., Васадзе Г. Ш.. В кн. "Не обратимые изменения при шоке и кровопотере". Л., 1966.
8. Цобкалло Г. И. Бюлл. эксп. биол. и мед., 1951, 7—9, стр. 154—157.
9. Штырова Н. М. Материалы 3 пленума патофизиологов Сибири, Дальн. Востока. Ставрополь, 1959, стр. 8—10.
10. Hardaway R. M. Amer. J. Med., 1963, v. 128, № 3, p. 198—208.
11. Hardaway R. M. Amer. J. Med., 1965, v. 110, 3, 298—301.
12. Hardaway R. M., Johnson D. G. Amer. J. Med., 1963, 29, 4, 292—298.
13. Hardaway R. M., Johnson D. G. Amer. J. Med., 1963, 158, 4, 685—697.
14. Roll H. I. Ann. Surg., 1963, 158, 4, 685—697.
15. Weidner M. Surgery, 1964, 55, 1, 73—84.

НИИ клинической и экспериментальной медицины

Поступило 26. III 1968

Тәчрүби травматик шока гарыш ганын лахталанма өз  
экслахталанма системинин реаксијасы

ХҮЛАСЭ

Наркоз һалы төрәдилмиш 25 итдә отураг синирини электрик чәрәjanы илә гычыгандырааг шок әмәлә кәтирилмишdir. Чәрәjanын гүввәси 20 mA-дан 50 mA-я гәдәр, тезлиji 200—400  $\mu$ s олмушшур.

Ганын лахталанма системинин көстәричиләри гычыгланмадан эvvәл вә шокун торпид фазасында ёрәнилмишdir. Орта арифметик иәтичеләрә көрә бүтүн тестләр үзрә һиперкоагулјасија гејд олунушшур.

Тромбоеластографија пробирка мүајинә методларыны тәсдиг етмишdir.

ФАРМАКОЛОГИЯ

И. А. ДАМИРОВ, д. з. ШУКЮРОВ

НЕКОТОРЫЕ УСПЕХИ В ОБЛАСТИ ИЗУЧЕНИЯ  
ЛЕКАРСТВЕННЫХ РАСТЕНИЙ АЗЕРБАЙДЖАНА

(Представлено академиком АН Азербайджанской ССР А. И. Каравым)

До установления Советской власти в Азербайджане никакой научно-исследовательской работы по отдельным проблемам фармацевтической науки и практики не проводилось. Отсутствовали квалифицированные кадры, могущие вести научные изыскания.

Победа Советской власти в Азербайджане коренным образом изменила это положение и создала все необходимые условия для развития фармацевтической науки в республике.

За годы Советской власти систематически организовывались научно-обследовательские экспедиции по изучению лекарственной флоры республики. В многочисленных трудах Азербайджанских ученых и ученых, работающих в Азербайджане, отражены результаты интереснейших исследований, освещавших природные богатства Азербайджанской республики.

Изучение лекарственных растений в республике особенно усилилось во время Великой Отечественной войны, когда в это дело включились сотрудники Института ботаники Академии наук Азербайджанской ССР, Азербайджанского медицинского института и ряда других научно-исследовательских учреждений.

В настоящее время продолжаются поисковые научно-исследовательские работы в Азербайджане для выявления новых видов лекарственных растений, многие из которых с незапамятных времен применяются в народной медицине при различных заболеваниях. О применении их, кроме устных сведений, полученных от местного населения, используются рукописи народных лекарей-хакимов, изложенные в исторических восточных лечебниках (Карабадин Кебир, Меджма-ул-Джамале, Мехсен ул-Эддивиях, Тофет-ул-Момуни в книгах ибн-Байтар и др.). К сожалению, эти сведения о лекарствах за немением переводов на азербайджанском языке достаточно не изучаются.

За последние годы коллективом профильных кафедр фармацевтического факультета Азербайджанского медицинского института им. Н. Нариманова проведена большая научно-исследовательская работа по изучению флоры Азербайджанской ССР с целью получения ле-

чебных препаратов, могущих быть использованными в практической медицине.

Для наглядности мы здесь сочли целесообразным сгруппировать их по фармакологическим свойствам и лечебному применению.

I группа—растения, влияющие на сердечно-сосудистую систему. Из этой группы изучены дымянка Шлейхера, мелкоцветная и Вайланта. В них установлено содержание алкалоидов протопина, хелиодона, сангвинарина и др. Экспериментальными исследованиями установлены гипотензивные свойства жидкого экстракта и сухого суммарного препарата, а также порошка и таблеток. Клинические испытания показали, что указанные препараты эффективны для лечения гипертонической болезни I и II стадий.

Из этой же группы изучен чистец шерстистый, ч. Баланзы, шандра обыкновенная, василек закавказский и др. В них установлен ряд важных химических веществ.

Экспериментальными исследованиями установлено, что жидкие экстракти и суммарные препараты полученные из указанных растений, обладают гипотензивными свойствами. Изучены также различные виды василистика. Настойка и суммарный препарат алкалоидов из василистика малого также обладают гипотензивными свойствами и могут быть рекомендованы для лечения гипертонической болезни, I, II и III стадий.

Заслуживают особого внимания растения, содержащие гликозиды сердечной группы. В этом отношении следует указать 2 вида кендрия: армянский и сарматский, широко встречающиеся в Азербайджане. В корнях и корневищах указанных видов кендрия впервые установлено содержание сердечных глюкозидов, а именно: цимарина и строфантиника-К.

Указанные виды кендрия могут быть использованы как новый сырьевой источник для получения препарата строфантиника-К, цимарина и новогаленового препарата кендозида.

Изучены также сердечные гликозиды, содержащиеся в различных видах вязеля, среди которых заслуживает особого внимания эндемичный вид—вязель гирканский, широко распространенный в Талыше и Ленкоранском районе.

Из семян этого вида вязеля выделено 2 новых сердечных гликозида: гирканозид и дезглюкогирканозид, агликонами которых является гирканогенин. Семена этого вида вязеля уже рекомендованы в медицинскую промышленность как новое сырье для промышленного получения новых сердечных препаратов. В настоящее время успешно ведутся исследования в изучении некоторых видов норичника. Среди них представляет большой интерес норичник Гроссгейма, содержащий сердечные гликозиды, сапонины и ряд других биологически активных веществ.

Из этой же группы также изучены различные виды желтушника: закавказский, Федорова, золотистый, грузинский, пасгальский и др., которые, как показали фармакологические и клинические опыты, могут быть использованы в качестве заменителя строфантиника.

Кроме того, изучена Соломонова печать или купена, в надземных частях и корневищах которых содержатся сердечные гликозиды. Это растение представляет интерес для более глубокого изучения.

II группа—растения, содержащие флавоноиды. Из этой группы изучена ива козьей, дуброники белый, гирканский, восточный, обыкновенный и др. Кроме того, исследованы шелковица белая, плоды маклюры, корневища съти круглой. Установлено, что мужские соцветия ивы козьей содержат 2 новых флавоновых гликозида—капреозид и саликапреозид, являющиеся производными диосметина. Указанные

гликозиды выделены в чистом виде и подробно изучены. Наряду с этим из ивы козьей выделен и изучен фенолгликозид-салцицин. Спиртовые извлечения и суммарный препарат полифенольных соединений, полученных из этого сырья при экспериментальном исследовании показал благоприятное действие на нервно-мышечный аппарат сердца. Клинические испытания подтвердили экспериментальные данные. Препараты ивы козьей могут быть использованы в качестве эффективного средства при функциональных нарушениях сердечно-сосудистой системы, особенно при аритмии и тахикардии.

Что касается дубровников, выявленных из флоры Азербайджана, то, как показали результаты экспериментальных исследований, они содержат в большом количестве флавоноиды, которые и обуславливают их влияние на сердечно-сосудистую систему. Из листьев шелковицы белой выделен и изучен флавоновый гликозид-морин, обладающий сердечным и гипотензивным действием.

В плодах маклюры оранжевой установлено также содержание флавоноидов. Суммарный препарат, приготовленный из плодов маклюры, содержащий эти флавоноиды, оказался эффективным сердечно-сосудистым средством. Флавоноиды также установлены и в корневище съти круглой. Фармакологические исследования показали, что препараты съти круглой оказывают благоприятное действие на деятельность сердца и в виде жидкого экстракта и суммарного препарата могут быть использованы для лечения заболеваний сердца. В настоящее время изучаются различные виды лоха из семейства лоховых. В этом отношении представляет интерес изучение эндемичных видов—лоха каспийского и л. узколистного, в цветках которых содержатся флавоноиды. Цветки лоха давно используются в народной медицине как сердечное средство.

III группа—растения, содержащие тиогликозиды, сапонины, эфирные масла и др.

Из этой группы растений изучены: капуста огородная, цветная и гулявник Лезелиева. Из семян этих растений выделено алкалоидоподобное соединение—синапин. Жидкий экстракт и сухой препарат указанных видов капусты обладают в эксперименте гипертензивными свойствами, алкалоид синапин обладает гипотензивным действием.

Заслуживают внимания результаты изучения видов боярышника. Установлено, что для лечения гипертонической болезни и атеросклероза наиболее эффективные действия оказывают жидкий экстракт плодов боярышника пятилисточного и чистый сапонин—кратепонин, выделенный из этого растения.

Изучены также и трава ясменника душистого, подмареника членистого, молочая Воронова и грузинская, листья бирючины обыкновенной, листья и кора инжирного дерева, луковицы пролески кавказской, цветы и семена цезальпинии Джилиса, листья и кора эйкомии вязолистной и др. Жидкие экстракти и суммарные препараты, полученные из указанных растений, обладают в эксперименте гипотензивными свойствами.

IV группа—растения, обладающие мочегонным действием. В этом направлении изучен корень ежевики кровавой, в котором содержатся в большом количестве красящие вещества. Жидкий спиртовый экстракт и суммарный препарат, полученные из этого сырья оказались эффективными мочегонными средствами. Изучен также корень верблюжьей колючки, жидкий экстракт которой оказался эффективным мочегонным средством.

Не меньший интерес в этом отношении представляет препарат су-калиграфол, представляющий собой стабилизированный сок, полу-

ченный из свежей травы сельдерея пахучего. Этот препарат в жидким и сухом (таблетки) виде обладает сильным мочегонным действием. Кроме того, изучено мочегонное свойство стабилизированных соков, полученных из свежей травы петрушки огородной, корнеплодов моркови посевной и др.

V группа—растения, обладающие желчегонным действием.

Из желчегонных изучены листья артишока, рыхлая кукурузы обыкновенной. Сок свежих листьев артишока, новогаленовый препарат и растворы суммы флавоноидов, выделенных из указанного сырья, в эксперименте показали хорошее желчегонное действие.

VI группа—растения, обладающие кровоостанавливающим свойством.

Из этой группы изучены препараты листьев барбариса обыкновенного, мужские и женские цветки кукурузы, листья крапивы двудомной, кунжутное масло из семян кунжута восточного и др.

VII группа—растения, обладающие противоглистным свойством.

Изучены различные виды папоротника, в частности, папоротник мужской, папоротник женский и папоротник многорядник лопастный, в корневищах которых содержится от 3,0 до 3,5% филицина. Кроме того, изучались различные виды полыней и тыкв.

VIII группа—растения, обладающие отхаркивающим действием. Из этой группы изучен ряд сaponиносодержащих растений из флоры Азербайджана.

К их числу относятся: различные виды первоцвета, клубни цикламена изящного, гладичия каспийская, спаржа каспийская, плющ Пастухова, качим головчатый и др.

В указанных растениях установлено наличие тритерpenовых и стероидных сaponинов.

IX группа—растения, содержащие куареподобные алкалоиды.

Из них изучены живокость арагатская, мелкоморщинистая и другие виды, в которых установлено содержание нескольких алкалоидов, среди них заслуживает внимания метилликаконтин.

X группа—растения, обладающие антибактериальными и заживляющими раны свойствами.

К ним относятся растительные антибиотики, содержащие эфирные масла, красящие, дубильные, смолистые вещества и др.

Исследовались эфирные масла растений семейства кипарисовых, в частности, кипарис обыкновенный, тuya восточная, можжевельник красный и др., а также эфирные масла плодов аниса, травы тысячелистника лабазниковидного, полыни горькой, листьев евкалипта и др. Эфирные масла названных выше растений в виде водной эмульсии и мази использовались для лечения различных инфицированных ран, ожогов и др.

Нами здесь приведены некоторые лекарственные растения Азербайджана. Этим, конечно, далеко не исчерпываются успехи, достигнутые за годы Советской власти в области изучения растительных лекарственных ресурсов Азербайджана. Перед нашими учеными стоит задача более глубокого и всестороннего изучения флоры нашей республики. Это даст нам возможность выявить еще много новых, важных и интересных растений, могущих быть использованными в качестве источника для получения эффективных лечебных препаратов в здравоохранении и медицинской промышленности нашей страны.

АМИ им. Н. Нариманова

Поступило 15. II 1968

И. А. Дэмиров, Ч. З. Шукюров

Азэрбајҹаның дәрман биткиләрини өјрәнмәк саһәсинде  
бә’зи налијјәтләр

## ХУЛАСЭ

Азэрбајҹанда Совет һакимијјети гурулана гәдәр республикамызын дәрман сәрвәтини өјрәнмәк саһәсинде неч бир елми-тәдгигат ишләри апарылмыры. Умумијјәтлә, Азэрбајҹанда тибб вә әчзачылыг елмләри саһәсинде елми-тәдгигат мүәссисәси олмадыгы учун республикамызын зәкин тәбии сәрвәтиндән лазымынча истифадә олунмурду.

Совет һакимијјети гуруландан соңра Азэрбајҹанда, бүтүн саһәләрдә олдуғу кими, тибб вә әчзачылыг елмләриндә дә бөյүк налијјәтләр әлдә едилмишdir. Азэрбајҹаның әразисинде јајылан вә бечәрилән дәрман биткиләрини елми әсасларла өјрәнмәк ишиндә Азэрбајҹан ССР Елмләр Академијасы Ботаника Институтуны вә Н. Нәrimanov адына Азэрбајҹан Дөвләт Тибб Институту әчзачылыг факультәсинин әмәкдашларының бөйүк ролу вә хүсуси хидмәти олмушdur.

Мәгәләдә совет дөврүндә өјрәнилән бир сыра биткиләрин тибби әһәмијјети гејд едилмәклә бәрабәр, бу саһәдә мөвчуд олан имканлардан кәләчәкдә даһа кениш истифадә етмәјин зәрури олдуғу көстәрилмишdir. Бу вахта гәдәр өјрәнилмиш бир сыра дәрман биткиләри һаггында даһа айдын тәсәввүр јаратмаг учун мүәллифләр бу биткиләри фармакологи тәснифат үзрә, јә’ни тибби әһәмијјәтинә көрә группашырышлар. Мәсәлән, 1-чи групда үрәк-дамар системи хәстәликләrinde истифадә олунан биткиләри, 2-чидә тәркибиндә флавоноидли маддәләр оланлары, 3-чүдә тиогликоzидli биткиләри, 4-чүдә сидикговучу тә’сире малик оланлары, 5-чидә өдгөвучу хассәли биткиләри, 6-чыда ганкәсичиләри, 7-чидә гурдсалычы биткиләри, 8-чидә өскүрәj гарши истифадә олунанлары, 9-чуда куараријәбәнзәр тә’сире оланлары вә нәһајәт, 10-чу групда антибактериал вә јарасағалдычы хассәли дәрман биткиләрини көстәрир вә онларын кимјәви тәркибләрини, мұаличә препаратларыны вә мұасир тәбабәтдә нә гајда илә истифадә олундугларыны гејд едирләr.

Дөврүмүзүн әчзачылыг елминни тәләбләринә мұвағиғ олараг айрымы дәрман биткиләри һаггында јени мә’лumatlar вә тибб учун мараглы чәhәтләr, еләчә дә өјрәнилән биткиләrdәn алынан препаратларын адлары гејд едилir. Көстәриләn дәрман биткиләrinни өјрәнилмәsinde мүәллифләrin өзләri дә иштирак етдили учун мәгәләdәki фактлар вә мә’lumatlar һәм нәзәри, һәм дә практики әһәмијјәт кәсб едир вә бу саһәдә ишләmәjин перспективли олдуғуна зәмmin јарадыр.

Мәгәләdә көстәрилir ки, Азэрбајҹанда јајылан дәрман биткиләrinни кәләчәкдә даһа кениш мигјасда вә елми чәhәтдәn даһа дәрин өјрәнилмәsi чох вачиб вә мүhüm мәсәләdir.

ЕТНОГРАФИЯ

В. А. ЧЫРАГЗАДЭ

„ДАМАЗЛЫГ“ ГАРШЫЛЫГЛЫ ЈАРДЫМ ФОРМАСЫ  
НÀГГЫНДА

(Азэрбајҹан ССР ЕА академики Ә. Ә. Әлизадә тағдим етмийшdir)

Азэрбајҹан халгынын иғтисадијјат вэ мәишәтиндэ чох гәдим заманлардан бәри әкинчиликә јанаши малдарлыг да һәлледичи јер тутмушдур. Һәтта Азэрбајҹанын бә’зи зоналарында тәсәрүүфат вэ тәбии чөграфи шәрәитдән асылы олараг малдарлыг әналиниң әсас мәшғулијјети олмушдур. Бунуна элагәдар халг ичәрисинде малдарлыгда сых сурәтдә бағлы олан бир сырға диггәтәләйг адәт вэ ән’әнәләр Јаранмышдыр. Бу ән’әнәләр ичәрисинде гаршылыглы јардым формалары хүсуси јер тутур.

Тәсәрүүфатын бу вэ ја дикәр саһәси илә мәшгүл олан инсанлар раст кәлдикләри чәтииликләри һеч бир әвәз көзләмәдән, тәмәннасыз көмәк—гаршылыглы јардым јолу илә арадан галдырымышлар. Мәнијјет е’тибарилә тәсәрүүфат вэ мәишәт һәјатында инсанларын бир-биринә көстәрдикләри гоншуулуг көмәжи олан гаршылыглы јардым формаларындан бир чоху узүн әсрләр боју Азэрбајҹанда кениш јајылараг, мұхтәлиф зоналарда, тәсәрүүфат вэ мәишәти ајры-ајры саһәләриндә чүрбәчүр адлар дашијараг, инкишафымызын индики сәвијјесинде дә давам етмәкдэdir.

Азэрбајҹанда јајылмыш гаршылыглы јардым формаларынын чоху индијә гәдәр етнограф вэ тарихчиләримиз тәрәфиндән тәдгиг едилмишdir. „Имәчилик“, „Чеј“, „умја“, „нов“ (пав), „аважа“, „мәдкәм“ „бәдәл“, „һәмкәлә<sup>1</sup>“, „ортаглыг<sup>2</sup>“, „шәриклик“, „әврәз“, „зијанлыг<sup>3</sup>“, „көмәкли克“, „нөвбәләшмә“, „алышма“<sup>4</sup> вэ с. бу кими гаршылыглы јардым формаларынын тәдгигинә гијметли әсәрләр һәср едилмишdir. Лакин чохсаһәли Азэрбајҹан етнографијасынын бир чох саһәләри кими

<sup>1</sup> К. Т. Каракашлы. Материальная культура азербайджанцев северо-восточной и центральной зон малого Кавказа. Баку, 1964, с. 225.

<sup>2</sup> Г. Ч. Чавадов. Шымал-шәрги Азэрбајҹанда торнагын шумланымасында „ортаглыг“ формасына даир. Азэрбајҹан ССР ЕА Тарих Институту аспирантларынын II конференциянын тезисләри. Бакы, 1966, с. 91—93.

<sup>3</sup> Г. Э. Рәчәбов. „Зијанлыг“ гаршылыглы јардым формасы нàггында. Азэрбајҹан ССР ЕА-нын Мэ’рүзәләри. 1966, № 9, 22-чи чилд.

<sup>4</sup> Ш. А. Гулиев. О традиционном институте взаимопомощи у чалтыководов Азербайджана. см. Материалы сессии, посвященной итогам археологических и этнографических исследований 1964 года в СССР (тезисы докладов). Баку, 1965, с. 186.

гаршылыглы јардым формаларынын да тәдгиг едилмәјенләри вардын нàггында бәһс едәчәјимиз „дамазлыг“ формасы да мәһз буилардан биридир. Эввәлә гејд етмәк лазымдыр ки, әкәр дикәр гаршылыглы јардым формалары Азэрбајҹанын бу вэ ја дикәр зонасында јајылмышса вэ һәм дә мұхтәлиф зоналарда ајры-ајры адларла адланырдыса, бундан фәргли олараг „дамазлыг“ демәк олар ки, бүтүн зоналарда јајылмыш вэ һәр јердә дә ejni адла танынышдыр. „Дамазлыгы“ Азэрбајҹанда нә ваҳтдан вэ илк дәфә һансы зонада әмәлә кәлмәси барәдә дәгиг фикир сөјләмәк мүмкүн дејилдир. Амма белә зәни етмәк оларки, бу—“дамазлыг“ ичмаларын дағылмасы вэ ја ичмә дахилиндә тәбәгәләшмә әмәлә кәлдији замандан йаранмага башламышдыр. Артыг јухары тәбәгәләрин әлиндә бүтүн һејванлар топланыр, јохсул тәбәгә исә тамамилә мал-гарасыз галыр вэ өз айләсиин һејвандарлыг мәһсулларына олан тәләбатны өдәмәк игтидарыны итирирди. Белә мал-гарасыз галан адама кәнд ичмасынын бир үзвү вэ ја онуна бир патронимијадан олан адам бир диши гојун, инәк вэ ја чамыш баласы бағышлајырды. Бә’зән исә белә дә олурду ки, ичма үзвүнүн олан бир һејваны да мүәյҗән сәбәб үзүндән мәһв олурду. Белә һалларда даһа чох јахын сајылан адам; гојум, гоншу һәмин адамы јанына чағырыб вэ сүрүсүндән вэ ја нахырындан она бир баш диши гузу, гојун, инәк вэ ја чамыш бағышлајырды. һәмин бағышланан һејвана „дамазлыг“ дејилирди. Мараглы бурасыдыр ки, бә’зән чох аз, һәтта 2—3 һејваны олан адам да өз истәдији адама „дамазлыг“ үчүн бир һејван верирди. Азэрбајҹанын Ширван, Гарабағ, Кәлбәчәр, Кәдәбәј, Газах вэ с. зоналарындан топланылан етнографик материаллар белә бир фикир јүрүтмәјә имкан верир ки, „дамазлыг“ гаршылыглы јардым формасы малдар кәндилләр арасында „чинс“ јахынлашдырмаг үчүн дә ән јахши үсуллардан бири иди. Белә ки, әкәр биринин ихтијарында јахши чинсдән олан гојун, инәк вэ ја чамыш вардыса, о истәдији адама онун бир баласыны „дамазлыг“ вериб һәмин шәхсин дә кәләчәкдә јахши һејван чинси олмасыны әсасыны гојурду.

„Дамазлыг“ гаршылыглы јардым формасынын халгымызын мәишәнидә дәрин көк салмасыны субут едән амилләрдән бири дә одур ки, кирвләр арасында олан ән јахши бәхшиши „дамазлыг“ һесаб едилирди. Әкәр ики кирвә олан адамлардан биринин һејваны олмасајды, дикәр һејваны олан кирвә она „дамазлыг“ үчүн бир һејван бағышлајарды. „Дамазлығы“ верилән һејван о гәдәр әзиз тутулурду ки, она хүсуси гүллүг едилиб, даһа тез артан һесаб олунурду. „Дамазлығы“ адәтән айләнин дикәр етијачларыны өдәмәк үчүн сәрф етмәјиб, һеч олмаса илк дәфә доғана гәдәр сахлајырдылар. һәмин һејваны кәсмәз вэ сатмаздылар. Һәтта ел арасында белә мисал варды ки, „дамазлыгдыр, кәсмәк олмаз.“

Ичтимаи-игтисади гуруулушда әмәлә кәлән дәјишикликләр гаршылыглы јардым формаларынын мәнијјети вэ әһәмијјетинде дәјишиклијә сәбәб олмушдур. Белә ки, бу гаршылыглы јардым формасынын бәзиләри истисмарчы синифли чәмијјәтләрдә өз әввәлки әһәмијјет вэ формасыны итиరәк һаким синифләрин әлиндә кизли бир истисмар үсулуна чөврилмишdir. Демәли, мәнишә е’тибарилә ичма торпаг саниблијиндән доған гаршылыглы јардым формалары өз инкишафынын соңракы мәрһәләләрнән зәһмәткеш кәндилләrin истиスマр формалары 95

<sup>5</sup> Ф. Енкелс. Мәјмунун инсаны чөврилмәси просесинде әмәјин ролу. К. Маркс вэ Ф. Енкелс. Сечилемниш әсәрләри, II чилд, Бакы, 1953, с. 87.

Мараглы чәнәт бурасыдыр ки, бир чох гарышлыглы јардым формаларындан фәргли олараг „дамазлыг“ синифли, истисмарчы чәмијәттә дә дә өз тәмәннасыз көмәк характеристини сахлајыб, неч вахт һаким синифләрин элиндә бир истисмар аләтинә чеврилмәмишdir. Лакин бу чәнәт дә унудулмамалыдыр ки, XIX әсрдә әкинчилик вә малдарлыгда тәтбиғ едилән муздул әмәк бир нөв „дамазлыг“ вермәк пәрдәси алтында апарылырды. Бу хүсусијәт Азәрбајчанын шimal-шәрг вә Кичик Гафазын мәркәзи зоналарында өзүнү даңа чох бүрүзә верир. Даңа чох һејвана малик олан адам һејвансыз адамы көмәје чафырыб мүәј-јән мүлдәтдә һејваныны она отардыб әвәзиндә она бир диши гојун „дамазлыг“ верирди. Дикәр тәрәфдән, һејваны олмајан даңа чох һејваны олан адамын һејваны үчүн от чалыр, ығыр, әкинине көмәк едир, һејван саһибинин айләсүнин дахили ентијачларындан артыг галан сүд мәңсулларынын сатылмасына көмәк едирди, бунун мүгабилиндә исә бир тоғлу (2—3 јашлы гојун) — әмәк һаггы — „дамазлыг“ алдырды. „Дамазлыг“ чохлу гојуну олан адамларын гојунларынын гырхымасы үчүн чафырылан көмәјин „әврәз“ин әвәзиндә дә верилирди. Кәлбәчәр рајону Сеидләр кәндидә Ьашајан 90 јашлы Муса Тагыјевин мә’луматында да бу фикир тәсдиг едилер. Һәмниң кәндидә XIX әсрин ахыларында 250—300 гојуна малик олан адамлар гојунларыны гырхымасы үчүн „әврәз“ чафырыб әвәзиндә дә бир гојун дамазлыг верирмишләр.

„Дамазлыг“ гарышлыглы јардым формасы индијә гәдәр дә Азәрбајчанда галыг шәклиндә давам едир. Лакин һазырда „дамазлыг“ ялныз ентијачы өдәмәк үчүн дејил, бәхшиш характеристи дә дашијыр.

Көрүндијү кими, „дамазлыг“ халг арасында кениш Ѵајылмыш вә хүсуси әһәмијәтә малик олан әсаслы гарышлыглы јардым формаларындан бири олмушдур.

Тарих институту

Алынмышдыр 21. XI 1968

В. А. Чырагзаде

### Об институте взаимопомощи „Дамазлуг“

#### РЕЗЮМЕ

Испокон веков скотоводство занимало одно из важнейших мест в экономике и быту азербайджанского народа. Среди народа существовали замечательные традиции, связанные со скотоводством. Среди них особое место занимают институты взаимопомощи. По своему характеру институты взаимопомощи представляли собой безвозмездную помощь друг другу в хозяйственно-бытовой жизни. Многие из этих форм уже изучены этнографами Азербайджана. Однако существуют еще некоторые формы взаимопомощи, которые до сих пор не являлись предметом исследования.

Одной из них является „дамазлуг“.

Точную дату и зону образования этой формы взаимопомощи в Азербайджане указать трудно, однако можно предполагать, что „дамазлуг“ начал образовываться со времени разложения общинного строя, т. к. верхние слои общины сосредоточивали в своих руках на много больше скота, нежели бедные. В случае потери скота (по тем или иным причинам) бедными крестьянами члены данной патронимии и соседи безвозмездно отдавали им из своего стада овцу, корову или буйволицу.

В классовом обществе в целом, и в частности в XIX в., в отличие от многих форм взаимопомощи „дамазлуг“ сохранил свою прежнюю сущность, не превратившись в форму эксплуатации.

ЗАКИР МӘММӘДОВ

### ӘФЗӘЛӘДДИН ХҮНӘЧИ

(Азәрбајчан ССР ЕА академики Ә. Ә. Әлизадә тәгдим етмишдир)

Бөյүк бир кечмишә малик олан Азәрбајчан халгы бүтүн әсрләрдә өзүнүн көркәмли шәхсијәтләри илә дүнија мәдәнијәтини зәнкүилешдirmishdir. Орта әсрләрдә елмин вә инчәнәтин мүхтәлиф саһәләрнindә олдуғу кими, фәлсәфи фикрин инкишафында да Азәрбајчан философларынын хидмәти сон дәрәчә бөյүкдүр. VI әсрдә Іә'губ Бәрдәли, VII—VIII әсрләрдә Исмајыл ибн-Яссар Азәрбајчани, IX—X әсрләрдә Әһмәд ибн-Һарун Бәрдичи, Мәкки ибн-Әһмәд Бәрдәли, Җәфәр ибн-Мәһәммәд Марагаји, XI әсрдә Әбдүлмәлік ибн-Әһмәд Бейләгани, Мәһәммәд Бакуви, Әмәр ибн-Әли Зәнчани, Бәһмәнјар ибн-Мәрзбан Азәрбајчани, XII әсрдә Әмәр ибн-Осман Кәнчәви, Шиһабәддин Сүннәтәрәди, Әбүсәид Тәбризи Іахын вә Орта Шәргин мәшіур философларындан олмушлар.<sup>1</sup> Азәрбајчан халгы XIII әсрдә дә исте'дадлы алимләр жетирмишdir. Һәмниң әсрин биринчи йарысында тәбиәтшүасылыг, фәлсәфә вә мәнтигин инкишаф етдирилмәсindә Шәмсәддин Хојлу, Тачәддин Тәбризи, Әфзәләддин Хүнәчи, Сирачәддин Урмәви, Нәчмәддин Нахчывани вә башга мүтәфәккүрләrin<sup>2</sup> ады иәнини Азәрбајчанда, еләчә дә бүтүн мүсәлман Шәрги өлкәләрindә танынышдыр. Бу алимләр ичәрисindә Әфзәләддин Хүнәчи хүсуси олараг гејд

ابو سعد عبدالكريم بن ابى بكر محمد السمعانى، كتاب: <sup>1</sup> باخ: زيد البيهقي، تتمة صوان الحكمـةـ تاریخ حکماء الاسلام، ورق ۵۸، احمد ابن خلکان، ( Thetaibistan ССР ЕА Шәргшүасылыг Институтунын ӘФ): وفيات الاعيان وانباء ابناء الزمان، ج ۲، ص ۳۸۸؛ عمر فروخ، تاريخ الفكر العربي، ج ۱، بيروت ۱۳۸۲، ص ۹۰-۹۶

شمس الدين بن طولون، قضاة دمشق، دمشق ۱۹۰۶، <sup>2</sup> باخ: تاج الدين عبد الوهاب ابن نقى الدين السبكى، طبقات الشافعية الكبرى، ج ۵، مصر ۱۳۲۴، ص ۱۴۶

едилмәлидир. О, бөйүк философ, көркәмли мәнтигчи, исте'дадлы тәбебиб, мұдриқ һүгугшынас кими һәлә өз сағыныда вә һабелә сонракы дөвләрдә йүксәк шөһрәт тапмышдыр.

XIII әсрин мәшіур әрәб алими Ибн Усејиә (1203—1269) шәргүнаслыг аләминдә гијметли мәнбә саýлан „عیون الانباء في طبقات الأطباء“ Тәбигләр тәбәгәләри нағында дүрүст хәбәрләр) әсәриндә Эфәләддин Хунәчини „алим вә философларын башчысы, зәманәсинин надир шәхсијәти, дөврүнүн бөйүк мұтәфәккири“ адландырааг յазыр:

قد تميز في العلوم الحكيمية واتقن الأمور الشرعية قوى الاشتغال  
كثير التحصيل اجتمعت به بالقاهرة في سنة اثنين وثلاثين وستمائة  
فوجوته غاية القصوى فيسائر العلوم وقرأت عليه بعض الكليات  
من كتاب القانون للرئيس ابن سينا

Тәрчүмәси: Эфәләддин Хунәчи һикмәт елмләриндә фәргләнмиш әэмлә чалышмасы, сохлу билик газанмасы саýсиндә шәриәт ишләрини<sup>4</sup> мүкәммәл билмишdir. Мән онуна 632-чи (милади 1235-чи—З. М.) илдә Гәһирәдә таныш олмушам. О, бүтүн елм саһәләриндә сон дәрәчә сә'жли иди. Рәис Ибн-Синанын „әл-Ганун“ китабындан бә'зи һиссәләри онун җанында муталиә етмишәм.

XV әсрдә исә Җәләләддин Сүјүти (1445—1505) өзүнүн „بُشْرَى الْمُهَاجِرَةِ فِي أخْبَارِ مَهْرُوْرِ“—القاهرة مисир вә Гәһирә хәбәрләrinә даир мүхазирәләrin (яхшысы) адлы мәтәбәр тарих китабында онун һагында белә дејир:

أفضل الدين الخونجي... برع بي علوم الأوائل حتى صار أوحد  
وقته فيها

Тәрчүмәси: „Эфәләддин Хунәчи ...дүнjәви елмләрдә<sup>5</sup> мәһарәт көстәриб, һәтта бу саһәдә зәманәсинин јеканәси олмушудур“.

Эфәләддин Мәһәммәд ибн-Намавәр Хунәчи 590-чи илин чүмадәл-ула (1193-чу илин/ апрел) аյында Азәрбајҹанын Халхал вилајетинин Хунәч маһалында анадан олмушудур<sup>6</sup>. Философ һәлә кәнч յашларын-

موفق الدين أبو العباس أحمد بن القاسم المعروف با بن أبي<sup>7</sup>  
صبيحة، عيون الانباء في طبقات الأطباء، ج ٢، القاهرة ١٢٩٩ ص ١٣٠  
Бундан сонра: Ибн Эби Усејиә. Тәбәгат әл-әтибба кими кедәчәкдир).

Орта әср мүәллифләri (الأمور الشرعية) дедикдә дөвләт вә һүгүг мәсәләләrinни дә нәзәрә тутурдулар.

جلال الدين السيوطي، حسن المحاضرة في أخبار مصر والقاهرة<sup>8</sup>  
(علوم الدينية) дини елмләр (علوم الأوائل) арасында 250-чи Бундан сонра; Сүјүти. һүсн әл-мүхазира.

Гејд етмәк лазымдыр ки, орта әсрләрдә материализм идеализм илә мүбаризәси дүнjәви елмләrlә (علوم الدينية) арасында тәзәһүр етмишdir.

محمد على تربیت دانشمندان آذربیجان، طهران ۱۳۱۴، ص ۶۷  
(Бундан сонра: Тәрбият. Данешмәндандың Азәрбајҹан)

да. йкән Мисирә кетмиш вә өмрүнүн ахырына гәдәр орада յашамышдыр. Мәһәз буна көрә орта әср мүәллифләrinдән бә'зиләри ону „Мисри“ тәхәллүсү илә дә յад едир.<sup>9</sup>

Әфәләддин Хунәчи Иzzәddin (ибн) Эбдүссәламдан<sup>10</sup> сонра Мисири, бац газиси олмушdur<sup>11</sup>. Онун бу вәзиғенін тутмасы өмрүнүн сон иләринә тәсадүф едир<sup>12</sup>. Дөвләт ишләриндә чалышмасы. Эфәләддини ичтимай-сијаси һәјатла даһа да յашындан бағламыш, дөвләт-һүгүг мәсәләләrinә даир бир сыра орижинал әсәрләр յаратмасына имкан вермишdir.

Әфәләддин Хунәчи 646-чи илин рамазан (1248-чи илин декабр) аյында вәфат етмишdir. Философун өлүмү илә тә'сирләнән Иzzәddin Ербили өз мүасирләrinин үрәк ағрысыны бөйүк мұтәфәккирә һәср етди-ji мәрсүјәләrinин бириндә гәләмә алмышдыр. Шаир сәмимијәт ifадә едән тәшбиһләrlә долу ше'ринин һәр мисрасында даһи бир зәканын өлүмүнә ачыјыр, бу ағыр иткіјә дәзмәјин сон дәрәчә чәтин олдуғуну көстәрир<sup>13</sup>.

Әфәләддин Хунәчинин зәнкин յарадычылығы олдуғча рәнкарәнкди. Онун фәлсәфә, мәнтиг вә тибә даир յаздыры китаблар алимләр тәрәфиндән даһа йүксәк гијметләндирilmишdir. „مُعَچَّزُ فِي الْمَنْتَقِ“—مَوْجَزُ فِي الْمَنْتَقِ („مَهْنَتِي“—كَشْفُ الْمَهْنَتِ) даир чүмләләр, „كَشْفُ الْمَهْنَتِ“—السَّرَّارُ عَنْ غَوَامِضِ الْأَقْكَارِ („مَقَالَةُ فِي الْحَدْوَدِ وَالرَّسُومِ“)، „مَهْنَتِي“—شَرْحُ مَقَالَةِ إِبْرَهِيمَ بْنِ سِينَا فِي النَّبِضِ“—Rәис ибн-Сина фин-нәбз („شَرْحُ مَقَالَةِ إِبْرَهِيمَ بْنِ سِينَا فِي النَّبِضِ“—Rәис ибн-Синанын нәбз һагында дедикләrinин шәрhi), „Эдвар әл-һәмијјат“—ادوار الحمييات („شَرْحُ الْأَدْوَرِ“—әл-Ганун шәрhi) вә с. мұтәфәккирин мүһүм әсәрләридир. Өз мүасирләrinin вә сонракы мүәллифләrin һәмишә мараг обьекти олмуш бириңи дөрд китабда мәнтиг вә фәлсәфә мәсәләләrinдән бәһс едилir.

XIII—XIV әсрин мәшіур мәнтигчиләrinдән Сејфәддин Иса ибн-Да-вид, Эбучәфәр Эһмәд ибн-Әбдүррәһман, Ибн-Бәдии Бәндәни, Катиби Гәзвини һәмин китаблara шәрhlәr даир յазараг, дәјәрли әсәрләр յаратмашлар.

„مُعَچَّزُ فِي الْمَنْتَقِ“ китабында мүәллиф ону өз дәстләрү олан бүтүн бөйүк алимләр үчүн յаздырыны гејд едир. Дибачәдә дејилир:

هذه جمل تنضبط بها قواعد المنطق و أحكامه<sup>14</sup>  
Тәрчүмәси: Бу, мәнтиг гајда-ганунларыны вә мұлдааларыны өзүндә чәмләjән чүмләләрdir.

حجى خليفة، كشف الظنون عن أسلوب الكتبة و الفنون، ج ٢، ٥٦٨ (در سعادت ۱۳۱۰، ص ۵۶۸)  
Бундан сонра: Һачы. Ҳәлифә. Қашф әз-зүнүн<sup>15</sup>

Иzzәddin ибн-Әбдүссәлам (1182—1261). Ибн-Эсакир, Сејфәддин Эмәви, Әбдүллатиф Багдади кими таныныш мұтәфәккиrlәrinin җанында тәһис алмышдыр. һәлә, әр-рү-  
ل حل الرموز و مفاتيح الكنوز<sup>16</sup> (Хәзинәләrin ачар-  
لارы һагында рәмзләrin һәлли) ону башлыча фәлсәфи әсәridir.

Сүјүти. һүсн әл-мүхазира, 1-чи чилд, сәh. 250  
Ибн-Эби Усејиә. Тәбәгат әл-әтибба, 11-чи чилд, сәh. 130.

Јенә орада, сәh. 130—131.  
Һачы Ҳәлифә. Қашфәз-зүнүн, 1-чи чилд, сәh. 402.

Мәһәммәд ибн-Мәрзүг Тәләмсани (... 1438) „Чүмәл фил мәнтиг“<sup>14</sup> нәэмә чәкмиш, Бүрһәнәддин ибн Өмәр Бәгаи исә 1457-чи илдә һәмин мәнзүмәни тәһисатла йенидән ишләмишdir<sup>15</sup>.

„Чүмәл фил-мәнтиг“ әсәрләrinин әләзмасы Иранын „Астангудс Рзәви“ китабханасында сахланылыр<sup>16</sup>.

„Кәшф әл-әсрар ән ғәвамиз әл-әфкар“ китабында мәнтиг, фәлсәфә вә тәбиәтшүнаслыг мәсәләләри мүһум јер тутур. Мәһәммәдәли Тәрбىјәт онүн Катиби Гәзвини тәрәфиндән шәрһ олунмуш гәдим бир нусхәсindән ашағыдақы парчаны мисал кәтирир:

فَانَ الْكِتَابُ الْمُوسُومُ بِكَشْفِ الْأَسْرَارِ فِي الْمَنْطَقِ... كِتَابٌ يَشْتَهِلُ عَلَى مِبَاحَתِ شَرِيفَةٍ وَ قَوَاعِدِ لَطِيفَةٍ وَ ضَوَابِطِ كَلِيَّةٍ وَ نَكْتَ مَنْطَقَيَّةٍ<sup>17</sup>

Тәрчүмәси: „...мәнтигә дәир „Кәшф әл-әсрар“ адланан бу китаб көзәл тәдгигатлары, инчә гајда-ганунлары, үмуми мәсәләләри, мәнтиги нүктәләри әнатә едир“.

Алимин „Шәрһ ма ғаләһү әр-рәис ибн-Сина фин-нәбз“, „Әдвәр әл-һәмијјат“, „Шәрһ әл-Ганун“ китаблары исә халис тәбабәтә һәср олунмушдур. Бундан әлавә, Әфзәләддин Хүнәчи дөвләт вә һүгуг проблемләринә дә тохунмушдур. О, вәրәсәлик һүгугунун вә с. мүрәккәб мәсәләләрин һәлли үчүн јазылмыш трактатларын мүәллифиدير.<sup>18</sup>

Jaхын вә Орта Шәргин Эбубәкәр Мәһәммәд Рази, Фәраби, Ибн-Сина, Бәһмәнәр кими перипатетикләrin давамчысы олан Әфзәләддин Хүнәчи зәнкин јарадычылыг јолу кечмәкә јанаши, һәмчинин о дөврдә бир чох алимләrin јетишмәсindә бејүк рол ојнамышдыр. Тәсадүүк дејилләр ки, илк тәһисилини Дәмешгә Шәмсәддин Хојлуун, еләчә дә Тачәддин Урмәвинин јанында алмыш Ибн-Әби Усејбиә Әфзәләддин Хүнәчинин шакирди олдуғуны һәмишә ифтихар һисси илә сөјләмишдир.<sup>19</sup>

Тибб, фәлсәфә, мәнтиг вә һүгуг тарихимизин өjrәнилмәси үчүн Әфзәләддин Хүнәчинин јарадычылыгынын дәриндән арашдырылыб тәдгиг едилмәси, шубәнәсиз, бејүк әhәмијјет кәсб едир.

Фәлсәфә вә һүгуг институту

Алынмышдыр 15. XII 1967.

З. Дж. Мамедов

### Афзаладдин Хунеджи

#### РЕЗЮМЕ

Азербайджанским мыслителям принадлежат большие заслуги в области развития философской мысли на Ближнем и Среднем Востоке в средние века. Одним из выдающихся ученых Азербайджана XIII в. был Афзаладдин Мухаммед ибн Намавер Хунеджи— крупный философ, видный логик, талантливый врач и юрист. В данной статье впервые в нашей научной литературе даются сведения о нем.

Афзаладдин родился в 590 г. х. (1193 г.) в Хунедже Халхалской области. Большую часть своей жизни он провел в Египте, где и скончался в 646 г. х. (1248 г.).

Творчество Афзаладдина Хунеджи разнообразно. Ученые дали высокую оценку его трудам по философии, логике и медицине.

Читателей данной статьи автор знакомит с работами Афзаладдина Хунеджи и показывает его влияние на последующих мыслителей Востока.

<sup>14</sup> Һачы Хәлифә, Кәшф әз-зүнүн, I-чи чилд, сәh. 402.

<sup>15</sup> فهرست کتابخانه استانقلدس رضوی، حکمت خطی،

<sup>16</sup> Тәрбىјәт. Данешмәндән-е Азәрбајҹан, сәh. 46.

<sup>17</sup> Јенә орада.

<sup>18</sup> Ибн-Әби Усејбиә. Тәбәгат әл-әтибба, II чилд, сәh. 130.

#### МУНДЭРИЧАТ

##### Ријазијјат

М. ҆. Чавадов. С (0,1) фәзасында өз-өзүнә гошма олмајан икитәртибли дифференциал операторун мәксуси фүйсијаларының бир һиссәсинин тамлығы нагында. 3

Н. ҆. Ағајев. Лайдахили һәрәкәт едән јангын мәнбәјиңе аид бир мәсалә нагында. 8

##### Физика

В. Б. Антонов, Ч. Т. һүсейнов, Г. Г. һүсейнов, Р. Н. Нани. CdGa<sub>2</sub>S<sub>4</sub> монокристалынын алынмасы вә бә'зи хассәләринин тәдгиги. 12

##### Физики кимја

Р. ҆. Исмајлов, С. М. Элијев, Ш. С. Вәзиров. Диетилтолуулун «стирол-контакт» «гајнар» лајында деңидрокенләшмәси. 16

Р. ҆. Исмајлов, С. М. Элијев, М. А. Ағајева, Г. И. Галитска-ја. Бә'зи алкенилароматик мономерләрин изопренде сәрбәт радикал механизми узрә биркә олигомерләшмәси. 21

##### Аналитик кимја

И. Л. Бағбанлы, Э. А. Әлбәндів. Платинин икигат комплекс бирләшмә шәклиндә фотокалориметрик тә'жини. 24

##### Үзви кимја

М. М. Мөвсүмзадә, С. С. Бенбудова, Д. А. Әфәнијев. Сусуз TiCl<sub>4</sub> вә CbCl<sub>5</sub> иштиракы илә trimetiletenilen туршусунун блок полимерләшмәси. 27

А. Э. Буинадзадә, Е. Л. Булатникова, М. А. Далин. Пропиленин модификация олунмуш һетерокең катализатору үзәрнинде стериоспецифик полимерләшмәси. 31

##### Иншаат

Ә. ҆. Фигаров, Р. А. Даашов. Азәрбајҹан плитәси илә үзләшdirилеш миши даш карханасынын туллантысындан һазырланыш ири дивар блоклары. 35

##### Иншаат иғтисаџијаты

В. М. Ширәлијев, Э. Г. һүсейнов. Кефийјәтез тикитинин һесабына алынаи бракын учоту вә ашкар едилмәси методу. 40

##### Кеолокија

Ф. А. Ахундов. Мартуни синклиниорисинин Сантон јашлы вулкан-плутоник формасијасы нагында (Кичик Гафгаз). 48

##### Стратиграфија

С. А. Гулијев. Микрофауна ясасын Бакы архипелагындакы Абшерон лај дәстәсинин стратиграфијасы. 52

## Минералогия

Б. Эллескэров. Шэмкирчай һөвзесинде антропокен чекунтуләрийни минераложи тәркибинин иглим шәрантиндән асылылығы . . . . . 55

## Тектоника

С. Э. Элизадә. Гусар-Дәвәчи үстәдән эмәләкәлмә мулдасының қеоложи зинкышафының плиосен тарихи . . . . . 60

## Кеотектоника

Т. С. Шахсуваров. Абшерон вилаятинин мәңсүлдар гат һөвзеси дигинин әјилмәси вә седиментасијасының көмүйәт сәчијәси һагтында . . . . . 65

## Палеонтология

Р. Э. Элијев. Чәнуб-шәрги Гафгазын Алт чекунтуләрийде тапылан аутселлиналар . . . . . 69

## Торпагшұнасы

Н. Н. Гасымов. Аразбој гәһвәји вә субтропик шабалыды торпагларында үзүүн туршусунун элементар тәркиби . . . . . 73

## Кеоботаника

Ш. Х. Омаров. Дағлыг Дағыстаның шимал әһәнкдашылы һиссесинде *Euonymus Latifolia* Mill. биткисинин ботаник-чографи нөгөтөн-нәзәрдән жылмасына даир . . . . . 76

## Малдарлық

Ж. Б. Сәфәров, Р. А. Гәдимов. Тохума биостимулаторунун бруслөзә гарышы вакцинасија едилиниш һөжүнләрда иммунобиологи реактивлијә тә'сирі . . . . . 79

## Тибб

Н. С. Чәбәрајылбәјли, Р. А. Пирвердин-јев. Тәчруби травматик шоқа гарыш лахталанма вә экс лахталанма системиниң реaksiјасы . . . . . 84

## Әзчачылық

И. А. Дәмиров, Ч. З. Шукурров. Азәрбајҹан дәрман биткиләриниң өјрәнүү мак саһасинде бә’зи наилијетләр . . . . . 89

## Етнография

В. А. Чырагзада. «Дамазлыгы» гарышлыглы јардым формасы һагтында . . . . . 94

## Фәлсәфә

Закир Мәммәдов. Эфзәләддин Хүнәчи . . . . . 97

## Строительство

А. Фигаров, Р. Д. Дадашев. К вопросу изготовления крупных стеновых блоков из отходов каменных карьеров, облицованных плитами «Азербайджан» . . . . . 35

## Экономика строительства

В. М. Ширалиев, А. К. Гусейнов. Методы влияния и учета брака от низкого качества строительства . . . . . 40

## Геология

Ф. А. Ахундов. О сантонских вулкано-плутонических формациях Мартунинского синклиниория (Малый Кавказ) . . . . . 48

## СОДЕРЖАНИЕ

### Математика

М. Г. Джавадов. О полноте в пространстве  $C(0,1)$  некоторой части множества собственных функций несамосопряженного дифференциального оператора второго порядка . . . . . 3

### Теплотехника

Н. Г. Агаев. Об одной задаче внутривластового подвижного очага горения . . . . . 8

### Физика

В. Б. Антонов, Г. Г. Гусейнов, Д. Т. Гусейнов, Р. Х. Нани. Получение и некоторые исследования монокристаллов соединения  $CdGa_2S_4$  . . . . . 12

### Физическая химия

Р. Г. Исмайлова, С. М. Алиев, Ш. С. Везиров. Дегидрирование дизилтолуолов в «книящем» слое катализатора «стирол-контакт» . . . . . 16

Р. Г. Исмайлова, С. М. Алиев, М. А. Агаева, Г. И. Галицкая. Свободнорадикальная совместная олигомеризация некоторых алкенилароматических мономеров с изопреном . . . . . 21

### Аналитическая химия

И. Л. Багбайлы, А. А. Албендов. Фотокалориметрический метод определения платины в виде двойного комплексного соединения . . . . . 24

### Органическая химия

М. М. Мовсум-заде, С. С. Бейбурова, Д. А. Эфендиева. Блочная полимеризация окиси trimetilэтилена в присутствии б/в  $TiCl_4$  и б/в  $SbCl_3$  . . . . . 27

А. А. Бунийят-заде, Э. Л. Булатникова, М. А. Далин. Стереоспецифическая полимеризация пропилена на модифицированных гетерогенных катализаторах . . . . . 31

### Строительство

А. Фигаров, Р. Д. Дадашев. К вопросу изготовления крупных стеновых блоков из отходов каменных карьеров, облицованных плитами «Азербайджан» . . . . . 35

### Экономика строительства

В. М. Ширалиев, А. К. Гусейнов. Методы влияния и учета брака от низкого качества строительства . . . . . 40

### Геология

Ф. А. Ахундов. О сантонских вулкано-плутонических формациях Мартунинского синклиниория (Малый Кавказ) . . . . . 48

<b>Стратиграфия</b>	
С. А. Кулиева. Стратиграфия Апшеронского яруса Бакинского архипелага по микрофауне . . . . .	52
<b>Минералогия</b>	
Б. Д. Алескеров. Минералогический состав антропогеновых отложений в бассейне Шамкирчая в зависимости от климата . . . . .	55
<b>Тектоника</b>	
С. А. Али-заде. Плиоценовая история геологического развития Кусаро-Дивичинской наложенной мульды . . . . .	60
<b>Геотектоника</b>	
Т. С. Шахсуватов. О количественной характеристике прогибания дна и седиментации в бассейне продуктивной толщи Апшеронской области . . . . .	65
<b>Палеонтология</b>	
Р. А. Алиев. Ауцеллины аптских отложений Юго-Восточного Кавказа . . . . .	69
<b>Почвоведение</b>	
Н. Н. Касымов. Элементарный состав гуминовых кислот коричневых и субтропико-каштановых почв прикаспийской полосы . . . . .	73
<b>Геоботаника</b>	
Ш. Х. Омаров. К вопросу ботанико-географического распространения <i>Euonymus Latifolia</i> Mill. в северной известняковой части горного Дагестана . . . . .	76
<b>Ветеринария</b>	
Ю. Б. Сафаров, Р. А. Кадымов. Влияние тканевого биостимулятора на иммунобиологическую реактивность животных, вакцинированных против бруцеллеза . . . . .	79
<b>Медицина</b>	
Н. С. Джебраилбейли, Р. А. Пирвердиева. Реакция свертывающей системы крови на экспериментальный травматический (электрический) шок . . . . .	84
<b>Фармакология</b>	
И. А. Дамиров, Д. З. Шукюров. Некоторые успехи в области изучения лекарственных растений Азербайджана . . . . .	89
<b>Этнография</b>	
В. А. Чырагзаде. Об институте взаимопомощи «Дамазлуг» . . . . .	94
<b>Философия</b>	
З. Дж. Мамедов. Афзаладдин Хунеджи . . . . .	97